

# TECHNICKÉ INFORMÁCIE

## č. 36

TELEVÍZNY PRIJÍMAČ  
COLOR IN LINE  
4413 A, 4413 A - 5

popis funkcií obvodov prijímača



## O B S A H

	strana
<b>MODUL NAPÁJAČA</b>	<b>3</b>
- Všeobecné	3
- Princíp činnosti	3
- Popis činnosti	3
- Startovací obvod	5
- Kladná spätná väzba	5
- Blokovací obvod	5
- Stabilizačný obvod	5
- Schéma	6
- Ochranný obvod	7
- Pokyny pre servis	7
<b>SPRACOVANIE H a V IMPULZOV na impulznej doske dekódera</b>	<b>9</b>
<b>MODUL HORIZONTÁLNEHO A VERTIKÁLNEHO OSCILÁTORA</b>	<b>13</b>
- Bloková schéma	14
- Horizontálna synchronizácia IO SN 74 545	15
- Vertikálna časť IO SN 74 545	16
<b>VERTIKÁLNY MODUL</b>	<b>16</b>
<b>OBVODY RIADKOVÉHO VYCHYĽOVANIA</b>	<b>20</b>
- Diódový modulátor	24
<b>MODUL KOREKCIE PODUŠKY V-Z</b>	<b>35</b>
<b>R-G-B ZOSILŇOVAC, IO TDA 2530</b>	<b>38</b>
- Blokové zapojenie TDA 2530	40
- TDA 2530 - pokračovanie	41
- Koncové stupne video	53
<b>AUTOMATICKÉ DOLAĎOVANIE KMITOČTU OSCILÁTORA - AFC</b>	<b>58</b>
<b>PREPÍNAČ SECAM - PAL</b>	<b>62</b>
<b>DIAĽKOVÉ OVLÁDANIE</b>	<b>64</b>
- Vysielač	64
- Prijímač	65
- Prenášanie povelov	67
- Ďalešie podrobnosti	70
<b>DEKÓDER SECAM/PAL</b>	<b>76</b>
- Úvod	76
<b>POPISY ČINNOSTI INTEGROVANÝCH OBVODOV</b>	
- TCA 640 pri Secam	77
- TCA 640 pri Pal	83
- TCA 650 pri Secam	85
- TCA 650 pri Pal	88
- TBA 540	96
- TCA 660	109
<b>SCHÉMY INTEGROVANÝCH OBVODOV</b>	
- Vnútorné zapojenie IO TCA 640	117
- Vnútorné zapojenie IO TCA 650	118
- Bloková schéma IO TCA 540	119
- Vnútorné zapojenie IO TBA 540	120
- Vnútorné zapojenie IO TCA 660	121

MODUL NAPÁJAČA

Impulzne regulovaný zdroj /IRZ/

### 1.0 Všeobecne

V FTV COLOR IN LINE 110 je použitý impulzne regulovaný napájací zdroj, ktorý vyrába potrebné napäťia s dobrou účinnosťou a súčasne zaistluje aj ich stabilitu v značnom rozsahu zmien sietového napäťia a čiastočne aj pri zmenách odberu, spôsobovaných napr. kolísaním stredného jasu obrazu. IRZ dodáva nasledovné prevádzkové napäťia:

- +200 V pre koncové videozosiľovače
- +152 V pre tranzistorový horizontálny rozklad
- + 33 V pre napájanie vertikálneho rozkladu
- + 30 V ladiace napätie pre kanálový volič
- + 26 V pre zvukový diel.
- + 12 V stabilizované napájanie nízko-výkonových obvodov

V zásade IRZ umožňuje aj pomerne jednoduché galvanické oddelenie od siete vo výstupnom transformátore. Tento FTV ako celok však nevyhovuje všetkým požiadavkám platných ČSN pre prístroje oddelené od siete, takže aj keď chassis nie je priamo spojené s jedným pólem siete, je pri opravách potrebné používať oddelovací transformátor. Okrem toho v samotnom napájacom zdroji je väčšina súčiastok spojená so sietou, čo pri manipulácii v zdroji vyžaduje primeranú pozornosť a opatrnosť.

### 2.0 Princíp činnosti

Použitý IRZ pracuje ako samokmitajúci jednočinný nezasynchronizovaný záverny menič s pracovným kmitočtom 20 až 30 kHz. Základný princíp IRZ je znázormený na obr. 1. Kvôli jednoduchosti je uvažované len jedno sekundárne napätie U<sub>2</sub>. Obrázky - vid strana 6 a 8/.

Veľmi zjednodušene možno povedať, že sietové napätie sa najprv usmerní, tranzistorovým spínačom s sa kmitočtom 20 až 30 kHz "rozseká" na približne obdĺžnikový priebeh, tento sa transformátorom Tr pretransformuje na požadovanú úroveň a po opäťovnom usmernení a vyfiltrovaní použije na napájanie ďalších obvodov. Zmenami striedy spínania pomocou regulačného obvodu možno ovládať prenášanú energiu a tým aj výstupné napätie U<sub>2</sub>, prípadne pomocou spätej väzby zaistiť jeho stabilitu voči zmenám spôsobovaným kolísaním sietového napäťia a odberu.

Podrobnejšie skutočný pracovný režim IRZ znázorňuje obr.2. Po zapnutí spínača v čase t = 0 tečie do indukčnosti primáru lineárne stúpajúci prúd. Dióda v sekundárnom kruhu je v tomto intervale polarizovaná v závernom smere, takže nevedie a prúd do zátarže dodáva kondenzátor C. V jadre transformátora sa hromadí energia  $W_m = LI^2/2$ . Keď primárny prúd dosiahne nastavenú hodnotu i<sub>LM</sub>, spínač s rozpojí okruh, magnetické pole v jadre začne zanikáť, čo vyvolá zmenu polarity napäťia na vinutiah, dióda D sa otvorí

a pripojí sekundár transformátora na konštantné výstupné napätie  $U_2$ . V tejto etape bude tieč sekundárnym okruhom lineárne klesajúci príť  $i_2$  sprostredkujúci prenos energie z primárneho do sekundárneho okruhu. Keď v čase  $t_2$  klesne sekundárny prúd na nulu, začne ďalší cyklus činnosti meniča. Z uvedeného je zrejmé, že reguláciou trvania intervalu  $T_1$  sa mení maximálna prenášaná energia a teda aj výstupné napätie  $U_2$ . Menič sa označuje ako záverny, pretože v čase zopnutia spínača  $s$  je dióda D na sekundárnej strane polarizovaná v závernom smere. Energia sa netransformuje na výstup priamo, ale už uvedeným spôsobom cez magnetickú energiu nahromadenú v dobe vodivosti spínača v jadre transformátora. Ako spínač slúži výkonový tranzistor, budený z pomocného vinutia na transformátore, takže menič pracuje ako samokmitajúci. Prevádzkový kmitočet asi 20 až 30 kHz závisí na sietovom napäti a odberu. Znižuje sa pri zvýšení odberu alebo poklese sietového napäcia.

### 3.0 Popis činnosti

Podrobnejšie si činnosť meničového zdroja popíšeme na schéme zapojenia znázornenej na obr.3. Pre prehľadnosť si zapojenie rozčleníme na viaceré funkčné bloky. Zo samostatných sekundárnych usmerňovačov sa získava 5 základných napájacích napäti. Napätie +30 V pre kanálový volič sa odoberá z integrovaného stabilizátora D 13 TAA 550. Napätie +12 V pre nízko-úrovňové obvody je taktiež dodatočne stabilizované integrovaným stabilizátorom napäcia MC 7812 z dôvodu, aby sa odstránila väzba s ostatnými napájacimi bodmi.

Primárnym vinutím transformátora meniča je vinutie 1 - 7. Vinutie 13 - 15 zabezpečuje kladnú spätnú väzbu pre samokmitajúci režim. Funkciu spínača plní tranzistor T2 BU 626. Z pomocného vinutia 11 - 17 sa odoberá vzorka výstupného napäcia pre stabilizačný a regulačný obvod.

Za sietovým spínačom je zaradený separátny sietový filter združený s demagnetizačným obvodom s dvojitým pozistorom. Filter slúži na potlačenie rušenia vznikajúceho činnosťou IRZ a horizontálneho rozkladu. Na vstupe filtra je aj hlavná tavná poistka prijímača T 2,5 A.

Za filtrom nasleduje mostíkový usmerňovací blok. Odpór R 15 obmedzuje prúdové impulzy na prípustnú hodnotu. Usmernené napätie na elektrolytickom kondenzátore C 22, z ktorého sa napája menič, je pri menovitom napäti asi 280 až 290 V. Kladný pól sa privádzza priamo na primár transformátora /vývod 7/, záporný pól sa vedie na spoločný vodič neoddelenej časti cez "rýchlu" poistku a odpór R 7 v katódovom privode tyristora Ty 1 BR 303. Úbytok napäcia na R 7 riadi pomocou tyristora BR 303 vypínanie primárneho prúdu spínačom tranzistorom T 2. Pri dosiahnutí hodnoty primárneho prúdu odpovedajúcej menovitej hodnote sekundárneho napäcia pre horizontálny rozklad + 152 V sa tranzistor záporným impulzom z blokovacieho obvodu uzavrie, čím začína druhá etapa periody.

### 3.1 Štartovací obvod

Po pripojení na sieť je pre rozbeh meniča potrebné, aby sa spínací tranzistor T 2 uviedol do vodivého stavu. Túto funkciu plní dióda D 8, ktorá sa počas kladnej polvlny sietového napäťa otvára a dodáva cez kondenzátor C 7 a ohmedzovací odpor R 8 do bázy T 2 počiatočný štartovací impulz. Počas zápornej polvlny sa C7 len pomaly vybíja cez veľký odpor R 9, takže do bázy T 2 tečú len úzke prudové impulzy v okolí maxima rozkmitu sietového napäťa. V normálnej prevádzke meniča nemá štartovací obvod žiadnu funkciu.

### 3.2 Kladná spätná väzba

Po otvorení tranzistora T 2 štartovacím impulzom sa začne uplatňovať kladná spätná väzba z kolektorového obvodu do bázy prostredníctvom vinutia 13 - 15.

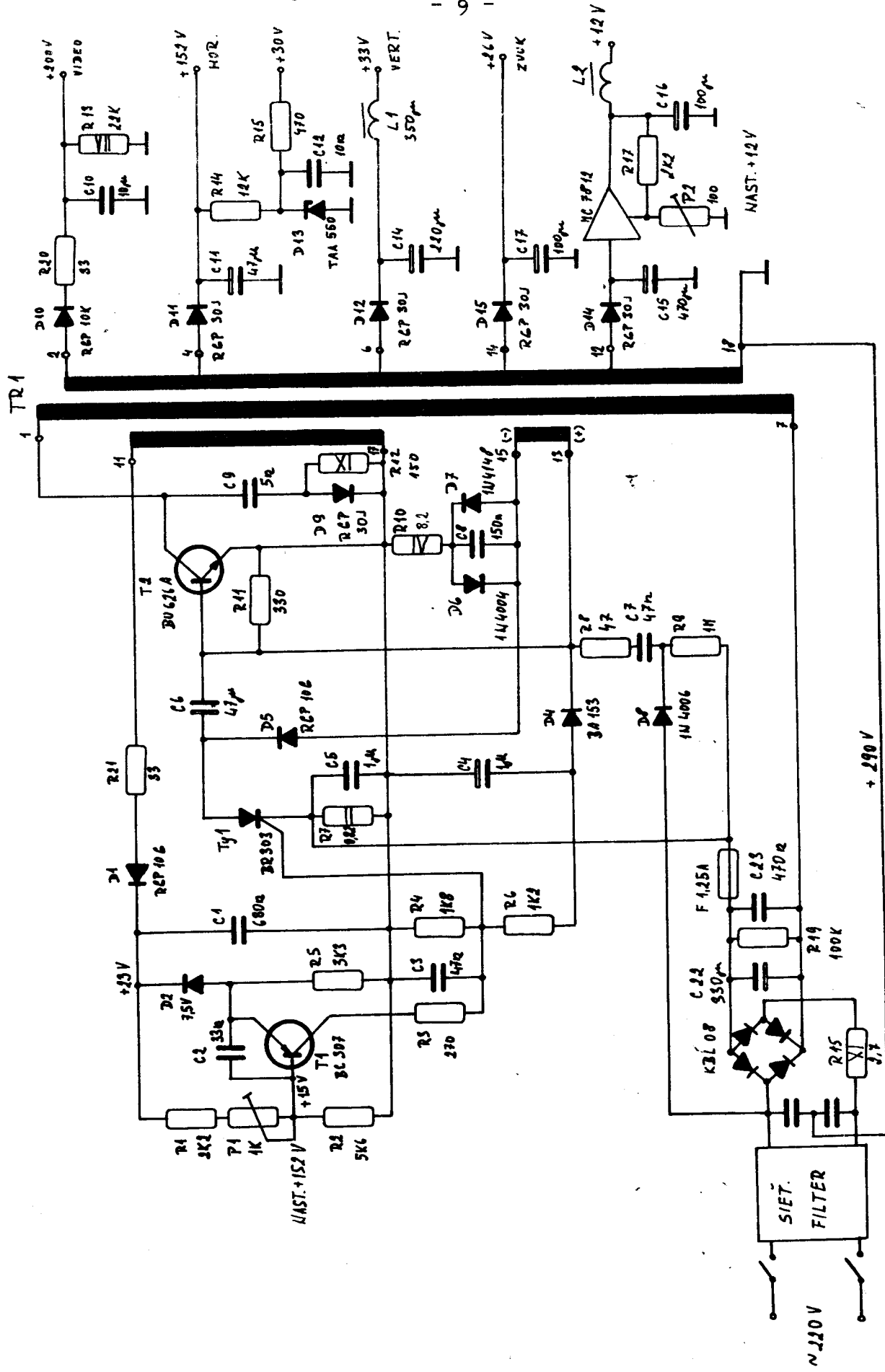
V tejto etape je vývod 13 kladnejší než vývod 15 a dodáva do bázy T 2 budiaci prúd, ktorý sa uzatvára cez emitor, ohmedzovací odpor R 10 a diódu D 6. Tranzistor T 2 sa rýchlo preklopí do nasýteného stavu, v ktorom predstavuje len nepatrny odpor. Prímarne vinutie 7 - 1 je potom pripojené na plné napätie usmerňovača a bude ním tieť lineárne stúpajúci prúd - viď obr.2, až kým nedôjde na bázu T 2 záporný impulz z blokovacieho obvodu, ktorý uzavrie tranzistor a preruší primárny prúd.

### 3.3 Blokovací obvod

V intervaloch keď T 2 nevedie, je na spätnoväzobnom vinutí také napätie, že vývod 13 je zápornejší ako vývod 15. V týchto etapách sa kondenzátory C 6 /cez diódu D 5/ a C 4 /cez diódu D 4/, ďalej cez R 10 - D 6 nabíjajú na napätie približne 4,5 V príslušnej polarity. Riadiaca elektróda tyristora Ty 1 je takto cez delič R 6,R 4 pripojená na záporné napätie asi -2 V, zatiaľ čo na anóde je približne +4,5 V. Tento stav sa nezmení ani počas väčšiny trvania vodivosti tranzistora T 2, pretože diódy D 4 a D 5 sú spätnoväzobným napäťom polarizované záverne. Lineárne stúpajúci primárny prúd vytvára na R 7 narastajúci úbytok napäťa so záporným póлом na katóde tyristora Ty 1. Pri určitom prúde - asi 4 až 5 A - je úbytok na R 7 dostatočný na zopnutie tyristora, čím sa kladný pól C 6 pripojí na spoločný vodič spojený so záporným póлом usmerňovača a na báze T 2 vznikne záporný blokovací impulz. Primárny prúd sa preruší a napätie indukované do spätnobežového vinutia bude udržiavať tranzistor nevodivý, kým sa všetká energia nazhradená v jadre neodovzdá do usmerňovačov na sekundárnej strane.

### 3.4 Stabilizačný obvod

Aby výstupné napäťa boli stabilné aj pri zmenách napäťa siete alebo odberu zo zdroja, je potrebné príslušným spôsobom regulať energiu prenášanú meničom na výstup. K tomu účelu slúži stabilizačný obvod napájaný z pomocného vinutia 11 - 17, s tesnou väzbou so sekundárnym vinutím. Usmerňovaním napäťa na pomocnom vinutí s diódou D 1 vzniká na kondenzátore C 1 jednosmerné napätie úmerné napätiu na výstupe.



OBR. 3 SCHÉMA ZAPOJENIA IMPULZNE REGULOVANÉHO ZDROJA

Regulácia prenášanej energie sa uskutočňuje ovládaním max. veľkosti primárneho prúdu zmenami predpäťia na riadiacej elektróde tyristora Ty 1. Ak je záporné predpätie veryšoké, tyristor zopne a primárny prúd sa preruší až pri vysokých hodnotách kolektorového prúdu. V transformátore sa nahromadí a na výstup prenáša viac energie, výstupné napätie je vysoké. Zmenšovaním predpäťia jednoduchým zatažovaním napäťového deliča R6 + R4 kolektorovým prúdom tranzistora T 1 sa zmenšuje aj prenášaná energia a výstupné napäťia. Na kondenzátore C 1 je napätie úmerné výstupnému napätiu zdroja. Pretože v emitorovom prívode T 1 je zapojená Zenerova dióda, na ktorej je konštantný úbytok napäťia asi 7,5 V, je zo zapojenia T 1 zrejmé, že čím je napätie na C 1 vyššie, tým je väčší bázový a teda aj kolektorový prúd tranzistora a menšie záporné predpätie na riadiacej elektróde Ty 1. Popisaným spôsobom sa automaticky reguluje energia prenášaná na výstup tak, aby výstupné napätie bolo stabilné. Základné výstupné napätie +152 V sa na požadovanú hodnotu nastavuje pomocou potenciometra F 1, ostatné napäťia sú voči nemu v konštantnom vzťahu určenom príslušnými prevodmi jednotlivých vinutí.

Prevádzka FTVP pri vyššom napäti pre horizontálny rozklad než 152 V nie je žiadúca, ohrozuje spoľahlivosť riadkového rozkladu. Stabilizačný obvod udržiava na výstupe približne konštantné napätie pri kolísaní napäťia v sieti medzi 170 až 250 V.

### 3.5 Ochranný obvod

Paralelne k spínaciemu tranzistoru T 2 je zapojený ochranný obvod C 9, D 9 a R 12. Nabíjaním C 9 po prerušení kolektorového prúdu T 2 blokovacím impulzom sa spomaľuje nárast napäťia medzi kolektorom a emitorom, čím sa značne zmenší spínacie straty na tranzistore. V čase vodivosti T 2 sa C 9 cez otvorený tranzistor a odpor R 12 vybíja.

### 4.0 Pokyny pre servis

IRZ uvedeného typu správne pracuje len v určitom rozsahu zmien záťaže. Pri malej alebo naopak nadmernej záťaži /napr. skrat na niektorom výstupu/ menič prechádza do prerušovanej prevádzky s opakovacím kmitočtom 50 Hz, určeným štartovacím impulzom. Pri separátnych opravách zdroja je potrebné menič zatažiť napr. 60 až 100 W žiarovkou na výstupe +152 V. Pretože väčšina obvodov IRZ je spojená so sietou, sú akékolvek opravy a zásahy prípustné len pri použití oddelovacieho transformátora.

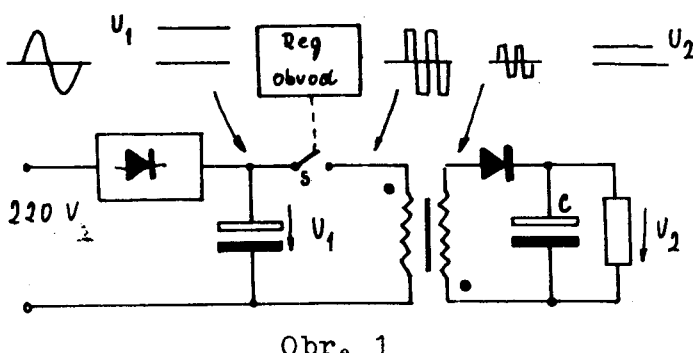
Značne exponovaným prvkom je spínací výkonový tranzistor T 2. K jeho prerazeniu môže dôjsť napr:

- pri skrate niektornej z výstupných usmerňovacích diód alebo diódy D 9 v ochrannom obvode
- pri poruche stabilizačného obvodu, napr. vadnom tranzistore T 1

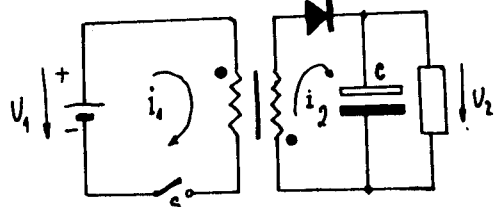
c/ pri poruche blokovacieho obvodu /napr. vadný tyristor Ty 1, prerušený alebo zle zapájaný kondenzátor C 6 a pod./

Pri výmene vadného tranzistora T 2 je potrebné spravidla vymeniť aj tyristor Ty 1, ktorý sa v tomto prípade poruší veľkým riadiacim prúdom. Súčasne je potrebné prekontrolovať všetky diody, stabilizačný a blokovací obvod, aby sa po pripojení na sieť, ak je v uvedených obvodoch závada, tranzistor opäť neprerazil. Pri snímaní priebehov v obvode T2 je potrebné "zem" osciloskopu pripojiť na emitor T2, nie na kostru prijímača. Skrat niektoľko z diód D 6, D 7 v obvode spätnobehového vinutia znemožňuje rozbeh meniča., pretože štartovacie impulzy sa uzavárajú cez nízku impedanciu obmedzovacieho odporu R 10 na záporný pól zdroja.

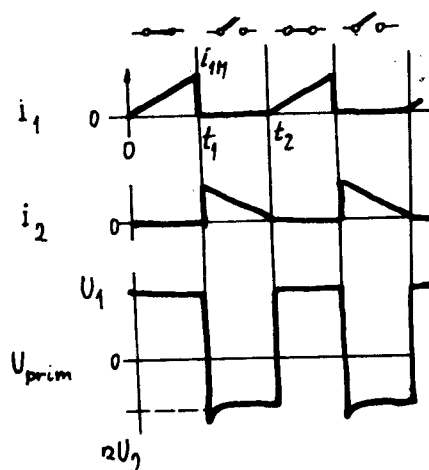
Vzhľadom na vysoký pracovný kmitočet je v meniči potrebné používať len rýchle usmerňovacie diódy, napr. naše typy K 196, K 199. Na pozícii spínacieho tranzistora sa pri nedostatku originálneho typu môže použiť typ BU 208. Tyristor v blokovacom obvode je špeciálny typ, nahradba bežnými tyristormi Tesla nie je možná. Tranzistor v stabilizačnom obvode je možné nahradniť kremíkovým PNP tranzistorom, napr. BC 177, KF 517. Integrovaný stabilizátor MC 7812 je za cenu značnej konštrukčnej úpravy /rozdielne púzdra/ nahraditeľný typom Tesla MA 7812. Opatrosť je potrebná aj pri nahradach elektrolytických kondenzátorov na výstupoch zdroja. Tečie nimi pomerne značný striedavý prúd nadzvukového kmitočtu, takže v krajinom prípade nutnosť nahradby kondenzátorom Tesla volíme čo najrozmernejšie typy na príslušné napätie, prípadne zvolíme väčšie kapacitné hodnoty, predovšetkým na pozíciah C11, C14 a C15.



Obr. 1

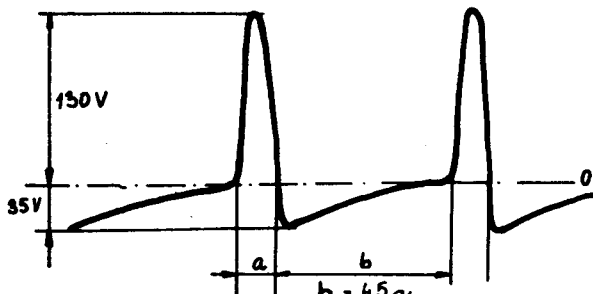


Obr. 2

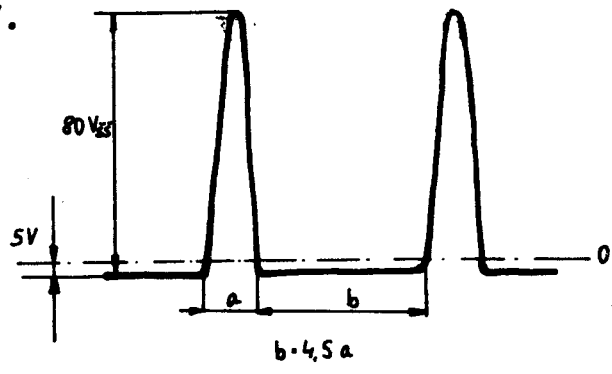


## Spracovanie H a V impulzov na impulznej doske dekódera - modul 6

Na odpor 6-R1 prichádzajú spätnobehové impulzy H v kladnej polarite s amplitúdou cca. 160 V<sub>ss</sub> /v ďalšom texte ich budeme označovať +H 160V/, vid obr.1. V spoločnom bode 6-R1 - 6-C1 majú amplitúdu 80 V a ich záporný priebeh je odrezaný diódou D1, vid obr.2. V dobe medzi impulzmi sa okamžité napätie týchto impulzov +H 80V mení len veľmi malo, teda ani na indukčnosti 6-L1, na ktorú prichádzajú vydelené cez RV1-C2-C3 /820pF/, nevzniká podstatnejšie napätie. Zo zdroja +12V tečie cez R7-5,1 ohm a R5-82k bázový prúd TR1. Na druhom konci odporu R5 je totiž záporné napätie -5V, vznikajúce činnosťou diódy D1. Na báze TR2 je s ohľadom na jej spojenie cez L1 s emitorom prakticky rovnaké napätie ako na emitore a preto je TR2 zavretý, vid priebeh 4. Otvorený TR1 tlmí obvod L1-C3 /pre striedavé prúdy leží C3 paralelne k L1 v sérii s tlmiacim odporom R9 5,1 ohm/.



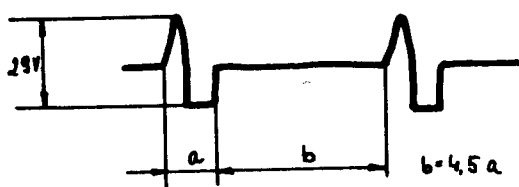
Obr. 1



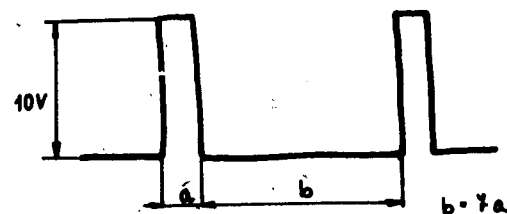
Obr. 2

Príchod spätnoväzobného impulzu zatvorí tranzistor TR1, pretože kladné napätie impulzu +H 80V príde cez R5 na jeho bázu. Stúpajúca hrana impulzu vytvorí na obvode L1-C3 /rezonuje v blízkosti 3.harmonickej pulzov H/ kladnú polvlnu napäťia, takže báza TR2 je v prvej časti spätného behu nevodivá, vid priebeh 3.

Ked obvod L1-C3 prekmitrie do zápornej polarity, napätie na báze TR2 klesne dostatočne pod napätie na emitore, aby tranzistor TR2 mohol viest, vid priebeh 3.



Obr. 3



Obr. 4

Bázovým prúdom TR2 sa zatlmí ladený obvod L1-C3 a napätie na báze TR2 sa udržuje konštantné pri klesajúcom napätií impulzu +H 80V prakticky až do skončenia impulzu H.

**Kolektorový** prúd TR2 sa vo fáze vodivosti tohto tranzistora teda udržuje konštantný tým, že tranzistor zostane v otvorenom stave, dokial sa nezatvorí odoznením spätnobehového impulzu. Na emitorových odporoch R8-R9 sa vytvárajú pravouhlé impulzy, oneskorené a zúžené proti H-impulzom, vid obr. 4.

Zmenou indukčnosti L1 sa ovplyvňuje fáza prechodu nakmitaného napäťia na C3 cez "nulu", t.j. cez kľudové napätie +12V. Zmenou hodnoty RV1 sa ovplyvňuje trvanie zápornej časti priebehu č.3, pretože sa mení napätie prenášané zo spoločného bodu R1,RV1,C1 na kondenzátor C3 a cievku L1.

Presné nastavenie fázy a šírky zúžených, pravoúhlých impulzov na 6-R8 obr.5 je dôležité pre vyklúčovanie rádioimpulzov farbonosných vín SECAM a burstu /ssf/ PAL u IO TCA 640 v prepínači SECAM/PAL. Pri SECAM sa rozoznávaním farbonosnej /B-Y/ - 4,25 MHz proti farbonosnej /R-Y/ - 4,4 MHz vytvára vyššie napätie na výstupe 9 IO TCA 640 /asi o 0,2V/ proti napätiu na výstupe 10, čím sa udržuje na výstupe 3 približne +12V, takže TR1 na module prepínača "5" je zavretý. Pri PAL táto diskriminácia odpadá /farbonosná 4,434 MHz/, čím sa vyrovnávajú napäťia na uvedených vývodoch 9 a 10 a pretože v tomto prípade nie je na prívode 16 /ACC/ IO TCA 640 žiadne napätie, ktoré pri normálnom použití tohto IO pri PAL zatvára spojenie medzi "diskriminátorom fázy identifikačných impulzov SECAM" a vypínačom farby, výstup 8 IO TCA 640, dostáva sa do saturácie tranzistor /T58/ pripojený na výstup 8, napätie na tomto výstupe bude blízke nule a tranzistor 5-TR1 sa plne otvorí, takže na výstupe modulu prepínača bude +12V.

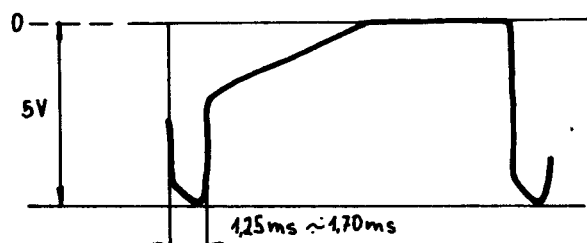
Obmedzovaním klúčovania signálu pre výstup 11 na druhú polovicu doby H sa obmedzuje vplyv šumu a kmitočtových zložiek synchron. impulzov H na prácu prepínača, čo by inak znižovalo účinok diskriminácie. Oneskoruje sa príslušne aj spúšťanie bistabilného preklápacieho obvodu h/2.

Z odporu R9 2k7 sa vedú pravouhlé a zúžené impulzy "H" na prívod 2 TCA 660, kde klúčujú obnoviteľ úrovne čiernej na riadkový zatemňovací impulz, tzv. zadnú zdrž.

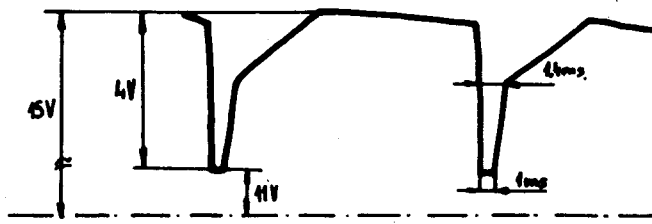
Impulzy +H 80V prichádzajú cez R2 a C10 4n7 /na novšej schéme/ na Zener-diódu BZ 10, takže sa odrežú na úrovni +10V a takto vzniklé pravoúhlé impulzy o šírke rovnej približne spätnému behu H sa privádzajú cez kondenzátor 150 nF na prívod 6 TCA 640 na doske dekódera "4". Zatemňují signál pre výstupy farbonosných po celú dobu spätného behu H a na výstup 11 sa tak dostávajú aj kmitočty, ktorými je vytváraný synchronizačný impulz, čo v tomto prípade nie je na závadu.

Z vertikálneho koncového stupňa prichádzajú na odpor 6-R 10 impulzy V, so spätnobehovým vrcholom v zápornej polarite. Celková amplitúda je cca. 27 V, impulz môžeme označiť -V 27 V. Účinkom diódy D6 (v novej schéme - katódou smerom ku R 10, správne čislovanie má byť D 2) a Zener-diódy D3 8Z10 spolu s predpäťím daným deličom R11/R12 vznikne na R12 priebeh ako na obr. 5.

Odstránením js zložky cez C 6 (na schéme  $2,2 \mu\text{F}$ , v skutočnosti býva  $10 \mu\text{F}$ ) sa dostane spolu s účinkom nabíjania C6 na kladné napätie cez "diódu" emitor-báza TR3 taký priebeh na báze TR3, vidieť na obr. 5a, že tento tranzistor sa otvára na vhodnú dobu, pribl. 1 msec a zostáva po dobu otvorenia v nasýtenom stave, takže impulzy na jeho kolektore sú pravouhlé a správne klúčujú v TCA 640, kde prichádzajú na prívod 7, prenos signálu identifikačných impulzov SECAM na výstup 11 a súčasne vypínajú po túto dobu farbonosné signály prenášanej scény.

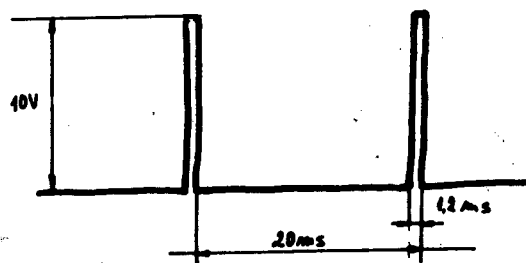


Obr. 5



Obr. 5a

Pre trvanie kladného impulzu na kolektore 6-TR3 je rozhodujúca šírka záporného kmitu podľa obr. 5a v úzkom rozhraní napäcia na hranici saturácie, preto sa klinovitý impulz z obr. 5a prenesie na kolektorový odpor R14 ako pravouhlý, vidieť obr. 6.



Obr. 6

Na prívod č.3 TCA 660 sa privádzajú záporné zatemňovacie impulzy -H i -V. Medzi impulzami musí byť v bode 3 TCA 660 napätie medzi -0,75 a +0,75 V. Preto je tento bod zo zdroja +12V napájaný cez odpor 220K, 4-R16, takže sa na dióde 6-D4 vytvorí napätie asi +0,5V.

Záporné impulzy -H sú privádzané z deliča 13-R17 - 13-R15 od zvláštneho vinutia VN trafa, vývod 3. Tvar ich vrcholu je upravený diódou 13-D9, ale amplitúda je väčšia než by normálne táto dióda priprávala, pretože cez člen 11-R20 a 11-C12 /modul vertikálu/ dostáva 6-D9 kladné predpátie, získané od kladnej časti impulzov z VN trafa.

Získané -H impulzy majú ca. 2V.

Záporné V impulzy sa získavajú z vertikálneho koncového stupňa pomerne zložitým obvodom 11-C10, 11-R18, 11-D5, 11-R10 /správne číslo je R19- prosíme opraviť!/, 11-R20. Pre kmitočet vertikálu majú uvedené RC členy zanedbateľné časové konštanty, takže nevytvárajú predpátie pre diódy.

Získané impulzy zatemňujú po dobu spätných behov H a V jasový signál na výstupe č.1 **TCA 660.**

### Modul horizontálneho a vertikálneho oscilátora

Hlavnou súčasťou tohto modulu je integrovaný obvod SN 76 545. Pre prehľadnosť uvádzame zoznam jeho vývodov:

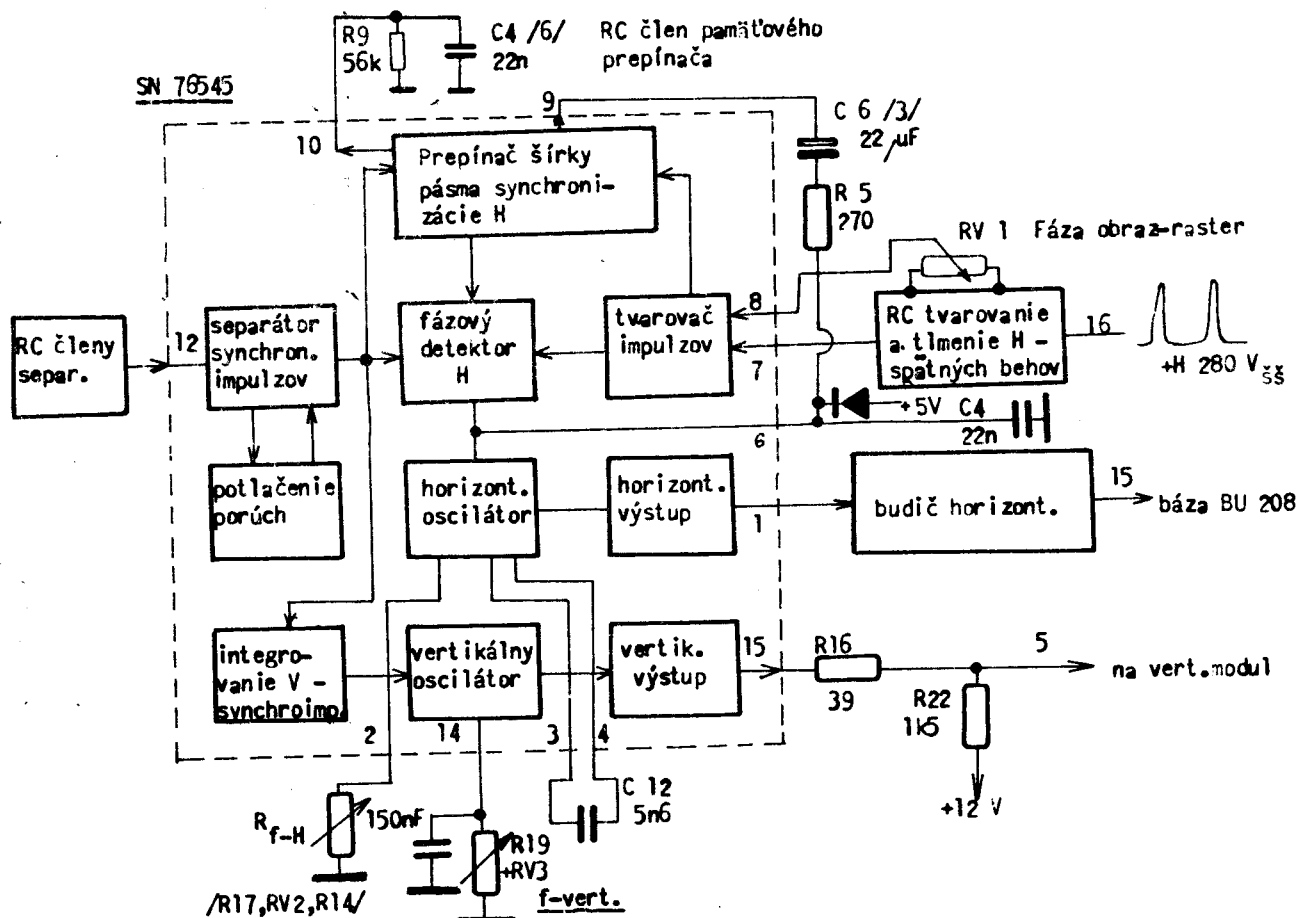
- 1 - výstup riadkových budiacich impulzov /amplitúda 5,6 V<sub>SS</sub>/
- 2 - vývod pre pripojenie vonkajšieho odporu, určujúceho kmitočet H-oscilátora
- 3 - prvý vývod pre pripojenie vonkajšieho kondenzátora, určujúceho kmitočet H-oscilátora
- 4 - druhý vývod pre pripojenie vonkajšieho kondenzátora, určujúceho kmitočet H-oscilátora
- 5 - napájanie pre horizontálny oscilátor
- 6 - vývod na pripojenie vonkajších filtračných členov horizont. fázového detektora a obmedzovacej diódy
- 7 - prívod spätnobežových impulzov H /17 V<sub>SS</sub>/ s premenlivou fázou /horizont. posuv obraz-raster/ a obmedzením amplitúdy v zápornej časti
- 9 - vývod pre pripojenie filtračného členu horizont. fázového detektora s veľkou kapacitou /vnútorným obvodom I.0. sa pripája ná zem po dosiahnutom horizont. zasyntchronizovaní/
- 10 - vývod na pripojenie "pamäťového RC členu" vnútorného prepínača rozsahu synchronizácie H /môže byť použitý tiež pre zrušenie prepínania na úzky rozsah pri použití video-magnetoskopu/
- 11 - vývod na pripojenie vonkajšieho odporu 270k od bodu napájania V-oscilátora a filtračného kondenzátora 470 pF pre synchronizáciu vertikálu
- 12 - prívod videosignálu /v kladnej polarite SI/ pre separátor cez vonkajšie R-C prvky
- 13 - napájanie V-oscilátora
- 14 - vývod na pripojenie RC členov, určujúcich kmitočet oscilátora vertikálu
- 15 - výstup vertikálnych budiacich impulzov v zápornej polarite
- 16 - vývod pre uzemnenie I.0.

Videosignál pre oddelovač synchronizačných impulzov /separátor SI/ je privádzaný z modulu OMF /2/, vývod č.8, kde prichádza z vývodu č.12 I0 TBA 440 C cez tlmivky L3 a L4. Má zníženú šírku pásma jednak už členom L4 - C22 na module OMF, jednak RC deličmi R15 - C11 a R12 - C8. Odporom R15 + R12 spolu s R13 - 1 Mohm je nastavená úroveň odrezávania z úplného videosignálu pri vrcholoch SI.

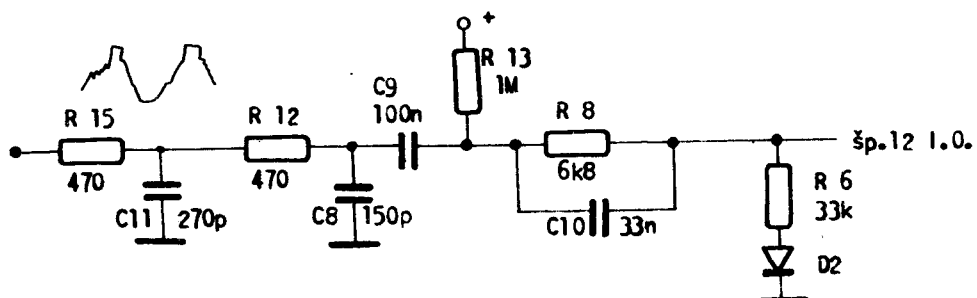
Kondenzátor C9 s odporom R13 sú hlavné členy vonkajšieho obvodu separátora, ktorými sa vytvára záporné predpätie v závislosti na amplitúde videosignálu, aby bola bezpečne oddelená synchronizačná zmes od obrazového signálu. C10 spolu s R8 tvoria známy "protiporuchový člen" s malou RC konštantou, ktorý zabráňuje dlhšiemu zablokovaniu separátora pri silnom rušivom impulze kladnej polarity.

Sériová kombinácia R6 - D2 zlepšuje odrezávanie kladných vrcholov SI.

## BLOKOVÁ SCHÉMA MODULU HORIZONTÁLNO-VERTIKÁLNEHO OSCILÁTORA



RC členy separátora:



Riadkový oscilátor je tvorený vnútorným multivibrátorom so spoločným emitorom, u ktorého je určená perióda oscilácií kombináciou odporov medzi vývodom č.2 10 a kostrou /R17, R14, RV2/ a kondenzátorom C12 5n6  $\pm$  2%, pripojený medzi vývody č.3 a 4. Presný kmitočet v zasynchronizovanom stave je určovaný regulačným napäťom od fázového detektora. Porovnávacie impulzy sú dodávané cez integračný člen R3/C2 a oddelovací kondenzátor C7 na šp.7 10. Odpor R10 slúži pre korekciu miernej asymetrie v priebehu integrovaných porovnávacích impulzov. Pred privedením spätnobehových riadkových impulzov z horizontálneho koncového stupňa na uvedený integračný člen R3-C2 sú tieto nastavené čo do fázy pomocou členov R1, R2, C1 a RV1. Tento trimer má na krajiných vývodoch impulzy v odlišnej fáze, keďže kondenzátor C1 má pre kmitočet H reaktanciu 38 kohm. Fáza impulzov, dodávaných na porovnávanie, sa nastavuje bežcom trimra RV1 /v schéme je chyba: R3 má byť pripojené na bežec RV1 a nie na R2 a jeden krajiný vývod RV1 !/ Dióda D1 odrezáva zápornú časť privedených spätnobehových impulzov a súčasne napája koincidenčný vstup /šp.8/ integrovaného obvodu. /V staršom vydaní schémy chýba spoj od katódy D1 na šp.8, prosíme doplniť si ho/.

#### Prepínač rozsahu H synchronizácie

V nezasynchronovanom stave nie je pripojený elektrolyt, kondenzátor 22  $\mu$ F cez šp.9 10 priamo na kostru, takže regulačné napätie pre oscilátor, získané porovnávaním SI s integrovanými impulzami spätných behov je veľmi málo filtrované /iba cez C4, 22nF/. Preto sa oscilátor zasynchronuje i pri značnom rozdieli medzi svojim vlastným kmitočtom a opakovacím kmitočtom SI.

V tom okamihu vytvorí interný koincidenčný obvod saturačné napätie pre vnútorný tranzistor pripojený k vývodu 9, takže začne účinkovať filtračný člen R5-C6 /správne označenie kondenzátora 22  $\mu$ F je C3/ a regulačné napätie z fázového detektora sa pri krátkodobých zmenách v tvare a napäti SI zo separátora ani vo fáze porovnávacích impulzov nemôže meniť.

Paralelná kombinácia 22n - 56k pripojená k vývodu č.10 10 je RC konštantá "pamäti prepínača rozsahu". Pri používaní videorekordéru nie je kmitočet SI stabilný, preto je možné privedením prúdu cca, 2mA alebo spojením šp.10 so šp.5 zabrániť zúženiu rozsahu horizont.synchronizácie v zasynchronovanom stave.

Obmedzenie kmitočtového rozsahu H generátora je zabezpečené v samotnom I.0. a zabraňuje tomu, aby pri poruche prichádzali na koncový stupeň H budiace impulzy príliš odlišnej frekvencie než menovitý riadkový kmitočet, čo by mohlo mať za následok zničenie drahých súčiastok.

Budiace výstupné riadkové impulzy sa privádzajú na budiaci tranzistor T1 zo šp.1 I.0. cez R24 120 ohm a kondenzátor C15 2,2  $\mu$ F. Ich šírku je možné meniť v malom rozsahu / $\pm$  5%/ pripojením odporu veľkej hodnoty medzi vývod 3 alebo 4 a chassis.

Budiaci stupeň je popísaný v odseku riadkového koncového stupňa.

### Vertikálna časť I0 SN 76 545

Synchronizačné impulzy vertikálu vznikajú dvojnásobnou integráciou synchronizačnej zmesi. Jej stupeň a úroveň odrezávania nie sú nastaviteľné, avšak optimalizácia z hľadiska odolnosti vertikálnej synchronizácie proti poruchám a šumu je prevedená vhodnou voľbou RC členov na vstupe separátora SI. So synchronizáciou súvisí vonkajší integračný vývod R11 - C5, pripojený k špl. II I0. Pri prerušení R11 sa zúží synchronizačný rozsah vertikálu /slabá synchronizácia/, pri prerušení C5 je nedostatočná integrácia vertikálnych SI /zostatky riadkových SI/.

Vertikálny oscilátor je RC oscilátor, u ktorého určuje kmitočet RC člen, pripojený na vývod č. 14 I0, t.j. kondenzátor 150 nF so sériovou kombináciou R19 /180k, pôvodne 220k/ a RV3, 220k. /Správne očíslovanie kondenzátora je C14/. Trimer-potenciometer RV3 sa nachádza na základnom chassis "B" a je možné s ním nastaviť kmitočet oscilátora. Oscilátor dodáva na vývode 15 výstupný impulz v zápornej polarite o trvaní 1 ms pri prúde až 50 mA. Jeho šírka sa môže meniť medzi 0,5 až 1,5 ms v závislosti na kapacite C14 /150n - pôvodné číslo na schéme C12/. Väčšia kapacita dáva dlhšie trvanie impulzu, pri jej zmene je však nutné príslušne upraviť hodnoty R19 a RV3, aby zostal rovnaký volný kmitočet oscilátora.

Výstupným prúdovým impulzom sa cez odpor 10-R16 a diódu 11-D1 na module vertikálu vybíjajú kondenzátory 11-C2, 11-C3, čím vzniká pílovitý priebeh napäťia pre ďalšie stupne vertikálneho vychýľovania. Impulzy odpovedajú spätnému behu a v dobe medzi nimi sa uvedené kondenzátory nabíjajú z kladného zdroja cez regulátor amplitúdy 11-P1 a 11-R1.

### Vertikálny modul

V module sa vytvára pílovité napätie tak, že z modulu hor.-vert. oscilátora sa riadi vybíjanie kondenzátorov C2, C3 /2x1, uF/ pri spätnom behu cez diódu D1. Táto je počas činného behu zavretá kladným napätiom 12V na výstupe 5 modulu "10", spojeným so vstupom 10 modulu "11". V dobe činného behu sa kondenzátory nabíjajú cez P1, R1 napätiom zo zdroja +33V /pre lepšiu filtráciu je medzi elektrolytickými kondenzátormi C1, C13 zapojený v schéme nezakreslený odpor R21 22k/. Zmenou hodnoty P1 meníme rozkmit pílovitého napäťia na báze T1. Spätný beh nastáva tak, že v synchronizácii s TV signálom sa priviedie vnútorný tranzistor v I0 SN 76 545, spojený s vývodom 15, do nasýteného stavu, takže napätie v tomto bode klesne na hodnotu blízku nule, D1 sa otvorí a vybíja C2, C3 cez odpor 10R16 32 ohm na module H+V oscilátora.

Hodnota  $10R16$  ovplyvňuje rýchlosť vybíjania kondenzátorov  $C2-C3$  a tým aj jednosmernú zložku napäťia na báze  $T1$ . Cez  $T2$  sa tak upravuje jas zložka napäťia na odpore  $R9$  a tým aj napätie v spoločnom bode výstupných tranzistorov  $T4$ ,  $T5$ . Jednosmerný pracovný bod koncového stupňa je tak pevne daný súčiastkami  $R14$ ,  $R7$ ,  $R6$  / $+R5$ / a  $10-R16$ , že ho nie je treba regulovať. Stabilizuje sa jas spätnou väzbou cez  $R14$ ,  $R7$  a  $R6$ . Príklad: zvýšená strmost'  $T2$  po zahriatí zvýši cez  $R9$  kolektorový prúd  $T4$  /zniží jeho jas vnútorný odpor/. Tým sa zvýši napätie v spoločnom bode  $T4$  a  $T5$  a teda i na emitore  $T1$ , čo povedie k zníženiu  $I_C$   $T1$  a preto i k zníženiu napäťia na  $R9$ , čím sa napätie na emitore  $T4$  upraví prakticky na pôvodnú hodnotu.

Na bázu  $T1$  sú ešte pripojené odpory  $R3$ ,  $R4$ , cez ktoré na ňu prichádza jas napäťia z odporu  $13-R12$  lk na horizont.module. Toto napätie je nastavené členom  $13-R5$  a  $13-P1$  na ca. +2V pri nulovom prúde obrazovky. Znižuje sa prúdom obrazovky, ktorý prechádza od zeme cez odpor  $13-R12$  a VN vinutie riadkového výstupného transformátora a vytvára tak na  $13-R12$  záporný spád napäťia proti zemi. Pri katódovom prúde obrazovky klesá VN a zvyšuje sa citlosť vychyľovania. Odpory  $P1$ ,  $R1/R3$ ,  $R4$  tvoria delič napäťia, z ktorého sú nabíjané pri činnom behu kondenzátory  $C2$  a  $C3$ . Čím je napätie na  $13-R12$  nižšie, tým je teda menšia amplitúda pílovitého priebehu napäťia na báze  $11-T1$ . Toto práve pri nižšom VN potrebujeme.

Proti generovanému pílovitému napätiu na báze  $T1$  pôsobí napätie spätej väzby na jeho emitore, a to jednak napätie vytvárané emitorovým prúdom  $T1$  na odpore  $R6$  220 ohm, ale hlavne napätie, vznikajúce priechodom vychyľovacieho prúdu cez odpor  $R5$  0,39 ohm, 2W. Aby bolo možné vytvoriť správny tvar píly, integruje sa napätie na emitore prvkami  $P2$ ,  $R2$ ,  $C3$  na parabolický tvar, zakrivený opačne, než napätie vznikajúce nabíjaním  $C2$ ,  $C3$  cez  $P1$ ,  $R1$ . Potenciometrom  $P2$  sa mení  $R/C$  konšstanta tohto integračného člena, a tým aj linearita vertikálneho rozkladu. Tranzistory  $T1$  /NPN/ a  $T2$  /PNP/ tvoria predzosilňovač, ktorý musí mať dost veľký prúdový zosilňovací činitel, aby zabezpečil maximálny prúd, potrebný pre budenie koncového stupňa. Súčasne sa tak zabezpečuje potrebné napäťové zosilnenie pre tvarovanie budiaceho signálu, aby sme dostali na výstupe správny tvar napäťia pre vertikálne vychyľovanie, k čomu je potrebná silná záporná spätná väzba, frekvenčne závislá.

Priechodom pílovitého prúdu vzniká na väzobnom kondenzátori  $C9$  1000  $\mu$ F parabolické napätie s vrcholom paraboly v zápornej polarite. /To je dané stúpaním vychyľovacieho prúdu počas činného behu - viď priebeh "20V<sub>pp</sub>" na schéme, prívod na VC za kondenzátorom  $C9$ . Vychyľovací prúd je teda obrátene polarizovaný proti zapojeniu u TVP radu Olympia/.

Cez deliče R14, R11 a R7, R6 sa privádza časť napäťa s touto parabolickou zložkou tiež na emitor T1. Zložením pôvodného napäťa z generátora píly Pl, R1/C2, C3 s napäťovým priebehom cez spätnoväzobné členy a regulovateľnou integráciu pomocou už uvedeného členu P2, R2-C3 získavame potrebný tvar bu-diaceho napäťa pre koncový stupeň.

Jednosmerná spätná väzba je ešte účinnejšia /nepôsobí delič R14-R11/, preto nie je pri správnej voľbe súčiastok treba nastavovať kľudový prúd.

Zapojenie koncového stupňa je prevedené tak, že napätie na spoločnom bode T4, T5 presne sleduje priebeh napäťa na báze T1 a to i pri tolerančných rozptyloch skutočných hodnôt súčiastok. Odhliadnúc od niektorých drobností je zhodné so zapojením vert.koncového stupňa vo farebnom TVP Tesla Color Univerzál 4412-A. Koncový stupeň je zapojený ako kvazi-komplementárny, pričom činnosť tranzistora T5, ktorý pracuje v druhej časti spätného behu a v prvej polovici činného behu, je riadená tranzistorom T4. Pri riadiacej funkcií T4 preteká cezeň prúd, stúpajúci približne od 100 mA do 200 mA.

Pre činnosť koncového stupňa je dôležité zapojenie tranzistora T3 a diód D2, D3, D4. Diódy D2 a D4 sú otvorené stále, pretože zo zdroja +33V cez ne prechádza prúd na odpor R13 /2k7/ a ďalej na kostru. Tým je dané pomerne pevné napätie na báze T3: pretože bežná Si-dióda potrebuje pri stredne vysokom prúde mať napätie  $U_{a-k}$  asi 0,7V, bude na báze T3 napätie o cca. 1,4 V nižšie, než napätie zdroja. Pokial bude zavretá dióda D3, môže tieť cez T3 emitorový prúd cestou: zdroj +33V, R17 4,7Ω, emitor-kolektor T3, R15 220 ohm, báza-emitor T5 /paralelne s R16 1k5, účel je ochranný/. Je zrejmé, že preto, aby zostal T3 otvorený, nesmie napätie na odpore R17 prekročiť asi 0,8V, tj. prúd cez R17 nesmie byť vyšší než asi 0,175 A. Tak isto je zrejmé, že nesmie byť otvorená D3-potom by bolo na emitore tiež asi o 1,4 V menej než napätie zdroja a bázový prúd by nemohol tieť. /Uvádzané napäťa nie sú výsledkom presných meraní na viacerých TVP a slúžia pre predstavu - v zásade však odpovedajú bežným kremíkovým diódam a tranzistorom/. V otvorenom stave dodáva teda T3 prúd pre koncový tranzistor T5.

Keď prúd tranzistora T4 spolu s prúdom T3 dosiahne hodnotu 175 mA, T3 sa začne zatvárať a keď dosiahne prúd cez T4 300 mA, otvorí sa D3 a pri každom ďalšom stúpaní prúdu cez T4 sa bude udržiavať na dvojici diód D2-D3 temer konštantné napätie 1,5 V.

Kedy k uvedeným stavom dojde, si povieme pri nasledujúcom popise celej periody vychyl'ovania:

Ako u každého komplementárneho a kvazi-komplementárneho stupňa musí sa pri **otvorenom "vrchnom" tranzistore /T4/, pripojenom na zdroj napäťa /js/, nabitáť väzobný kondenzátor v sérii s ktorým je u nf zosilňovačov reproduktor a tuná vychyl'ovacie cievky vertikálu."Spodný" tranzistor /T5/ potom tento väzobný kondenzátor C9 1000, uF vybíja.**

V našom prípade je väzobný kondenzátor C9 nabíjaný až v druhej polovici činného behu, čo však činnosti nevadí - C9 sa nabije bezprostredne po zapnutí prijímača tak, že nedostatok napäťia na ňom spôsobí veľký prúd cez T1 /jeho emitor nebude mať napätie, dodávané zo spoločného bodu T4/T5/C9/, teda pôjde aj veľký prúd cez T2 a T4, takže sa C3 veľmi rýchlo nabije na napätie blízke napätiu zdroja.

#### Výklad začneme spätným behom:

Rýchlo klesajúce napätie "píly" na báze T1 spôsobí znižovanie emitorového prúdu tranzistora T4 postupne až pod 0,2 A, takže sa začne otvárať T3 a s ním aj T5. Kolektorový prúd T5 vybíja kondenzátor C9, teda tečie opačným smerom než emitorový prúd T4. V okamžiku, kedy sú oba prúdy rovnaké, je vychylovací prúd preto nulový a elektronový lúč prechádza vodorovnou osou obrazovky. Ďalej sa znižujúce okamžité napätie na báze T1 postupne zníži prúd cez T4 až asi na 100 mA, čo spôsobí také zvýšenie  $U_{EB}$  T3, že koncový tranzistor T5 dosiahne maximálnu hodnotu svojho kolektorového prúdu - elektronový lúč sa vráti na horný okraj obrazovky. Pracovný bod koncového stupňa je hodnotami odporov 10-R16, 11-R6, R7, R14, R8, R9 nastavený tak, že T4 sa nikdy úplne nezatvára, čo je výhodné ako ochrana proti poškodeniu vert.koncového stupňa pri preskokoch v obrazovke a zabezpečuje, že T3 a T5 sa nedostanú i pri najvyšších prúdoch do saturácie, ktorá by mala za následok oneskorené reagovanie na ich budenie.

Prudká zmena vychylovacieho prúdu - z jednosmerného hľadiska klesanie - spôsobí na indukčnosti vychylovacích cievok známy spätnobežový vertikálny impulz, ktorý je v tomto prípade záporný, viď priebeh 20V<sub>pp</sub> na vstupe vychylovacích cievok, výstup č.4 modulu "11". Pomocou diódy D5 a R<sub>C</sub> súčiastok k nej pripojených, spolu s účinkom obvodu 13-R17, 13-R15 a 13-D9 pripojeného k vývodu č.3 riadkového výst. transformátora, dostávame na výstupe č.7 modulu "11" záporné V a H impulzy, ktoré po ďalšej úprave na impulznej doštičke dekódera "6" zabezpečujú zatemnenie obrazu prostredníctvom 10 TCA 660 pri spätnom behu.

#### Prvá polovica činného behu

Pílovité napätie na báze T1 stúpa od záporného maxima k vyšším hodnotám. Zvyšuje sa prúd cez T4 a prúd cez T5 sa začína znižovať. Pretože kolektorový prúd T4 je v tejto fáze zosilňovaný tranzistorom T5, je samozrejmé, že  $I_C$  T5 je o mnoho väčší prakticky v celej prvej polovici činného behu. T5 spôsobuje klesaním svojho  $I_C$  také zvyšovanie napäťia na emitore T4, že stúpanie  $U_{BE}$  T4 je v tejto fáze veľmi pomalé, na osciloskope ledva pozorovateľné. Preto má T4 len riadiacu funkciu. Akonáhle sa však priblíži pozvolna stúpajúci prúd T4 hodnote 0,2 A, zatvára sa T3 a s ním T5. Navzájom proti sebe pôsobiace prúdy T4 a T5 sa vyrovnanajú, vychylovací prúd prechádza nulou a to bez akéhokoľvek náhlého skoku, ktorý by eventuelne mohol byť viditeľný na linearite vychylovania.

Druhá polovica činného behu

Uzavretím T5 po dosiahnutí uvedenej hodnoty prúdu 0,2 A cez T4 sa vylúčil vplyv T5 na napätie na emitore T4. Preto od tohto okamihu sa plne uplatňuje budenie do bázy T1 a prúd T4 začne od hodnoty 0,2A prudko stúpať. Priebeh prúdu neodpovedá s ohľadom na parabolickú zložku napäťa na kondenzátore C9 napäťovému priebehu na emitore T4. Pri druhej polovici činného behu pracuje koncový stupeň už na prvý pohľad ako emitorový sledovač. Avšak i v prvej polovici činného behu, kedy T4 riadi svojim prúdom T5, zapojenie pracuje ako emitorový sledovač, pretože napätie na emitore T4 odpovedá presne budiacemu napätiu z odporu R9, a to bez ohľadu na odchýlky parametrov použitých súčiastok a medzi vtedy riadiacim tranzistorom T4 a riadeným T5 je silná záporná spätná väzba: ak napr. pre zvýšenie okamžitého vnútorného odporu /zníženie prúdového zosilnenia tranzistora T5/ stúpne napätie na emitore T4 viac, než odpovedá budieniu, prúd T4 sa zníži, čím sa prostredníctvom R17 zvýši prúd T3, čo spôsobí potrebné zvýšenie prúdu T5.

Pretože T4 vedia stále určitý prúd a v dobe, keď je tento prúd najnižší, je napätie  $U_{CE}$  najvyššie, je spotrebovaný výkon tohto tranzistora vyšší než u T5, a to v pomere asi 7 W : 2,5 W. V prípade poruchy koncového stupňa vertikálu je preto najčastejšie vadný tranzistor T4.

Zo "živého" vstupu vychylovacích cievok sa privádza časť vychylovacieho prúdu cez odpor 14-R1 18 ohm na doštičke "posuv" modul č.14 a potenciometer PT 2 na diódy 14-D1,D2, ktoré sú pripojené na kostru, teda cez odpor 11-R5 0,33 ohm na druhý koniec, "výstup" VC. Nastavením bežca PT 2 odvádzame menšiu alebo väčšiu časť prúdu v jednej polvlnie proti druhej mimo vychylovacie cievky, čím posúvame stred rastra.

Medzi emitor T3 a T1 je zapojený odpor R10, 82k /na terajších schémach nesprávne značený ako R7, 560, pričom tento odpor je správne ešte raz uvedený v ret'azi spätej väzby pre nastavenie pracovného bodu koncového stupňa/. V podkladoch výrobcu sád tohto TVP nie je spominaný .

Obvody riadkového vychylovania

Koncový stupeň horizontálu sa nachádza na module 13 - horizont. rozklad. Jeho úlohou je dodávať prúd zodpovedajúceho priebehu pre riadkové vychylovanie. Pozostáva zo spinacieho tranzistora T1 BU 208, výstupného transformátora AT 2076/30 so zabudovaným VN usmerňovačom tzv. split-diode HV rectifier /VN usmerňovač so sériovo zapojenými úsekmi "vinutie trafa - dióda", viď schéma. Toto zapojenie nahradzuje klasický VN násobič/, ďalej z vychylovacích cievok a príslušných obvodov pre získanie správneho priebehu vychylovania. Vychylovacie cievky tvoria samozrejme mechanicky samostatný diel riadkového rozkladu.

Organický patrí k uvedeným dielom i budiaci stupeň horizontálu, ktorý je umiestnený na module č.10, horizont. + vertikál.oscilátor /HVO/. Tento stupeň tvoria tranzistor Tl na module HVO, TIP 48, transformátor AT 4043/87 a členy R 25 560 ohm, C15 2,2/ $\mu$ , C17 4n7, R26 820 ohm/11W, R27 680 ohm/7W, L122, R29 22 ohm, R25 680 ohm. Primár transformátora AT 4043/87 je v obvode kolektora Tl a je premostený členom R26-C17 pre tlmenie parazitných oscilácií. Tranzistory BU 208 i TIP 48 sú napájané z rovnakého zdroja 152 V, aby pri zapojení TV prijímača na siet' súčasne naštartovali. R27 má za úlohu obmedziť prúd prechádzajúci cez tranzistor TIP 48. L122 spolu z rozptylovou indukčnosťou budiaceho transformátora spomaľuje klesanie bázového prúdu tranzistora BU 208 pri jeho vypínaní. Tým sa znižuje stratový výkon tohto tranzistora /podrobnejší popis budenia BU 208 viď v dokumentácii pre typový rad Olympia/.

Odpor v obvode bázy BU 208, 10-R28 0,68 ohm, znižuje rozptyl hodnôt bázového prúdu u jednotlivých exemplárov BU 208.

Charakteristické pre tento budiaci stupeň /tzv. driver/ s uvedeným transformátorom je to, že transformuje vyššie napätie a nízky prúd v primáre na nižšie napätie a väčší prúd v sekundáre, tak ako je to potrebné na budenie výstupného spínacieho tranzistora BU 208. Riadkový koncový stupeň pracuje synchronne s impulzmi z horizontálneho oscilátora v IO SN 76 545. Budiaci i koncový tranzistor pracujú tak, že keď jeden je otvorený, druhý zavretý a opačne /asimultánne bude nie/. Zadná hrana budiaceho impulzu z H oscilátora zatvorí tranzistor TIP 48. Tým vzrástie napätie na jeho kolektore a tak isto na sekundáre transformátora AT 4043/87. Tranzistor BU 208 sa otvára. Obvod vychyľovacieho prúdu tvoria vychyľovacie cievky v sérii s kondenzátorom 13-C12 pre S-korekciu, lineárizačná cievka L3 AT 4042/41 a cievka ZV-korekcie AT 4043/61. Obvod sa uzatvára vinutím 3-5 na VN transformátore, čo súvisí s obvodom pre korekciu poduškovitého skreslenia Z-V. S korekciou Z-V súvisia tiež diódy D2 a D3, kondenzátor C6 /470 nF/ a "modulačná" tlmivka L5 – viď "diódový modulátor".

Ako uvidíme v ďalšej časti popisu, prúd cez vychyľovacie cievky /označujeme ho  $I_y$ / je menší, než súčet prúdu cez Tl a D2,D3. Rozdiel tečie cievkou L4.

Použitá obrazovka A67-701X má vychyľovaciu jednotku priamo upevnenú a pritom len na hrdle obrazovky včítane obvodov pre konvergenciu, takže konvergenčné obvody na chassis odpadajú. Vychyľovanie lúča prebieha nasledujúcim spôsobom: obvodom, ktorý je vpredu popísaný, začína tieť pílovitý prúd od nuly do maximálnej hodnoty. Lúč sa pohybuje po tienidle od stredu ku pravému okraju tienidla. Medzitým impulz od horizontálneho oscilátora z IO SN 76 545 otvára budiaci tranzistor 10-Tl TIP 44A, čo spôsobí /nie však okamžite/ uzavretie koncového tranzistora BU 208.

**Ve vychyľovacom obvode sa nahromadí energia, ktorá spôsobí vznik sínusových oscilácií, presnejšie kosínusovú polvlnu prúdu, pričom kmitočet /trvanie spätného behu/ je daný hodnotou kondenzátora C1 6n8 - 1500 V a pretransformovaných indukčností vychyľovacích cievok atď, ako u všetkých vychyľovacích riadkových obvodov. C1 sa nabíja na hodnotu až cca 1200 V<sub>šš</sub> a po prechode klesajúceho prúdu nulou sa opäť začína vyuvíjať do nuly. Za tento čas, asi 12 ms, sa vráti elektrónový lúč na ľavý okraj tienidla. Kondenzátor C1 sa začína nabíjať v opačnom smere, čo spôsobuje, že napätie na kolektore BU 208 má tendenciu vzrastať v zápornej polarite, takže sa otvoria diódy D2 a D3 a cez vychyľovací obvod preteká pílovitý prúd, ktorý klesá od maximálnej zápornej hodnoty k nule. Súčasne tečie časť tohto prúdu i tranzistorom T1, viď ďalej. Tento prúd posúva lúč od ľavého kraja tienidla do stredu a takto sa pochop opakuje.**

C12 - 1/<sub>u</sub>F zabezpečuje tzv. S-korekciu, takže pílovitý prúd sa mení na začiatku i na konci riadku pomalšie. To je potrebné, pretože polomer zaoblenia tienidla je omnoho väčší než by odpovedalo rovnakej zmene uhlu vychyľovania.

Spätnobehový impulz VN vinutia sa transformuje, usmerňuje a násobí na diódovo-kaskádovej časti samotného VN trafa - diódová kaskáda je zabudovaná do vinutia VN trafa. Táto dodáva jednosmeré vysoké napätie 25 kV, ktoré je privádzané na anódu obrazovky VN kábelom.

Pre ostrenie je použitý tzv. bleeder, vysokonapäťový odpor, mechanicky pevne spojený s VN káblom, z ktorého sa privádzia napätie na potenciometer ostrenia. Napätie pre g2 obrazovky sa dodáva usmernením impulzov spätného behu diódou 13-V1, ktorá nabíja kondenzátor C3, 68n.

Na module horizontálneho rozkladu sa nachádzajú ešte ďalšie súčiastky, ktoré nesúvisia priamo s vychyľovaním ani diódovým modulátorom pre korekciu podušky Z-V. Ich účel uvádzame nižšie:

R11, 1 ohm/2W - zrážiaci odpor pre žeravenie obrazovky.

R12, 1k paralelne s C8, 5/<sub>u</sub>F: pripojenie VN vinutia s "rozdelenou" diódovou VN kaskádou /"diode-split secondary"/ na kostru. Priebehom prúdu obrazovky od kostry cez R12 vzniká na spoločnom bode R12-C8 záporné napätie, ktoré sa odraťuje od kladného napäcia, daného deličom R5-P1/R12, zapojeným medzi zdroj +152V a zem. Keďže výsledný odpor R5+P1 je mnohokrát vyšší než R12, je kladné napätie na C8 pri nulovom prúde obrazovky možné nastaviť medzi 1,5 až 2,7 V. Toto odporové účelu odporu R12 - cez R14 a odpor 4-R50 10k v dekóderi je z neho privádzané napätie na bázu tranzistora TR 6 v dekóderi. Vysvetlíme si tu hned aj činnosť obvodu pre obmedzenie jasu s diódou 4-D2 a tranzistormi 4-TR5 a 4-TR6. Pokial sa neprekročí určitý katodový prúd obrazovky, je 4-D2 zavretá. Bežne je maximálne napätie na špičke 5 /riadenie kontrastu/ TCA 660 5,2V. Na druhej strane max. priemerný prúd obrazovky je 1 mA.

Tento stav by už mal vyvolať tak vysoký prúd 4-TR5 a 4-TR6, že sa dióda 4-D2 otvorí, teda bude mať asi 4,5 V na katóde. K tomu je treba, aby emitorový prúd TR5 dosiahol asi 2,3 mA, čím dosiahneme potrebný pokles napätia na 4-R47 3k3. Aby bolo na katóde 4-D2, tj. na emitore TR5 4,5 V, musí byť na jeho báze 3,8V a na R 48 musí teda klesnúť napäťie o 8,2V, čo znamená  $I_E$  TR6 0,68 mA. Týmto prúdom vznikne pokles 1,8 V na R49, takže na báze TR6 potrebujeme asi 1,3V. Pri nastavení  $U_{R12}$  na module "13" bez prúdu obrazovky na 2,3V to práve s prúdom obrazovky 1 mA dosiahneme. Spád napätia na R50 sme pre malý  $I_B$  TR6 zanedobili.

Klesajúce napäťie na 13-R12 so vzrástajúcim prúdom obrazovky sa využíva i pre stabilizovanie rozmeru zvisle cez odpory 11-R3 a 11-R4 vo vertikálnom module, ako je popísané vpredu.

Z odbočky 7 primáru VN trafa sa cez 13-C11 220 nF odoberajú kladné H-impulzy pre porovávanie kmitočtu a fázy v horizontálnom oscilátore integrovaného obvodu SN 76 545.

Z vinutia 6-5 cez kondenzátor 13-C10 10nF sú dodávané kladné H impulzy pre spracovanie /tvarovanie, úpravu amplitúdy a zúženie s časovým posunutím/ na impulznej doske dekódera "6".

Z vinutia 3-5 cez delič R17-R15 pri tvarovaní diódou D9 a pripojenými ďalšími diódami /11-D5,6-D4/ spolu s viacerými odpormi a kondenzátormi, sa získavajú záporné pravouhlé zatemňovacie impulzy pre 10 TCA 660 v dekóderi.

Záporné impulzy pre AVC na module OMF sa dodávajú z vinutia 4-5, pričom dióda 13-D8 odrezáva šikmú kladnú časť priebehu pri činných behoch. Tieto impulzy sú využívané tiež k zavedeniu záporného napäťia na vývod č.2 tunera /napájanie +12V pri III. TV pásmu/, aby pri prepnutí na iné pásma tam bolo záporné napätie obmedzené diódou 16-D7 1N4148 na ca. -0,7 V.

Pomerne zložitá funkcia diódového modulátora korekcie Z-V je popísaná v ďalšej časti.

## Horizontálny koncový stupeň

---

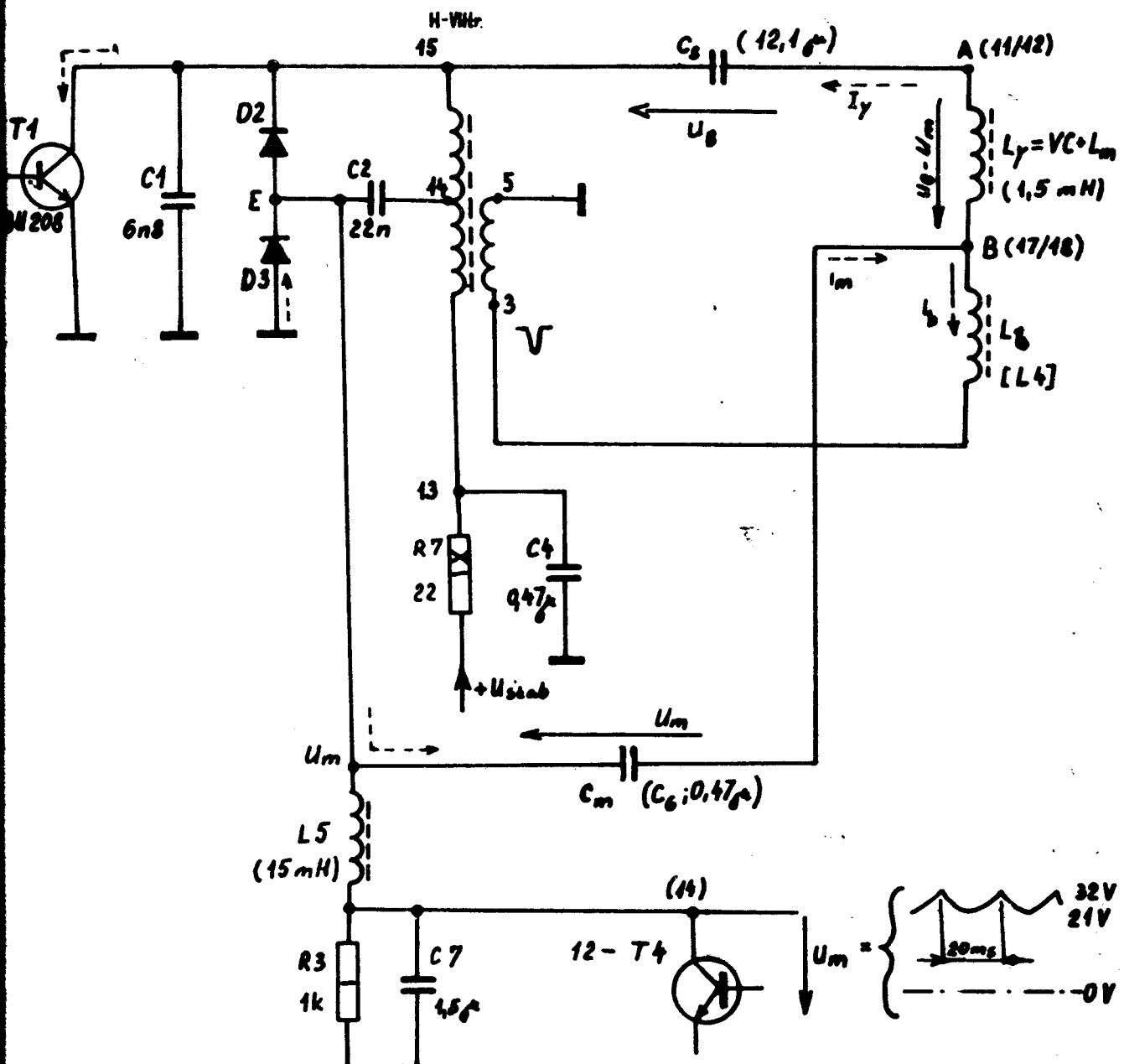
### Diódový modulátor /DM/

Dôležitou časťou obvodu H-koncového stupňa sú tie časti, ktoré umožňujú korekciu východ-západ /Dalej VZ/, tj. zavedenie takého súdkovitého skreslenia, aby sa vyrovnalo poduškovité skreslenie, spôsobené tým, že stred zaoblenia tienidla sa nachádza omnoho ďalej od tienidla než stred vychyľovania. V TVP 4413-A je použitý jeden z najmodernejších spôsobov DM, ktorý pri pomerne malom počte súčiastok je i energeticky ekonomický.

Na obr.1 sú zakreslené tie časti H konc. stupňa, ktoré sú nutné pre riadkové vychyľovanie s moduláciou na odstránenie poduškovitého skreslenia. Malá indukčnosť 13-L2 je vypustená - slúži iba pre tlmenie nežiadúcich kmitov. Zdrojom modulačného napäcia je tranzistor 12-T4 na module korekcie VZ, ktorý je napájaný z bodu "E" /spoločný bod 13-D2 a 13-D3/ v module H konc. stupňa cez tlmivku L5 /L<sub>VZ</sub>/ o indukčnosti 15 mH. Funkcia modulu korekcie podušky VZ bude vysvetlená zvlášt.

Indukčnosť L5 je ca. 10x väčšia než indukčnosť horizont. vychyľovacích cievok a asi dvojnásobná proti indukčnosti primáru VN trafe, takže pre napäťové a prúdové priebehy s riadkovým kmitočtom nemusíme jej vodivosť uvažovať. Na jej vstupe /vývod 14 modulu H/ je pripojený RC člen C7 1,5  $\mu$ F - R3 /1k/, ku ktorému je pripojený kolektor tranzistora 12-T4 budeného do bázy napäťom parabolického priebehu s kmitočtom vertikálu. Kondenzátor C7, nabíjaný pri riadkovom vychyľovaní /impulzmi spätných behov v bode E - počas sp. behov diódy D2 a D3 sú uzavreté/, je zdrojom napájacieho napäcia pre kolektor 12-T4. Je zaťažovaný odporom R3-1k a k nemu pripojeným premenlivým odporom, predstavovaným tranzistorom 12-T4.

Takýmito zmenami RC konštanty vznikajúce modulačné napätie U<sub>m</sub> je jednak striedavé - parabola asi 12 V<sub>ss</sub> s negatívnym vrcholom ako je naznačené na schéme pri 12-T4 - jednak kladné jednosmerné, takže najnižší bod paraboly má pri normálnom nastavení asi +20 V proti zemi. Parabola s vertikálnym kmitočtom odstraňuje poduškovité skreslenie VZ, jas napätie /regulovateľné pomocou 12-RV3/ riadi šírku obrazu. U<sub>m</sub> sa teda mení proti riadkovému kmitočtu pomaly približne v medziach +20 až +32 V a čím je vyššie, tým je H-koncový stupeň v obvode D3-C6-L4 - vinutie 3-5 VN trafe menej zaťažovaný modulátorom /premenlivý odpor predstavovaný tranzistorom 12-T4 je vyšší/. Pre pochopenie je výhodné považovať U<sub>m</sub> pre určitý okamih za jednosmerné.



Obr. 4

Poznámky k obr.:

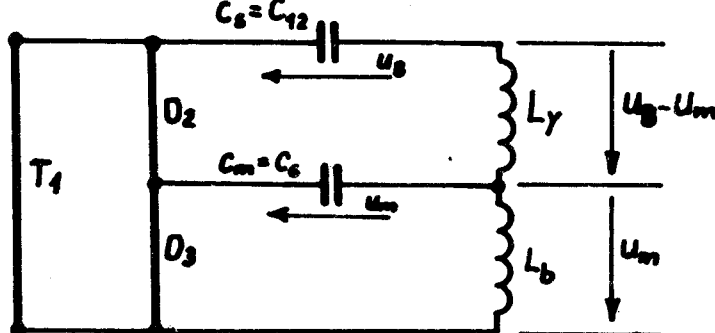
- $U_B$ ,  $U_B - U_m$ ,  $U_m$  - stav pri činnom behu
- bod B uvažovaný pri zanedbaní  $L_{lin}$
- $L_b$  je ca. 1,7 mH s ohľadom na vinutie 3-5 /bez neho by stačilo 1mH/
- Čím je väčšie  $U_m$  /modulačné napätie/ v bode E, tj. čím je vyšší odpor predstavovaný tranzistorom 12-T4, tým viac teče prúdu cez  $L_b$  mimo  $L_y$ .

Pri modulovaní do "súdka" nás zaujímajú dva stavy:

- a/ činný beh, kedy ide o získanie správneho "protiskreslenia", tj. priebehu súdkovitých skreslenia daného rozdielom amplitúd prúdu cez riadkové vychylacie cievky /VC/ medzi stredom tienidla a obidvoma okrajmi hore a dolu,
- b/ spätný beh, kedy napriek zmenám amplitúd vychylacieho prúdu chceme, aby sa napäťie H-impulzov na spätnobežovom kondenzátore C1 6n8 nemenilo, pretože by sa s ním menilo VN.

Najprv si vysvetlíme modulovanie vychylacieho prúdu. V našom zapojení je linearizačná tlmička L3 v sérii s vychylacími cievkami. Drobné zmeny jej indukčnosti v závislosti na zmenách amplitúdy vychylacieho prúdu sa s ohľadom na pomerne malý ohmický odpor sedlových riadkových vychylacích cievok proti ich indukčnosti prakticky neprejavujú v linearite. Indukčnosť VC a  $L_{lin}$  /L3/ včítane premostovacieho odporu R2 1k označíme  $L_y$ , a prúd cez túto indukčnosť  $I_y$ . Indukčnosť  $L_4=L_b$  a prúd cez ňu bude  $I_b$ .

Vychylací prúd pri činnom behu sa uzatvára cez kondenzátory 13-C12 1, uF a 13-C6 0,47, uF.  $I_y$  preteká však čiastočne aj cez  $L_b$ . Pre ľahké pochopenie modulovania poslúži tento nákres obvodu obr. 2, platný pre činný beh:



Obr. 2

Pri činnom behu je bud zopnutý tranzistor BU 208 spolu s D3 v druhej polovici činného behu alebo dióda D2 spolu s reverzne pracujúcim tranzistorom, prípadne krátko po skončení spätného behu obidve v sérii. V každom prípade môžeme považovať obvod vychylacieho prúdu  $C_s - L_y - C_m$  za pripojený na zdroj napäťia  $U_B - U_m$ . Toto napätie môžeme pre niekoľko riadkov činného behu považovať za jednosmerné.

Napätie  $U_B$  je napätie zdroja na kolíku č. 13 VN trafa /jeho mierne zvlnenie môžeme zanedbať/, ktoré sa nemení a je napr. +150V. Modulačné napätie  $U_m$  v bode E môže byť napr. pri riadkoch v strede tienidla +20V. Na napätie  $U_B$  je nabity kondenzátor  $C_s$ , na  $U_m$  je nabity  $C_m$ .

Napätie na indukčnosti  $L_y$  bude teda  $150-20 = 130V$  a tomu bude odpovedať v závislosti na indukčnosti  $L_y$  i stúpanie vychýl. prúdu, čiže pri trvaní činného behu  $52/\mu s$  a  $L_y = 1,5 \text{ mH}$  bude vychýl. prúd mať hodnotu špička-špička:

$$I_{y\text{ss}} = (130V \times 52 \times 10^{-6}) : (1,5 \times 10^{-3}) = 4,5 \text{ A}_{\text{ss}}$$

Na okrajoch tienidla, kedy je  $U_m$  napr.  $32V$ , bude  $I_{y\text{ss}} = 4,1 \text{ A}_{\text{ss}}$

Tento výpočet je zjednodušený, neuvažuje sa s úlohou kondenzátorov  $C_s$  a  $C_m$  pre S-korekciu, pri ktorej je stúpanie prúdu nelineárne /esovité/. Obrázok /2/ ani výpočet neuvažujú s vinutím 3-5, to však nie je na závadu pochopeniu základného princípu korekcie VZ.

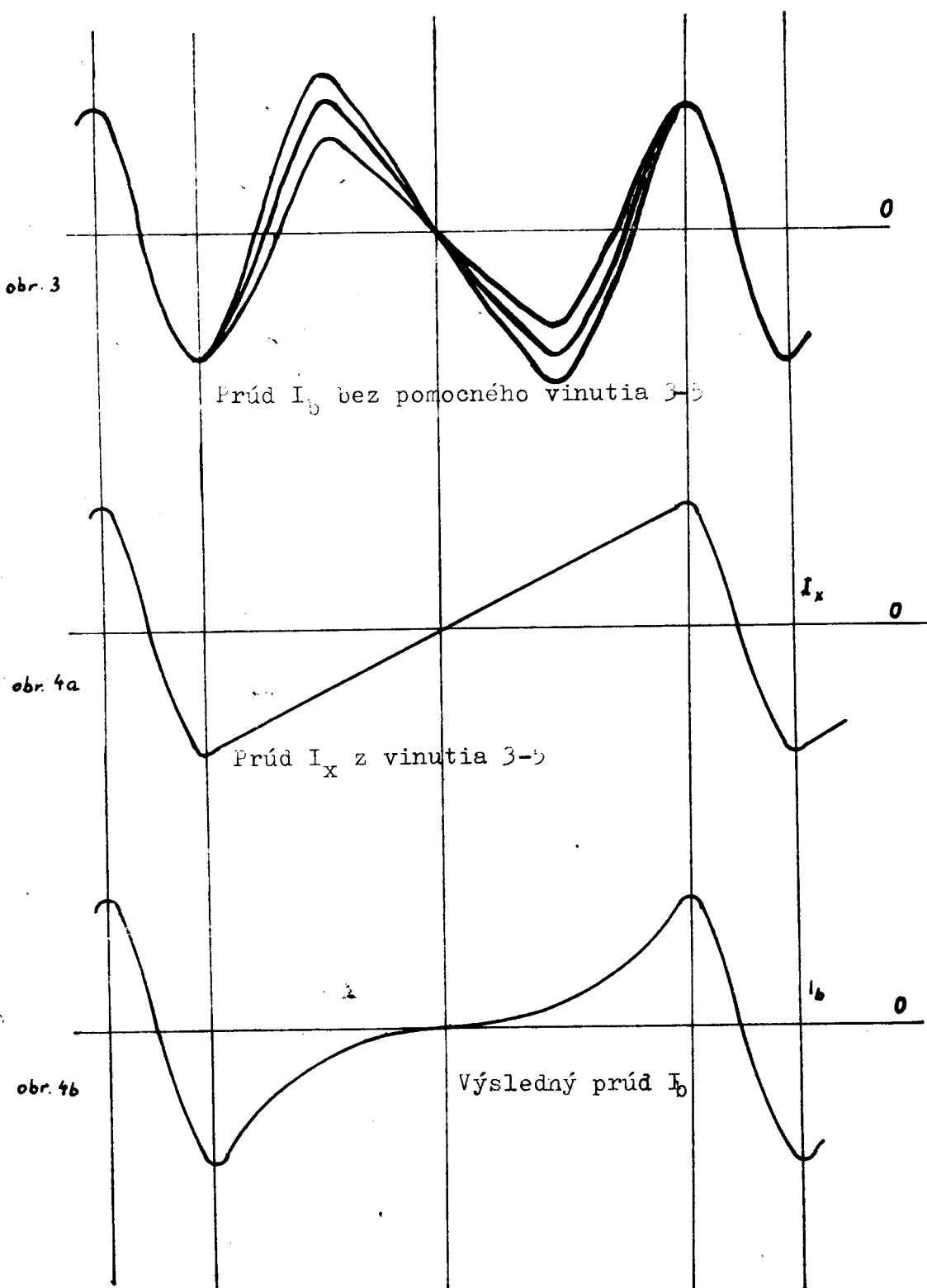
### Účel vinutia 3-5 na VN transformátore

Pomocou tohto vinutia získavame záporné H-impulzy o amplitúde asi  $320 \text{ V}_{\text{ss}}$ . Ak by cievka  $L_b$  bola pripojená priamo na zem, rušilo by riadnu funkciu diódy D3 pomerne veľké sínusovité zvlnenie prúdu cez  $C_m$  a  $L_b$ . Hodnota  $L_b$  by bez tohto vinutia totiž vychádzala tiež nižšia než s ním, aby bolo zachované pravidlo, že odbočka na VN trafe a pomer indukčností  $L_y : L_b$  musia tvoriť mostík, čo je nutné pre správnu funkciu druhého "spätnobehového" kondenzátora C2 22n. Okrem toho je k  $C_m$  paralelne pripojená sériová kombinácia  $L_y - C_s$ , čo podstatne znižuje výslednú kapacitu tohto obvodu. V dôsledku toho by sa polarita prúdu v obvode D3-C<sub>m</sub>-L<sub>b</sub> asi za  $5/\mu s$  po skončení sp. behu obrátila a nemohla by viest dióda D3, vid. obr.3. Ak by do tej doby neboli vybudení tranzistor T1, nemohlo by vychýľovanie fungovať /pri vybudenej tranzistore sa prúd uzatvára cez D2 a T1/.

Záporné H-impulzy, ktoré v dobe činného behu dávajú kladné napätie, vytvoria v obvode zem-vinutie  $5-3 - L_b - C_m$  pílovitý prúd  $I_x$ , stúpajúci od záporného maxima ku kladnému. Počet závitov vinutia je zvolený tak, že výsledný prúd  $I_b$  zostáva záporný až asi do  $20/\mu s$  od skončenia sp. behu /tesne pred priechodom vychýľovacieho prúdu nulou a krátko potom je  $I_b$  nulový/, vid. obr. 4a,b.

Toto opatrenie je potrebné hlavne pri použití "spínacieho" sietového napájača, ktorý súčasne budí H-rozklad; tam sa oneskoruje budeňie T1 pri nízkom sietovom napäti.

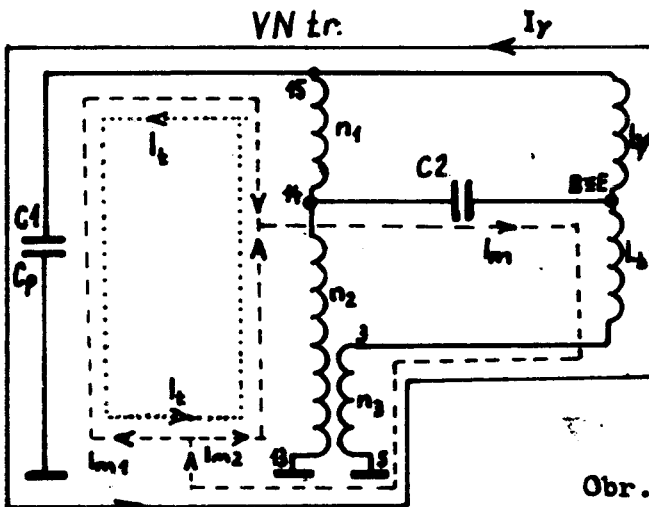
Pri výpočte C1,C2 a  $L_b$  musí byť toto vinutie zohľadnené /započítaný pomer jeho závitov k primáru/. Je nutné však podotknúť, že vypočítané hodnoty nemôžu zahrňať všetky rozptylové kapacity VC a VN trafa, ani oneskorenie pri vypínaní diódy D3, takže praktické hodnoty sú upravené na optimálnu funkciu a hodnotové rady súčiastok.



/Znázormené prúdy nie sú vyznačené v rovnakom meradle!/:

Spätný beh.Účinok C2

Po uzavretí T1 začína spätný beh. Uzavrie sa tiež D3 a  $I_y$  tečie do C1 /6n8/;  $C_s$  i  $C_m$  možno pri spätnom behu zanedbať pre ich vysokú kapacitu, diódy sú zavreté kladným napäťom na C1, preto sa celý obvod zjednoduší podľa obr. 5



Obr. č.5

V prvej polovici sp. behu, ako u všetkých iných tranzistorových riadkových koncových stupňov, sa nahlíjamím  $C_p = C_1$  vytvára na tomto kondenzátore kladné napätie, pričom súčasne prúd klesá od kladného maxima /pri pozorovaní v smere kolektor-emitor T1, zem, VC/ k nule, aby potom vybíjaním  $C_p$  stúpal k max. zápornej hodnote. Prúd cez  $C_2$ , pripojený po uvedenom zanedbarí  $C_m$  medzi odbočku č. 14 VN trafa a spoločný bod  $L_y, L_b$ , nazveme  $I_m$ .  $I_m$  je vždy prúd, ktorý tečie cez  $C_m$  0,47  $\mu F$ . Je rovný rozdielu medzi  $I_y$  a  $I_{Lb}$ , teda je vysoký pri nízkom  $U_m$  a nízky pri vysokom  $U_m$ .  $I_{Lb}$  je tým väčší, čím je vyššie vždy kladné  $U_m$ . Vidieť tiež obr. 16 /a-d/, kde sú vyznačené krajné prípady veľmi nízkeho /16a, c/ a veľmi vysokého  $U_m$  /16b, d/, na str. 33.

Po skončení činného behu, kedy sa uzavrie dióda D3,  $I_m$  pokračuje svojím smerom zmenšujúcou sa amplitúdou a to tak, že nabíja  $C_2$ . Okruh nabíjania a vybíjania  $C_2$  ide od spoločného bodu  $L_y$  a  $L_b$  cez  $L_b$ , vinutie 3-5, kostru a  $C_4$  na vinutie 13-14 VN trafa a na  $C_2$ . Vo VN trafe sa prúd  $I_m$  delí na časť  $I_{m2}$ , pripadajúcu na vinutie trafa od odbočky 14 do zeme a na časť  $I_{m1}$ , pripadajúcu na zostatok vinutia, tj., od odbočky 14 až na  $C_1$ . Je to znázornené na obr. 5 pre prvé polovicu sp. behu. Prúd cez  $C_1$  je

$$I_{C1} = I_y - I_{m1}$$

Ako sme už uviedli, pri nízkom modulačnom napäti  $U_m$  je  $I_y$  vysoký a s ním aj  $I_m$ , naopak pri vysokom modulačnom napäti je  $I_y$  nižšie a  $I_m$  tiež nižšie, toto sa však zmenšuje viac, pretože  $I_y$  sa okrem cez  $C_m$  uzavára aj cez  $L_b$  a  $I_{Lb}$  pri vyššom modulačnom napäti stúpe.

Správnou volbou  $C_1$  a  $C_2$  /výpočtom korigovaným podľa skúšok na vzorkách/ a s príslušným umiestnením odbočky 14 je možné dosiahnuť, že pri spätnom behu sa napätie na  $C_1$  nemení napriek VZ korekcií.

Pre zabezpečenie rovnakého VN H-impulzu bez ohľadu na moduláciu šírky musí byť odbočka na VN trafe zvolená proti  $L_y$  a  $L_b$  /včítane vinutia 3-5/ tak, aby vznikol výrovnany mostík, tj.  $n_1 : L_y = n_2 : L_b$

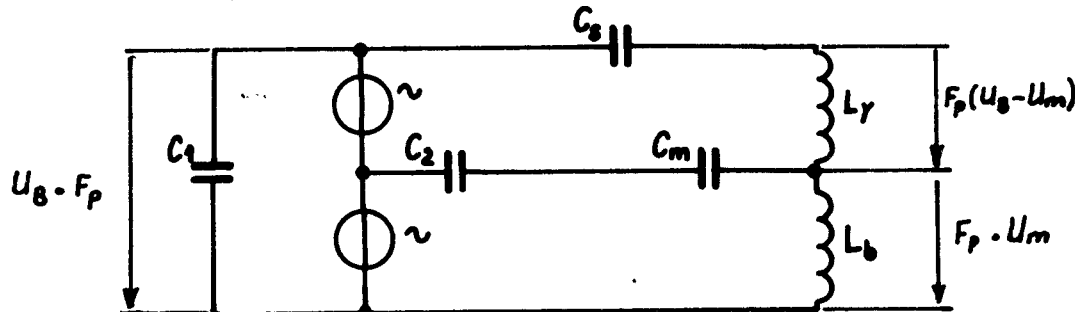
ako prvá podmienka a rezonančné obvody tvorené indukčnosťami  $L_y$  a  $L_b$  so spätnobehovými kondenzátormi  $C_1$ ,  $C_2$ , musia byť správne vyladené tak, aby spätnobehové napätia na  $L_y$  i  $L_b$  mali rovnaký kmitočet. Z obr.2 plynie, že pri pomere napätia spätného behu ku napätiu pri činnom behu /ktorý označíme  $F_p$ / napr. rovnom 8,5 bude:

$$U_y = 8,5 (U_B - U_m) = 8,5 \cdot U_B - 8,5 \cdot U_m \quad \text{a napätie na } L_b:$$

$$U_{Lb} = 8,5 \cdot U_m$$

Súčet týchto napätií je teda  $U_y + U_{Lb} = 8,5 U_B$  a nie je závislý na  $U_m$ .

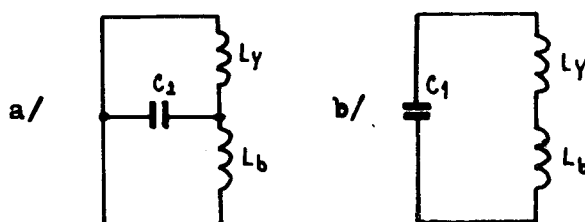
Na obr.7 je naznačený obvod diódového modulátora počas spätného behu.



Obr. 7

Pri správnom vyladení je rezonančný kmitočet obvodu pri skratovanom VN transformátore rovný rezon. kmitočtu pri "odpojenom" transformátore. Z nižšie naznačených zjednodušených obvodov, kde sú zanedbané kapacity  $C_s$  a  $C_m$ , mnogonásobne väčšie než  $C_2$  a  $C_1$ , i vlastná indukčnosť transformátora, vyplýva potom:

$$C_2 \frac{L_y \cdot L_b}{L_y + L_b} = C_1 (L_y + L_b) \quad \text{a} \quad C_2 = \frac{(L_y + L_b)^2}{L_y \cdot L_b} \cdot C_1$$



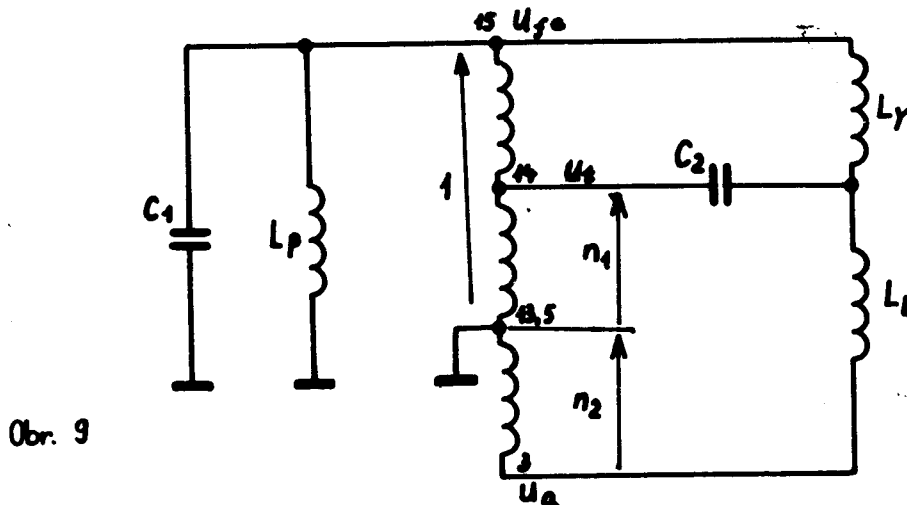
Obr. 8

## Diódový modulátor s pomocnými zápornými impulzami z vinutia 3-5 VN trafa

Na obr. 9 je naznačený obvod diódového modulátora pri spätnom behu s pripojeným vinutím 3-5. Vlastnú indukčnosť VN trafa predstavuje  $L_p$ , samotné VN trafa ako ideálne s nekonečne veľkou indukčnosťou je nakreslené samostatne. Počet závitov primáru je vyjadrený pre zjednodušenie výpočtov číslom 1, a  $n_1$  je pomer počtu závitov od zeme do odbočky 14 k počtu závitov primáru /od vývodu 13 do vývodu 15/,  $n_2$  je pomer počtu závitov vinutia 3-5 k počtu závitov primáru.  $U_{f1}$  je napätie spätného behu,  $U_t$  je napätie na odbočke a  $U_a$  je napätie na vinutí 3-5.  $C_s$  a  $C_m$  sú zanedbané z už spomenutých dôvodov.

Mostík je vyrovnaný, ak

$$L_y \cdot (n_1 + n_2) = L_b \cdot (1 - n_1), \quad \text{tj. pri } L_y \cdot (U_t + U_a) = L_b \cdot (U_{f1} - U_t)$$

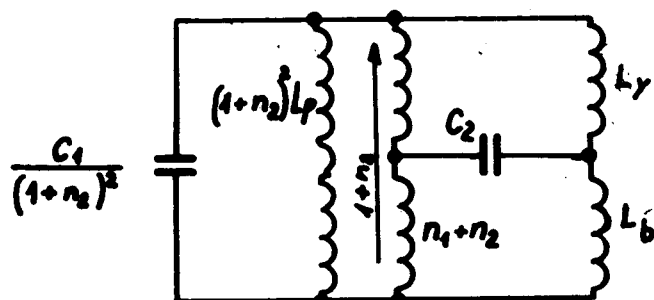


Obr. 9

Pri výpočtoch sa transformuje  $C_1$  a  $L_p$  takto:  $C_1' = \frac{C_1}{(1+n_2)^2}$

$$L_p' = (1+n_2) \cdot L_p$$

Po tomto transformovaní môžeme nakresliť zjednodušený obvod, vid' obr. 10



Obr. 10

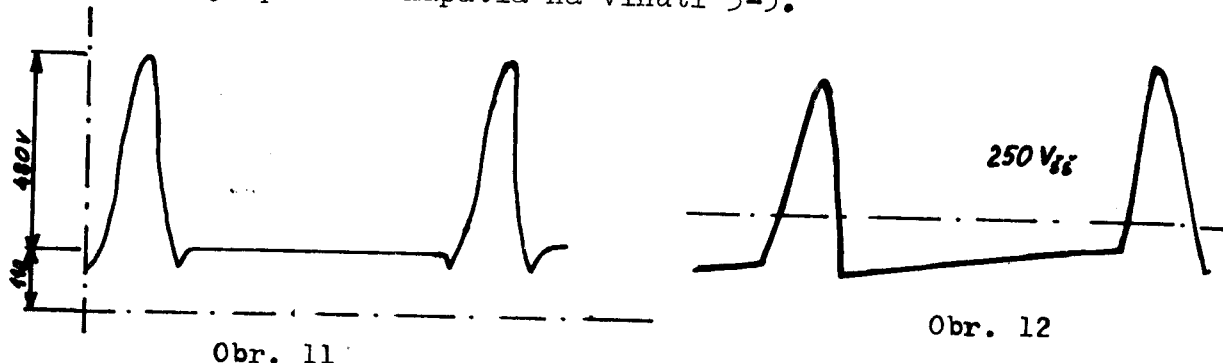
Pri  $U_{f1} = 1200 \text{ V}$ ,  $t_f$  (doba sp. behu) =  $11,5 \mu\text{s}$ ,  $L_y = 1,5 \text{ mH}$   
 $U_t = 480 \text{ V}$ ,  $U_a = 320 \text{ V}$  vyjde pre

$$L_b = L_y \cdot \frac{U_b + U_a}{U_{f1} - U_t} = 1,5 \cdot 10^{-3} \cdot \frac{480 + 320}{1200 - 480} = 1,67 \text{ mH}$$

Podobne je možné vyrátať C1 a C2. Upresnenie hodnôt pre výrobu sa prevádzka praktickým overovaním, vplývajú na ne rozptylové kapacity trafa a cievok, kapacitná zátaž usmerňovacích obvodov sekundáru a spínacie rýchlosť diód.

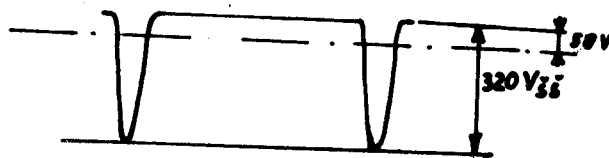
Na obr. 11 je oscilogram napäcia na odbočke 14 VN trafa, na obr. 12 vidíme priebeh napäcia na spätnom prívode od VN cievok, šp. 17+18 modulu H.

Na obr. 13 je priebeh napäcia na vinutí 3-5.



Obr. 11

Obr. 12



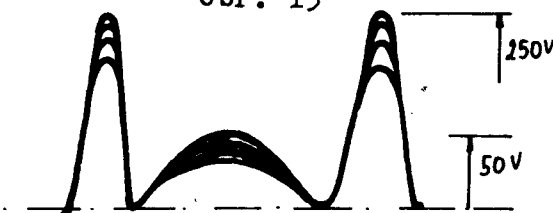
Obr. 13

Obr. 14



/silne zväčšené/

Obr. 15



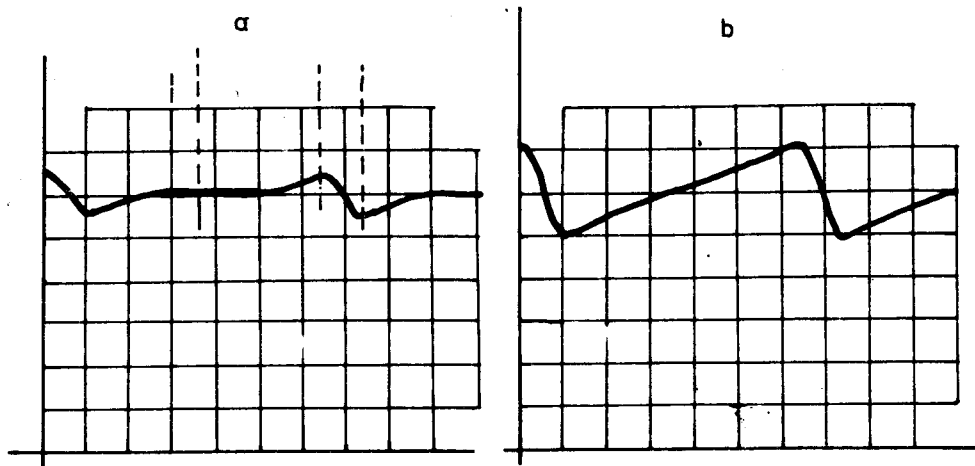
Oscilogram napäcia v spoločnom bode diód D2, D3 /bod E/ je na obr. 14, v spoločnom bode C6, L3, L4, R2 na obr. 15.

Rôzne amplitúdy spätných behov a parabolického napäcia spôsobeného priechodom pílovitého prúdu cez C6 sú výsledkom zmien modulačného napäcia  $U_m$  z obr. 1.

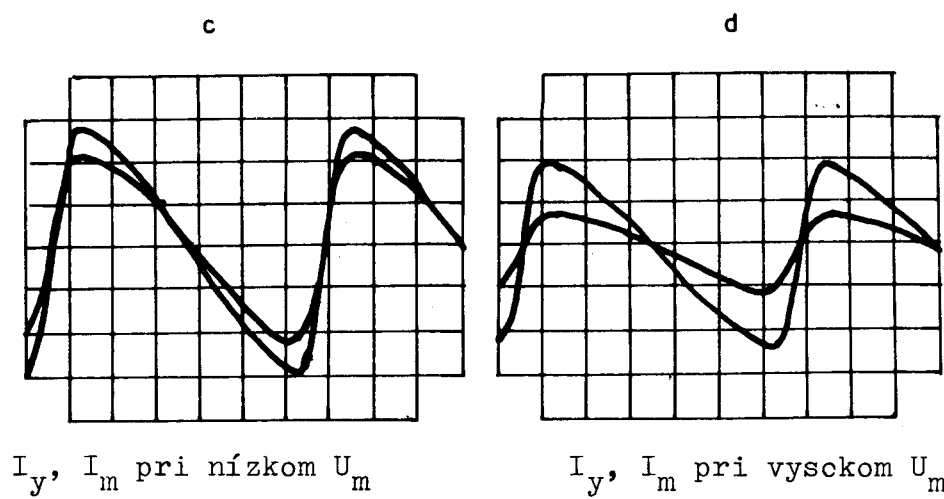
Na

/Ob

Na obr. 16 sú priebehy  $I_{Lb}$ ,  $I_y$  a  $I_m$  pri extrémnych prípadoch modulačného napäťia /v skutočnosti je  $U_m$  vždy vyššie než 0 V/.



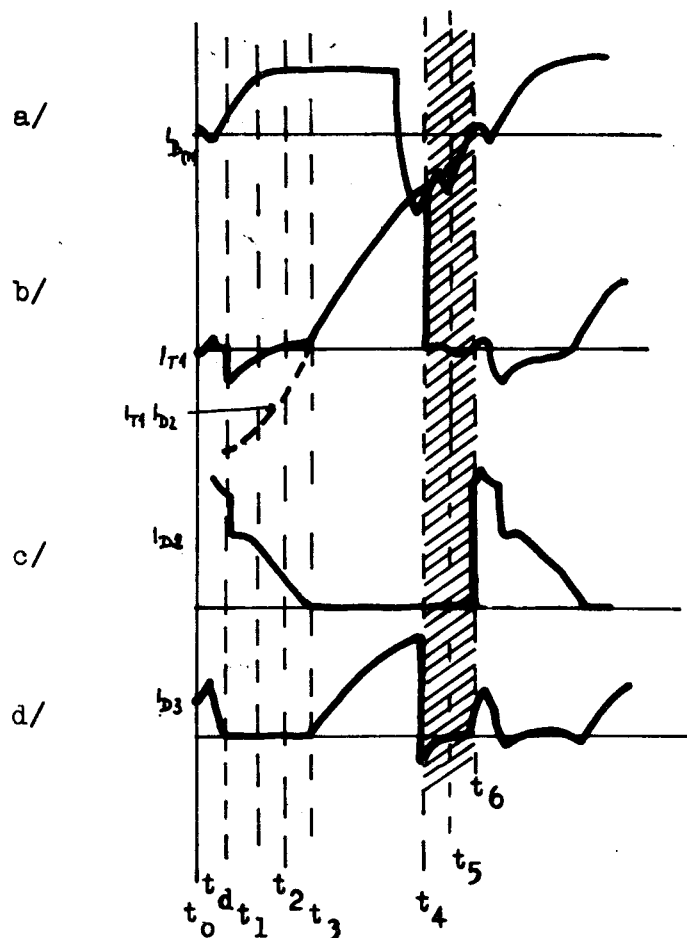
Obr. 16



Na obr. 17 je znázormený  
 a/ priebeh napäťia na báze T1  
 b/ prúd cez T1  
 c/ prúd cez D2  
 d/ prúd cez D3

/Obrázok 17 je na ďalšej strane/

Prúdy  $I_{B-T1}$ ,  $I_{C-T1}$ ,  $I_{D2}$  a  $I_{D3}$  v horizont.konc.stupni s V-Z korekciou:



Prúd  $T1$  spolu s prúdom  $D2$  nie je úplne zhodný s  $I_y$ , pretože sa delí aj  $y$  do indukčnosti VN trafa

$I_{T1}$  a  $I_{D2}$  tečú paralelne, ale  $I_{D3}$  je v sérii s  $I_{T1}$  v 2.polovici činného behu

$I_{D3}$  v 2.polovici činného behu je nižší o prúd  $I_{Lb}$  a o prúd cez VN trafa než  $I_{T1}$

$t_o$  - koniec spätného behu

$t_d$  - začína budenie  $T1$

$t_1$  - prúd VN trafa cez nulu

$t_2$  - v praktickom zapojení s inverzným prúdom  $T1$  bez významu /ide o dobu, kedy pre rovnosť prúdov  $I_b$  a obráteného tečúceho prúdu cez VN trafa by prestala viest  $D3$ , ak by bola zvláštnou diodou medzi  $T1$  a ostatnými obvodmi znemožnená inverzná činnosť tranzistora/

$t_3$  -  $T1$  začína viest v normálnom smere, vychylovací prúd prechádza nulou

$t_4$  - koniec činného behu, začiatok spätného behu

$t_5$  - spätnobehový prúd prechádza nulou

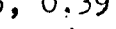
$t_6 = t_o$  - koniec spätného behu

Obr. 17

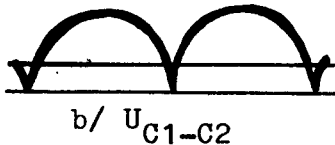
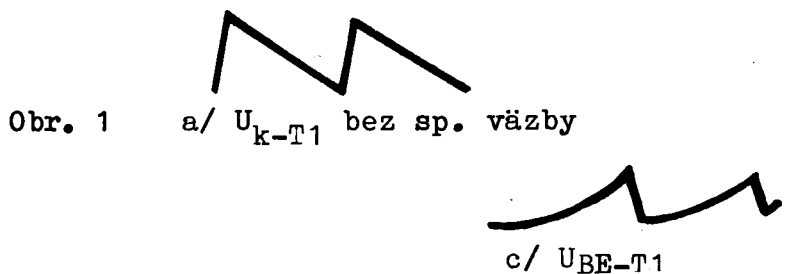
ciou;

Modul korekcie podušky V-Z /12/

Na module "12" sú umiestnené súčiastky pre vytváranie modulačného napäťia  $U_m$ . Ostatné obvody diódového modulátora pre korekciu V-Z sú na doske H-koncového stupňa "13", ako je uvedené vpredu.

Obvody modulu "12" sú napájané z rovnakého zdroja +33 V ako pre vertikálny rozklad. Na spätnoväzobnom odpore vertikálneho koncového stupňa 11-R5, 0,39 ohm, sa vychyľovacím prúdom vytvára stúpajúce pílovité napätie  s amplitúdou 1,1 V<sub>šš</sub>. Toto sá privádza na modul "12" jednak na trimer-potenciometer RV 1, jednak cez odpor 12-R1 12k na bázu tranzistora T1, BC 182A, ktorý je vstupom tvarovacieho obvodu. Tento obvod má za úlohu tvarovať privádzané napätie pílovitého priebehu na priebeh parabolický, ktorý sa používa na korekciu poduškovitého skreslenia v smere V-Z. Tranzistor T1 pracuje so silnou, frekvenčne závislou spätnou väzbou, realizovanou dvojitým T-článkom C1-R3-C2, R4-C3-R5 /prosíme opraviť si očíslovanie u odporu: - R6-33k na R4!/. V kolektorovom obvode je ešte zapojený kondenzátor C4 100p ako ochrana proti kmitaniu v tomto stupni.

Bez frekvenčnej závislosti späťnej väzby by na kolektore T1 bolo pílovité napätie obráteného priebehu ako na báze, tj. klesajúce. Prúd od kolektora T1 pozorovaný smerom ku zemi i zdroju, ktorý prechádza i uvedeným T-článkom, má teda, ak si zatiaľ odmyslíme jeho tvarovanie spätnou väzbou, tiež priebeh klesajúcej píly. Na kondenzátore vytvára, ako je známe, lineárne klesajúci prúd parabolické napätie kladnej polarity, vid. obr. 1a,b. Ak by sme miesto kondenzátorov C1,C2 mali ohmické odpory, vznikol by obyčajný delič napäťia z kolektore a  $U_{BE}$  by malo tvar stúpajúcej píly, ako odpovedá bučeniu, avšak s príslušne nižšou amplitúdou. V našom prípade sa spád napäťia na C1+C2 odpočítava od "pôvodného" klesajúceho pílovitého napäťia na kolektore a prichádza teda cez spätnoväzobné odpory C1+C2 na odpor R1 klesajúca "píla" s parabolickou zložkou v zápornej polarite, takže výsledné napätie  $U_{BE}$  je záporná parabola s malou stúpajúcou pílovitou zložkou, ako je znázorené na obr. 1c. Odpor R3 sme zanedbali, 82k je 2,5x viac než  $X_{c1}$  pre 50 Hz, takže nemá zásadný vplyv na tuto popisované pochody.



Voči členu C1/C2 sme zatiaľ zanedbali aj člen R4-C3-R5. Teraz si činnosť tohto členu vysvetlíme bližšie: R5/R1 je frekvenčne nezávislý delič, avšak R4/C3 je integračný člen, reaktancia C3 je pre 50 Hz asi 6,8 k. Predtým popisaným účinným derivačným členom sme získali na kolektore parabolu. Integráciou paraboly vzniká krvka 3. stupňa, teda v našom prípade "esovité" napätie, pomocou ktorého sa vrchol paraboly sploštuje a jej "svahy" sa stávajú strmšími, tak ako to potrebujeme pre správny priebeh modulačného napäťia  $U_m$  - vid' oscilogram "6V<sub>pp</sub>" na schéme.

Napätie paraboly odoberané z kolektora T1 môže byť upravené pomocou potenciometra RV2, ktorý je časťou mostíkového zapojenia, aby sa zabránilo vzájomnému ovplyvňovaniu s regulátorom šírky obrazu /amplitúdy H, RV3/. /Doplniť si bodku pri kolektore T1,R7,R6,RV2!/.

Nastaviteľné napätie paraboly ako aj jednosmerné napätie od potenciometra RV3 pre nastavenie šírky sú privádzané na bázu tranzistora T2 /PNP, BC 212/. Parabolické napätie včítane js. zložky na kolektore T1 je nižšie, než js napätie na emitore T2. Preto vzniká potrebné kladné predpätie emitora proti báze u T2, aby tento PNP tranzistor mohol viest prúd. Cez odporový reťaz R12-R6-RV1 /prosíme opraviť si hodnotu R12 na 47k!/ a spätnoväzobný odpor R14 je zabezpečené, že k úplnému uzavretiu T2 pri nastavovaní RV2 a RV3 nedôjde /znamenalo by to temer nulové modulačné napätie - vysoký kolektorový prúd T4 a tým príliš veľkú amplitúdu riadkového vychyľovania/.

Cez C8 - 1,8  $\mu$ F a P12 prichádza na bázu T2 v závislosti na nastavení RV1 väčšie alebo menšie pílovité napätie, ktoré čiastočne zošikmuje parabolické napätie na výstupe modulu. Spolu s predošlým tvarovaním paraboly členom R4,C3,R5 je potenciometrom RV1 možné nastaviť symetrický priebeh "splošteného parabolického" napäťia alebo jeho zošikmenie, tj. lichobežníkové skreslenie zvislých hrán rastra, teda vyrovnáť i lichobežníkové skreslenie, vznikajúce v obvodoch riadkového vychyľovania.

Z kolektora T2 je priamo napájaná báza tranzistora T3 a z jeho kolektora báza koncového tranzistora modulátora pre korekciu V-Z T4 - TIP 33A.

Odpor R14 slúži pre zápornú spätnú väzbu a stabilizáciu pracovného bodu: pri zvýšení prúdového zosilňovacieho činitela T4 klesá napätie na jeho kolektore, čo cez R14 dá zníženie napäťia na báze T2, tj. väčší  $I_B$  T2 i T3. Zníži sa tak kolektorové napätie a tým  $I_B$  T4, čím sa vyrovná zmena  $\beta$  T4.

Kolektor koncového tranzistora T4 je pripojený cez vývod modulu č.6 na vstup modulu horizontálneho koncového stupňa, vývod č.14. Kolektoričné napätie pre T4 je dodávané z kondenzátora 13-C7 =  $1,5 \mu\text{F}$ , ktorý sa nabíja činnostou diód D2,D3 na module H koncového stupňa cez tlmičku 13-L5. Parabolické budenie do bázy T4 spôsobuje, že napätie na jeho kolektore má okrem jednosmernej zložky určenej potenciometrom RV3 /ca.+20V/ parabolickú zložku s vrcholom paraboly v negatívnom smere a rozkmitom asi 12 V<sub>šš</sub>. Tým sa chová tranzistor T4 ako premenlivý zatažovací odpor pripojený paralelne ku kondenzátoru 13-C7. Pre bezpečenie normálneho chodu H-koncového stupňa i v prípade, že by sa tranzistor 12-T4 uzavrel pri určitom výnimočnom stave v jeho vybudení, je k tomuto kondenzátoru pripojený odpor 13-R3, 1k.

R G B - zosilňovač, modul 20 FTVP 4413 A COLOR IN LINEIntegrovaný obvod TDA 2530

Tento nový modul má proti staršiemu typu TBA 530 /MBA 530/ výhodu, že pri řom odpadajú niektoré vonkajšie súčiastky a že umožňuje jednoduchšie nastavenie RGB obvodov. Má veľmi dobrú stabilitu js výstupných napäťí, bez toho, že by synchrodemodulátory pre rozdielové signály museli spĺňať príliš prísne podmienky na stabilnosť pracovných bodov. Ďalej má veľmi malý sklon k samokmitaniu a umožňuje nekritické mechanické prevedenie zapojenia, pretože zapojenie pre upínanie úrovne čiernej umožnilo znížiť stupeň zápornej spätej väzby od koncových zosilňovačov.

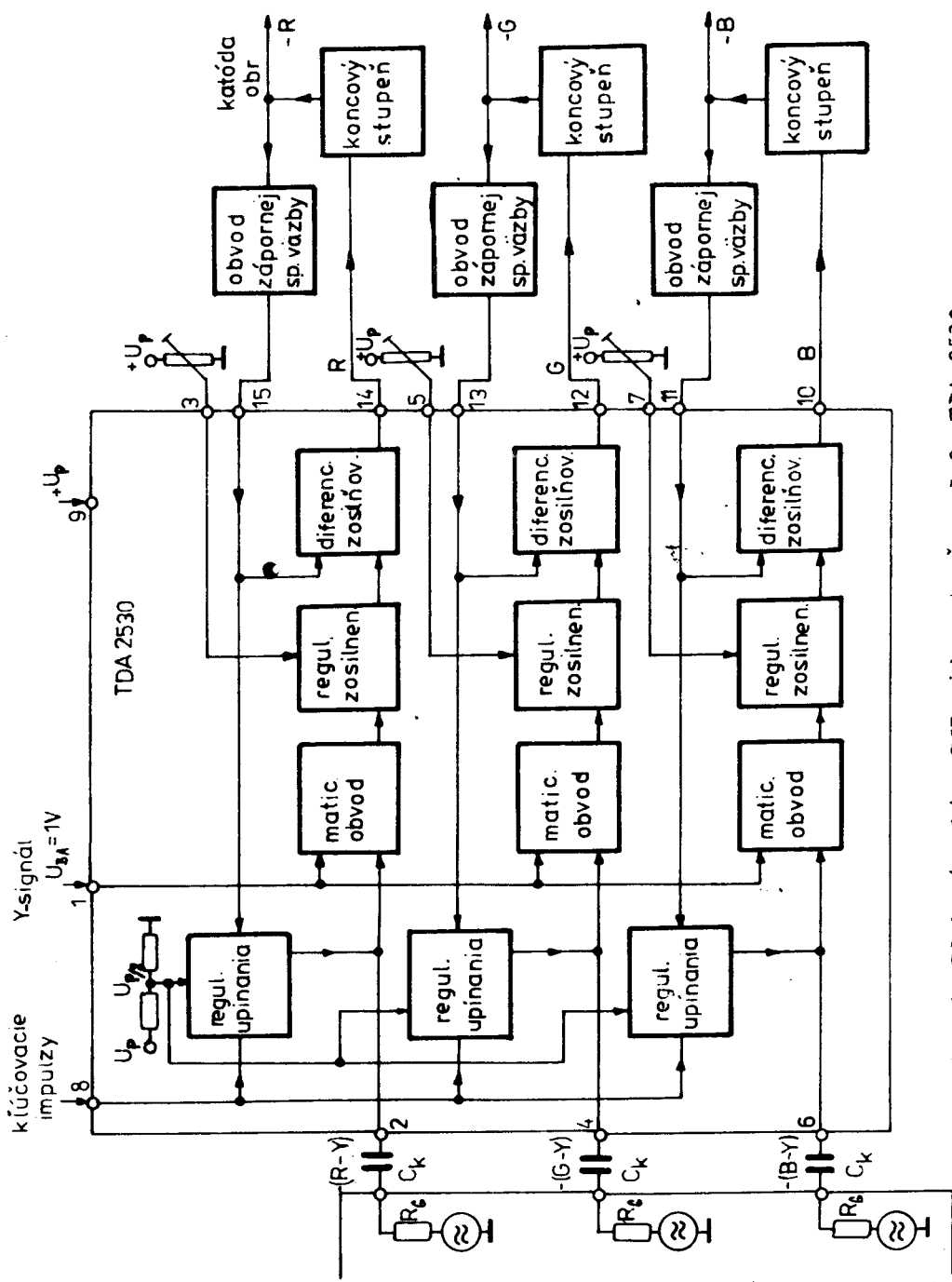
Jeho stupne pre nastavenie bielej sú prevedené formou elektronických potenciometrov s nasledujúcimi vlastnosťami:

- na výstupoch nevzniká žiadny posuv úrovne js napäťia pri nastavovaní zosilnenia
- nastavenie zosilnenia nekritickým regulačným napäťím js umožňuje, aby príslušné trimer-potenciometre sa nemuseli nachádzať priamo na doske RGB modulu, čo opäť uľahčuje mechanické riešenie
- nastavenie záverných bodov systémov obrazovky nemusí byť prevedené len zmenou napäti tieniacich mriežok na obrazovke /čo napokon nie je u obrazoviek nových typov možné/, ale aj privedením vhodných js prúdov do vetvy zápornej spätej väzby bez akýchkoľvek ťažkostí

Podobne ako už u FTVP Univerzál, s IO TBA 530, nie sú použité na výstupe video tranzistory so zapojením v triede A, kde je spotreba rádove 5 až 8 W na každý koncový stupeň, ale zvláštne dvojtaktové zapojenie v triede AB, čo odstraňuje zbytočne veľké zohrievanie súčiastok a umožňuje dnes tak želanú malú spotrebú. Tak isto rozptylové kapacity chladiacich plechov pri pôvodnej vysokej spotrebe a zvýšené rušivé vyzárovanie rádiofrekvencií sa tým zníži. U takýchto dvojtaktových stupňov sa s ohľadom na kapacitné zaťaženie sice zvyšuje stratový výkon so stúpajúcim kmitočtom signálu, avšak i v najnepriaznivejších prípadoch je tento cca. len 30 % stratového výkonu stupňa v A triede.

Blokové zapojenie TDA 2530

V integrovanom obvode TDA 2530, ktorého blokové zapojenie je na obr.1 /nasled. strana/ získavajú sa z jasového signálu Y a z troch rozdielových signálov /R-Y/, /G-Y/ a /B-Y/ farbové signály R, G a B. Okrem niektorých pomocných zapojení, ktoré slúžia hlavne pre napájanie, zostáva zapojenie tohto IO pre spracovanie signálov vo všetkých troch



Obr. 1 Bloková schéma RGB-video stupňa s I.0. TDA 2530

farbových kanáloch z identických dielčích zapojení. V maticovom zapojení sa vytvárajú signály -R, -G, -B a síce tak, že sa od negatívnych rozdielových signálov -/R-Y/ atď. odpočítava jasový signál Y. Na každý stupeň matice sa k tomu účelu privádza z integrovaného obvodu TCA 660 rozdielový signál cez kapacitu /22nF/ a jasový signál je pripojený galvanicky. Menovité hodnoty jasového signálu na šp. 1 IO sú 1 V pre amplitúdu medzi zhášacou úrovňou a maximálne bielymi špičkami signálu a 1,5V pre úroveň /vztažnej/ čiernej. U tejto úrovne ide všeobecne o umelú úroveň, ktorá sa zavádzá do jasového kanálu klúčovaním pri dobe zatemnenia.

V stupňoch pre riadenie zosilnenia, ktoré nasledujú za maticovými stupňami, je možné meniť za účelom správneho nastavenia odtieňa bielej amplitúdu farbových signálov min. o  $\pm 3\text{dB}$ . Jedná sa tu o elektronické potenciometre, ktorých činiteľ prenosu sa dajú nastaviť regulačným jjs napäťim na prívodoch 3,5 a 7 IO. Potrebné regulačné jednosmerné napäťia sú dodávané vonkajšími potenciometrami /20-RV1, 20-RV2/, ktoré sú pripojené na napájacie napätie  $U_p +12\text{V}$ . Signály so správne nastavenými amplitúdami prichádzajú každý na vstup svojho diferenciálneho zosilňovača. Aby boli zabezpečené dobré prenosové vlastnosti koncového stupňa, privádza sa na druhý vstup pre každú farbu výstupný signál konc.stupňa cez vonkajší obvod, ktorý pozostáva v podstate z ohmického deliča napäťia, cez prívod 11,13 resp. 15 ako signál zápornej spätnnej väzby.

Tieto signály zápornej spätnej väzby sa dostávajú tiež na regulačné upínacie obvody, ktoré počas doby zatemnenia sú klúčované impulzami zvonka privádzanými na prívod 8 IO. Počas zatemnenia sa prevádzka porovnanie medzi signálmi spätnej väzby a vnútornou úrovňou, ktorá má polovičné napájacie napätie  $U_p/2$ . Ak existujú rozdiely medzi týmito porovnávanými napäťiami, dodávajú regulačné upínacie obvody korekčné prúdy, ktoré sú zavádzané do vstupov pre diferenčné signály. Za predpokladu dostatočne nízkych vnútorných odporov vonkajších generátorov signálu  $R_G$  na vstupoch rozdielových signálov 2,4 a 6 sa premieňajú tieto prúdy integráciou vo vonkajších väzobných kapacitách  $C_k$  /C5,C6, C7 na module "20"/ na korekčné jednosmerné napäťia, ktoré predstavujú predpäťie pre jednotlivé maticové obvody. Tieto predpäťia pôsobia cez maticový obvod, stupeň pre nastavenie zosilnenia a diferenciálny zosilňovač na koncový stupeň ako aj cez obvody zápornej spätnej väzby späť na vstupy regulačných upínacích obvodov. Počas doby zatemnenia dostávame teda druhý uzavretý obvod zápornej spätnej väzby, ktorý s ohľadom na zosilnenie v stupni regulácie upínania má veľké zosilnenie v spätnovezobnej slučke. Takto sa výstupné napätie koncových stupňov udržiava počas zatemnenia pomocou regulačných upínacích obvodov na hodnote, ktorá násobená deliacim pomerom obvodu zápornej spätnej väzby dáva práve

napätie  $U_p/2$ . Toto pevne nastavené výstupné napätie koncových stupňov odpovedá pri zatemňovaní /umelej/ úrovni čiernej na vstupe Y-signalu. Táto úroveň musí mať určitú definovanú hodnotu, pretože priebeh napäti mimo dobu zatemnenia sa na túto hodnotu vzťahuje. S ohľadom na ľahko prevediteľné klúčovanie zatemňovacích impulzov v jasovom kanáli MCA 660 je možné túto požiadavku bez problémov splniť.

Pretože u nového zapojenia RGB s ohľadom na vysoké slučkové zosilnenie spätej väzby regulácie upínania dosahujeme vysokú stabilitu úrovne čiernej, je možné, aby stále pôsobiaca spätná väzba cez diferenčné zosilňovače bola zredukovaná na hodnotu potrebnú len pre prenos striedavých napätií, čím by bolo možné zvýšiť odolnosť proti vzniku kmitania v obvodoch RGB v porovnaní s TBA 530.

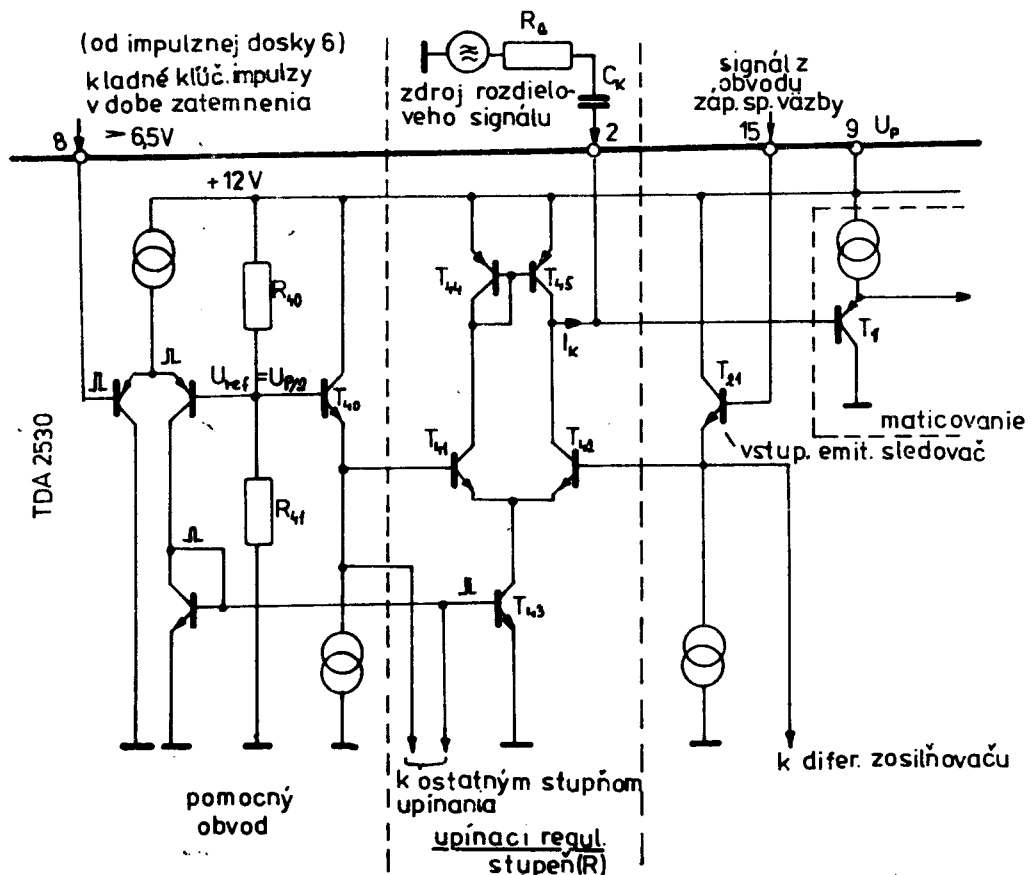
V nasledujúcich odsekoch sa budeme podrobnejšie zaoberať jednotlivými stupňami IO TDA 2530. Text je prekladom dokumentácie zahran. výrobcu a uvádzame ho neskrátene pre záujemcov o podobné detailly riešenia obvodov.

#### Zapojenie pre upínanie úrovne čiernej

Ako sme už uviedli, dosahuje sa vo farbových kanáloch RGB s IO TDA 2530 výborná stabilita pracovných bodov tým, že v obvode zápornej spätej väzby zapojenia pre upínanie je veľké zosilnenie. Pretože sa okrem toho pracovné body jednotlivých zosilňovacích kanálov nevzťahujú na js. úroveň vstupných signálov, ale na vnútorné referenčné js. napätie, nepôsobia kolísania jednosmernej úrovne vstupných signálov rušivo.

Na obr.2 je zjednodušené zapojenie jedného regulačného stupňa upínania. Vlastné porovnávanie napäťia medzi referenčným a spätnovázobným signálom sa deje v diferenčnom zosilňovači T41 - T42 s klúčovaným zdrojom prúdu T 43. Za referenčné js. napätie  $U_{ref}$  bolo zvolené polovičné napájacie napätie  $U_p/2$ . Toto je odvodené z napájacieho napäťia pomocou deliča R 40- R 41 a privádza sa na vstup diferenčného zosilňovača v upínacom regulačnom stupni cez emitorový sledovač T 40.

Na druhý vstup differ. zosilňovača sa privádza cez prívod 15 /resp. 11, 13/ a emitorový sledovač spätnovázobný signál z vonkajších obvodov zápornej spätej väzby. Pri vyklúčovaní sa otvorí generátor prúdu T 43 kladnými impulzami, ktoré prichádzajú na prívod 8, čím dostanú tranzistory T 41 a T 42 svoj pracovný prúd a môže prebiehať porovnávanie napätií. Ak nie je napätie zo spätej väzby rovné nominálnej hodnote  $U_{ref}$ , nie sú rovnaké ani kolektorové prúdy tranzistorov T 41 a T 42 a tak sa zo "zrkadlového" obvodu T 44, T 45 získava rozdiel kolektorových prúdov  $i_k = i_{c41} - i_{c42}$  /ktorý sa pri rovnosti  $U_{b41}$  a  $U_{b42}$  rovná nule/.



Obr. 2

Pôsobenie zrkadlového obvodu:

$T_{44}$  je zapojený ako dióda a  $U_{eb45} = U_{eb44}$ . Ak je  $i_{c41}$  rovný  $i_{c42}$ , tečie preto celý kolektorový prúd  $T_{42}$  cez tranzistor  $T_{45}$ . Ak je pre rozdiel napäti na bázach  $T_{41}$  a  $T_{42}$  napr.  $i_{c42}$  väčší než  $i_{c41}$ , zabraňuje zdroj prúdu  $T_{45}$  pre hore uvedenú rovnosť napäti báza-emitor  $T_{44}$  a  $T_{45}$ , aby rozdiel prúdov  $T_{42}$  a  $T_{41}$  prechádzal cez  $T_{45}$ . Preto sa musí rozdielový prúd  $i_k$  dodávať vykájaním  $C_k$  z vonkajšieho obvodu. Toto sa deje len počas klúčovania, teda po dobu, dlhú približ. ako horizontálne spätné behy. Ide teda o prúdové impulzy, ktoré vytvoria v bode 2 zníženie napäcia. Ak  $U_{b41}$  bude vyššie než  $U_{b42}$ , bude prúd  $i_k$  z  $T_{45}$  naopak nabíjať  $C_k$  a napätie v bode 2 sa zvýši. "Diferenčný" prúd  $i_k$  teda spôsobuje zmeny napäcia na báze emitorového sledovača  $T_1$  na vstupe maticového obvodu a bude spôsobovať, že jeho napätie na jeho emitore bude udržiavané na úrovni, nastavenej regulátormi  $RV_3$  až  $RV_5$  vo vetve spätej väzby.

V dobe medzi klúčovacími impulzami je zdroj prúdu  $T_{43}$  a tým aj  $T_{45}$  uzavretý, takže väzobný kondenzátor  $C_k$  sa nabíja len malým bázovým prúdom vstupného emitorového sledovača maticového obvodu  $T_1$ .

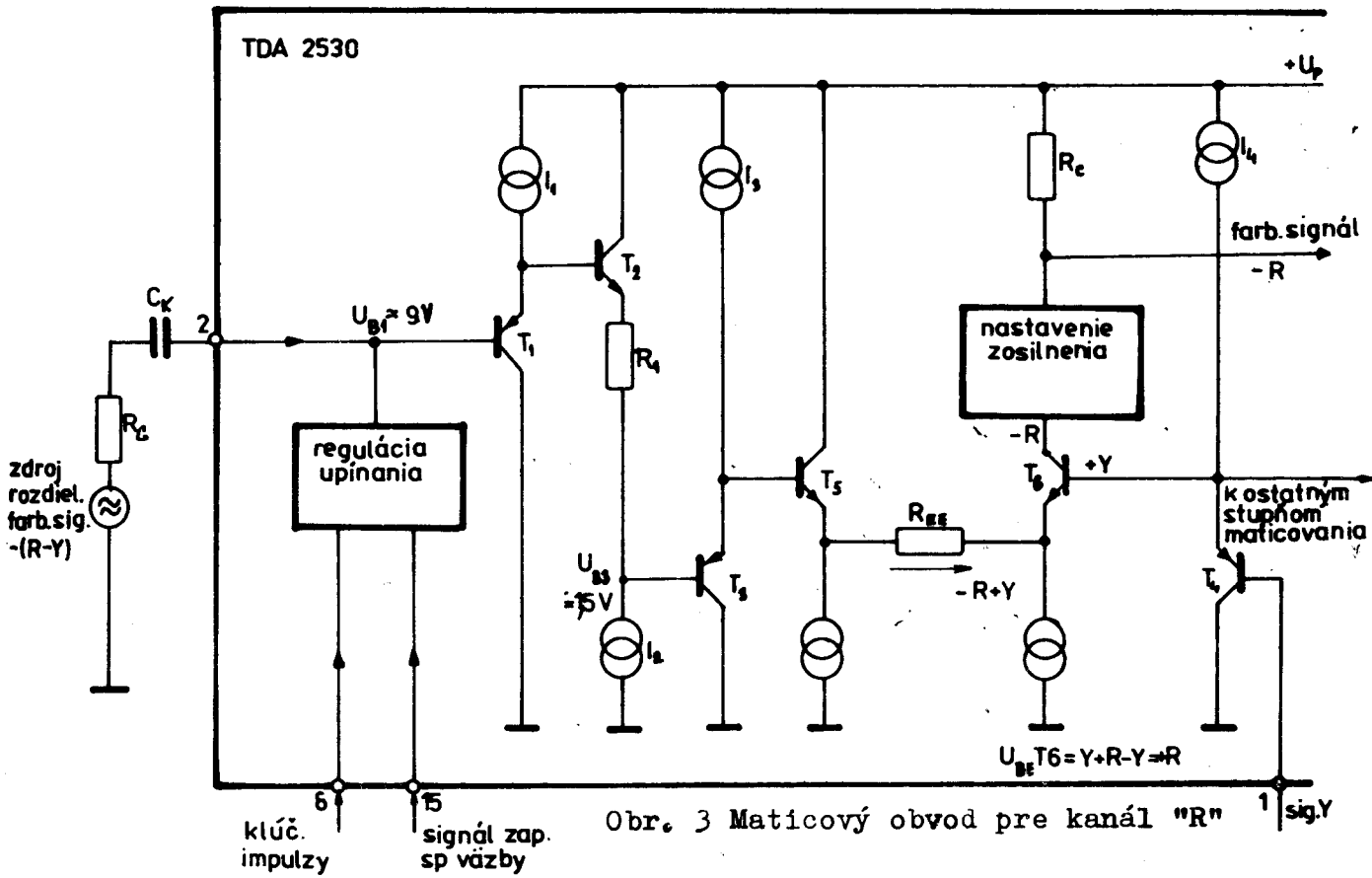
zdroj  
rozdiel.  
fot. sig.  
-(R-Y)

V zabehnutom stave musí byť teda dodávaný impulzný korekčný prúd  $i_k$ , ktorého stredná aritmetická hodnota odpovedá bázovému prúdu  $T_1$ . Týmto stálym malým nabíjaním kapacity  $C_k$  je na predpäťie tranzistorov v matici a tým tiež na napätie koncového stupňa superponované pílovité napätie s kmitočtom horizontálu, ktoré však pri správne dimenzovanom  $C_k$  je tak malé, že neruší.

U korekčných prúdov sa, ako sme už zdôraznili, jedná o impulzné prúdy /typická hodnota  $30 \mu A$ /, ktoré vytvárajú na generátorovom odpori  $R_G$  zdroja differenčných farbových signálov /vo vnútri TCA 660/ impulzné napätie. Tieto predstavujú určité rušenie, zvlášť keď je ich amplitúda veľká a nie je konštantná. Je preto nutné dávať pozor na to, aby odpor generátorov  $R_G$  a tým tiež rušivé napäcia boli dostatočne malé: pri  $R_G$  menších než  $330 \Omega$  budú rušivé napäcia menšie než 1% užitočného signálu a vtedy je možné ich pôsobenie zanedbať. Výstupy TCA 660 tomu odpovedajú - sú to emitorové sledovače.

#### Zapojenie maticových obvodov

V maticových obvodoch sa vytvárajú farbové signály  $-R, -G, -B$  odpočítaváním jasového signálu  $Y$  od záporných rozdielových signálov  $-(R-Y)$  atď. Princíp zapojenia matice jedného kanálu je na obr. 3.



Rozdielový signál, tu ako príklad signál  $-/R-Y/$ , sa privádzza cez väzobný kondenzátor  $C_k$  a vonkajší prívod /v tomto prípade č.2/ na bázu emitorového sledovača T1, ktorého bázové predpäťie  $U_{B1}$  je vytvárané ako sme už popísali, v upínacom obvode. V emitorovej vetve T1 je prúdový zdroj  $I_1$ . Aby zostało už uvedené pílovité napätie, ktoré je superponované na bázové napätie  $U_{B1}$  i pri pomerne malej väzobnej kapacite dostatočne malé a nespôsobovalo žiadne rušenie, je nutné udržiavať bázový prúd  $I_{B1}$  emitorového sledovača T1 čo možno nízkym. So zmenšujúcim sa prúdom však na druhej strane stúpa šum  $1/f$  a klesá prúdové zosilnenie tranzistorového stupňa. Zvolený emitorový prúd  $50 \mu A$  predstavuje vhodný kompromis medzi týmito protichodnými požiadavkami.

Pri normálnej prevádzke a správne pracujúcim upínacom obvode leží napätie  $U_{B1}$  okolo +9 V. Aby bolo možné zapojiť jednoduchšie nasledujúce stupne, bolo nutné zabezpečiť posunutie predpäťia pre ďalší stupeň, k čomu slúži tranzistor T 2, odpor R 1 a prúdový generátor  $I_2$ . Jednosmerná úroveň sa znižuje o spád napäťia  $I_2 \cdot R_1$  a má na báze ďalšieho emitorového sledovača T 3 len cca. 1,5 V. Pre striedavý signál pritom na nižších a stredných kmitočtoch nenastáva žiadny útlm, pretože vstupný odpor emitorového sledovača T 3 a vnútorný odpor zdroja prúdu  $I_2$  sú podstatne väčšie než  $R_1$ .

Len pri vysokých kmitočtoch nad cca. 2 MHz sa signál vplyvom rozptylových kapacít zoslabuje, čo je však v tomto prípade dokonca žiaduce. Rozdielové signály sa takto totiž zbavujú superponovaných harmonických frekvencií spínacích signálov synchrodetektora bez nasadenia vonkajších filtrov.

K vlastnému maticovaniu, tj. vytváraniu rozdielu medzi záporným rozdielovým farbovým signálovým napäťím a jasovým signálom, dochádza v diferenčnom zosilňovači s tranzistormi T5 a T6. Záporný rozdielový signál sa prenáša na bázu T5 cez emitorový sledovač T3 a jasový signál cez prívod 1 a emitorový sledovač T4 na bázu T6. Rozdiel obidvoch signálov, v tomto prípade teda signál  $-R$ , je k dispozícii na zatážovacom odpore  $R_C$  v kolektorovom obvode tranzistora T6 s polaritou potrebnou pre vonkajšiu spätnú väzbu ako signálové napätie k ďalšiemu spracovaniu. Pomocou spätnoväzobného odpory  $R_{EE}$  medzi emitormi tranzistorov T5,T6 bolo nastavené na vhodnú hodnotu napäťové zosilnenie diferenčného zosilňovača, ktoré záleží na pomere  $R_C : R_{EE}$ . Medzi kolektorem tranzistora T6 a pracovným odporom  $R_C$  je ešte zapojený stupeň pre elektronické nastavenie zosilnenia, ktorý popisujeme v nasledujúcim odseku.

### Obvod pre nastavenie zosilnenia

Nastavenie zosilnenia slúži na to, aby sme mohli za účelom správneho nastavenia odtieňa bielej meniť zosilnenie u každého z troch farbových kanálov minimálne o  $\pm 3$  dB. Zjednodušené zapojenie tohto stupňa je na obr. 4.

Tento stupeň pracuje na zásade "krížovo" viazaného differenčného zosilňovača, v ktorom je možné rozdeliť signálový prúd pomocou riadiaceho jednosmerného napäťia na dve nedeliteľné časti k a 1-k. Krížovo viazaný differenčný zosilňovač pozostáva v zásade zo štvorice tranzistorov /T11 až T14/. Na emitory T11 a T13 sa privádza farbovým signálom modulovaný kolektorový prúd tranzistora T6 z maticového obvodu a na emitory T11 a T14 jednosmerný prúd dodávaný z generátora prúdu  $I_5$ . Tranzistory T12 a T13 tejto štvorice sú riadené na svojich bázach cez prívod 3 /resp. 5 alebo 7/ vonkajším nastaviteľným napäťom, pričom bázy tranzistorov T11 a T14 sa nachádzajú na pevnom internom js napäti, takže dochádza k rozdeleniu signálneho prúdu, závislému na regulačnom js napäti:

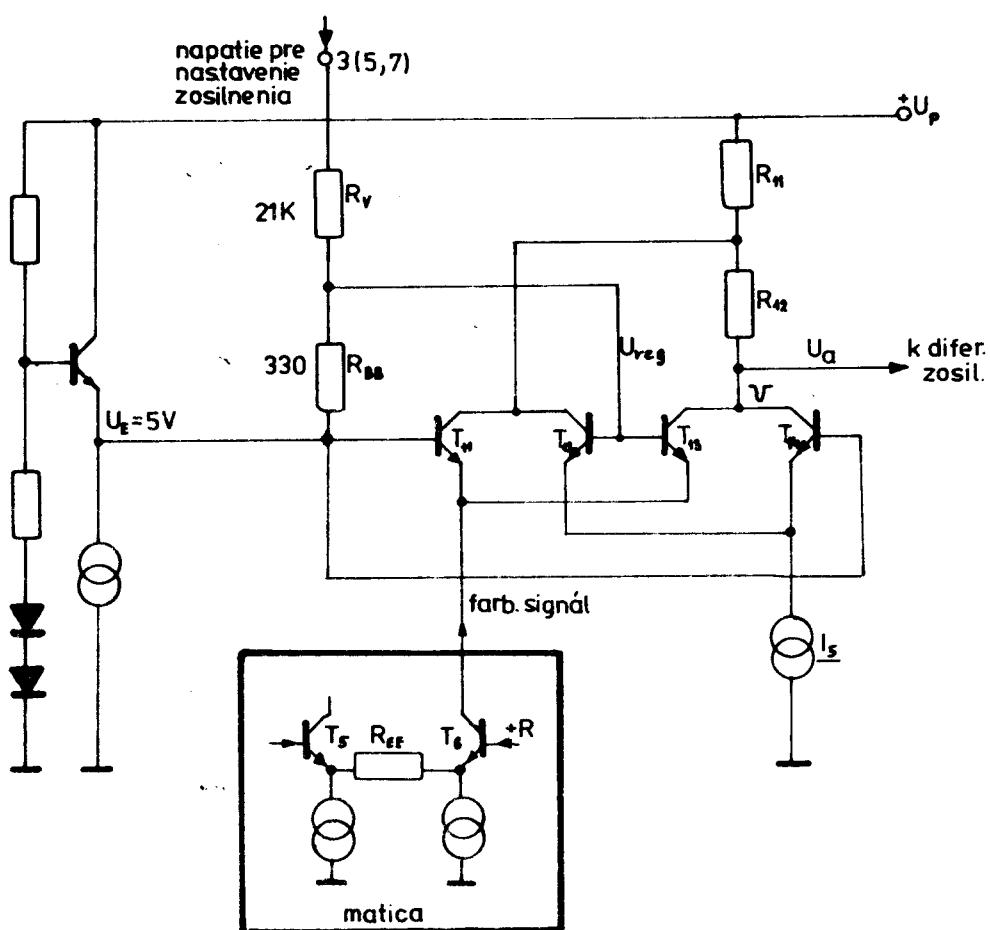
ak sú T11 a T14 uzavreté a teda T12 a T13 vedú "naplno", tečie všetok signálový prúd cez T13, keď sú naproti tomu plne otvorené T11 a T14 a teda T12 a T13 uzavreté, tečie všetok signálový prúd cez T11. Samozrejme je možné i akékoľvek stredné nastavenie medzi týmito extrémnymi prípadmi.

Pretože jednosmerný prúd  $I_5$  bol zvolený rovnako veľký ako kolektorový prúd tranzistora T6, sú kolektorové js prúdy  $(I_{11} + I_{12})$  a  $(I_{13} + I_{14})$  konštantné a nezávisia na regulačnom js napäti, takže zmenou tohto regulačného napäťia nevznikajú žiadne posuvy pracovného bodu. Na druhej strane tečie podiel signálového prúdu T11 cez pracovný odpor R11 a naproti tomu podiel signálového prúdu tranzistora T13 cez sériové zapojenie pracovných odporov R11 a R12, takže výstupné signálové napätie, ktoré sa nachádza na kolektore T13,  $U_a$  a s ním zosilnenie stupňa, závisia od js regulačného napäťia.

$$\text{Platí: } U_a = R_{11} \cdot I_{11\text{sig}} + (R_{11} + R_{12}) \cdot I_{13\text{sig}},$$

z čoho ihned vyplynie pre pomer maximálneho zosilnenia k minimálnemu:

$$\frac{A_u \text{ max}}{A_u \text{ min}} = 1 + \frac{R_{12}}{R_{11}}$$



Obr. 4 Obvod pre nastavenie zosilnenia  
- zjednodušené zapojenie

Vhodnou voľbou hodnôt R<sub>11</sub> a R<sub>12</sub> je teda možné stanoviť rozsah nastavenia napäťového zosilnenia. U TDA 2530 je min.  $\pm 3$  dB voči strednej hodnote.

Z týchto úvah vyplýva, že pôsobenie stupňa pre nastavenie zosilnenia pozostáva jednoducho v tom, že meníme pracovný odpor zakreslený ako R<sub>C</sub> na obr. 3 pomocou vonkajšieho regulačného napäťia medzi hodnotami R<sub>11</sub> a R<sub>11</sub> + R<sub>12</sub>.

Pre celý rozsah nastavenia zosilnenia je potrebné len diferenčné bázové napätie na tranzistorovej štvoricí o hodnote asi 100 mV. Aby sme toto regulačné napätie mohli odoberať priamo z vonkajšieho potenciometra pripojeného na napájacie napätie U<sub>p</sub>, bolo do IO zavedené prispôsobovacie zapojenie. Bázy T<sub>11</sub> a T<sub>14</sub> sú pripojené priamo na vnútorné, tepelne kompenzované napätie 5 V, zatiaľ čo bázy páru T<sub>12</sub> a T<sub>13</sub> sú spojené cez malý odpor R<sub>BB</sub> = 330 ohm s bázami prvého páru a cez odpor R<sub>V</sub> = 21 k s vývodom pre nastavenie napäťia (3,5 alebo 7). Ak nie je tento vývod zvonka na nič pripojený, mají oba páry tranzistorov prakticky rovnaké napätie báza-kolektor a stredné zosilnenie sa nastaví samo. Na druhej strane sa zvonka privedené regulačné napätie zoslabí pôsobením deliča R<sub>V</sub>, R<sub>BB</sub> natoľko, že potrebné vonkajšie napäťia sú medzi 0 V a 10 V, aby sme mohli riadiť zosilnenie v požadovanom rozsahu.

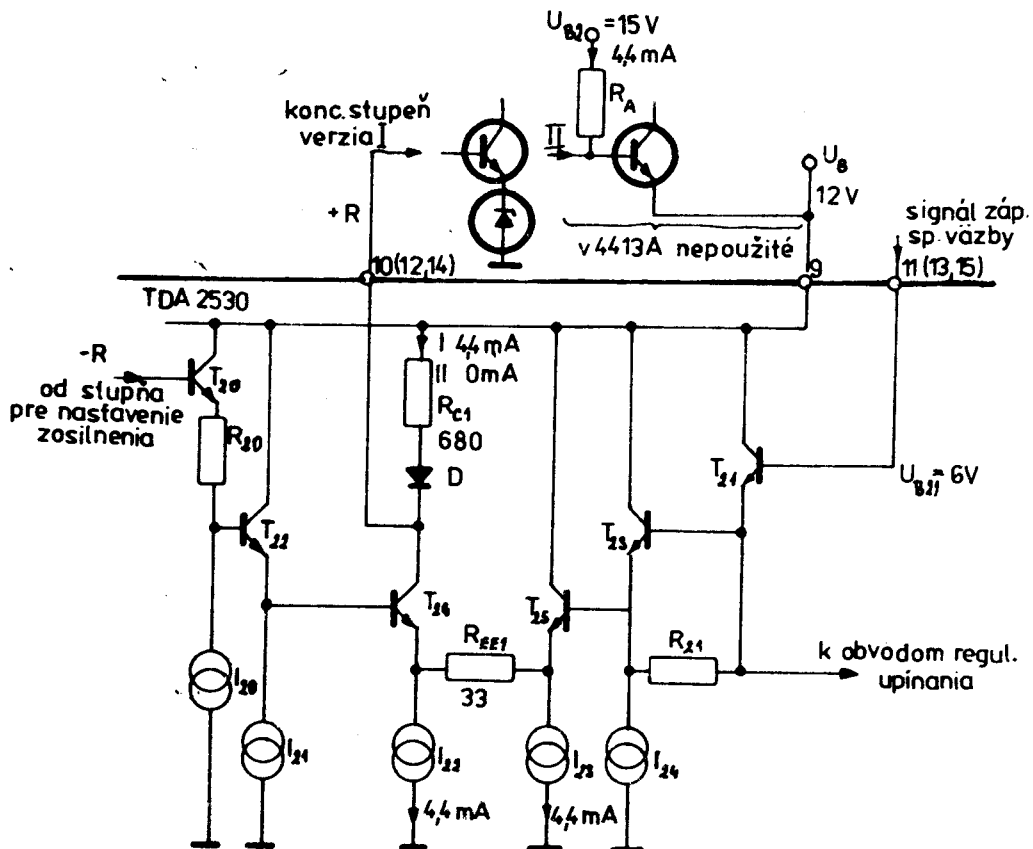
### Diferenčné zosilňovače

Každý z troch diferenčných zosilňovačov nového zapojenia RGB obvodov umožňuje cez zvonka prístupný vstup u každého zosilňovača priviesť do IO spätnoväzobné signály z koncových stupňov. Pomocou delenia napäťia vo vonkajších obvodoch spätej väzby je tak určené napäťové zosilnenie v jednotlivých farbových kanáloch. Okrem toho predstavujú diferenčné zosilňovače v IO TDA 2530 výstupné obvody RGB modulu pre budenie koncových stupňov.

Diferenčné zosilňovače IO TDA 2530 sú rovnako ako príslušné stupne IO TBA 530 usporiadane pre riadenie tranzistorov koncových stupňov do bázy. Na obr. 5 je princíp zapojenia jedného z týchto diferenčných zosilňovačov.

Jeden zo vstupných signálov diferenčného zosilňovača dodáva stupeň pre nastavenie zosilnenia. Vysoká je úroveň napäťia na výstupe regulačného stupňa sa najprv zníži prispôsobovacím zapojením, ktoré sa skladá z tranzistora T 20, odporu R 20 a prúdového zdroja I<sub>20</sub>, ako aj z emitorového sledovača s tranzistorom T 22 a prúdovým zdrojom I 21,

na nižšiu úroveň cca. 6 V. Toto prispôsobovacie zapojenie pracuje rovnakým spôsobom, ako prispôsobovacie zapojenie už popísané v matricovom obvode.



Obr. 5 Diferenčný zosilňovač "R"

Na druhý vstup sa privádza od koncového stupňa cez reťaz zápornnej späťnej väzby a prívod 11,13 alebo 15 spätnoväzobný signál. Za účelom kompenzovania teplotných vplyvov a kvôli symetrii sú na strane privádzania späťnej väzby tiež zapojené dva emitorové sledovače s tranzistormi T 21, T 23 a prúdovým zdrojom  $I_{24}$ .

Vlastný stupeň diferenčného zosilňovača sa skladá z tranzistorov T 24, T 25 a zdrojov prúdu  $I_{22}$ ,  $I_{23}$ , ktoré dodávajú každý j s prúd 4,4 mA. Odpor zápornej späťnej väzby  $R_{EE1}$  ovplyvňuje zosilnenie v spätnoväzobnej slučke cez koncový stupeň a je volený tak, aby skreslenie signálu bolo minimálne. Zosilnenie spätnoväzobnej slučky je tu menšie než u RGB stupňov s IO TBA 530, takže tento nový integrovaný obvod má zvýšenú stabilitu - odolnosť proti kmitaniu.

Výstupné napätie pre budenie koncového stupňa sa odoberá z kolektora tranzistora T 24 v diferenčnom stupni a je vyvedené cez jeden z vývodov 10, 12 alebo 14.

V kolektorovom prívode tohto tranzistora sa nachádza okrem pracovného odporu  $R_{C1} = 680$  ohm ešte dióda D, zapojená v prieplustnom smerе, ktoréj funkciu si ešte vysvetlíme.

Existujú dve rôzne zapojenia koncových stupňov pre budenie pomocou integrovaného obvodu RGB typu TDA 2530. V obidvoch prípadoch sú budené bázy koncových tranzistorov.

Ak na bázach differenčného zosilňovača T24-T25 sú rovnaké j.s predpäťia, tj. pri symetrickej prevádzke, nachádza sa bez ďalších opatrení výstup zosilňovača na j.s úrovni 8,2 V. Pri zapojení koncového stupňa "I" sa za účelom prispôsobenia k tomuto napätiu zdvíha napätie emitora konc. tranzistora pomocou Z-diódy na 7,5 V v prívode emitora, čo je najjednoduchší spôsob, použitý aj v televízore 4413-A.

/Vid' diódu 20-D1 BZ 6,8 na schéme TVP/.

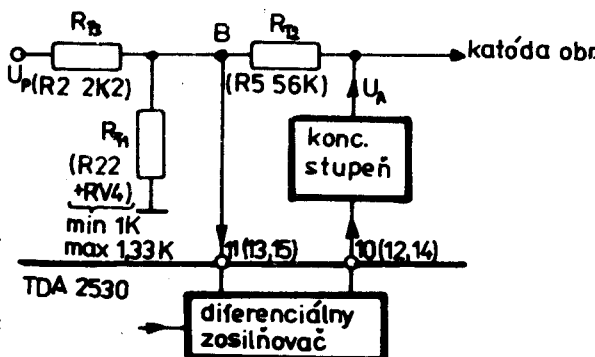
Pri verzii zapojenia č.II potrebujeme dodatočné napájacie napätie  $U_{p2}$  rovné alebo väčšie než 15 V. V tomto prípade je emitor koncového tranzistora pripojený na napájacie napätie  $U_p$ . Pri tomto spôsobe prevádzky je interná dióda D zavretá a odpor  $R_A$  pôsobí ako pracovný odpor v kolektorovom obvode T 24. Aby sa zabezpečila symetrická prevádzka differenčného zosilňovača, musí sa zvolať  $R_A$  a  $U_{p2}$  tak, aby prúd cez  $R_A$  bol 4,4 mA. Musí teda platiť, že

$$R_A = (U_{p2} - U_p - U_{BE}) : 4,4 \text{ mA}$$

#### Zapojenie vonkajších obvodov

Toto je u TDA 2530 veľmi jednoduché. Pre väzobné kondenzátory  $C_k$  20-C5, C6, C7 na vstupoch pre rozdielové farbové signály je použitá doporučená hodnota 33 nF. Vhodné klúčovacie impulzy s amplitúdou  $> 6,5$  V pre zapojenie upínania je možné získať ľahko vhodným deličom zo spätnobežových riadkových impulzov. V našom prípade sa privádzajú z impulznej dosky dekódera, modul č.7. Pre potenciometrické trimre, ktoré dodávajú regulačné napätie pre riadenie zosilnenia, sa osvedčila hodnota 10 kohm.

Pomocou vonkajšieho reťazca spätnej väzby, ktorý v najjednoduchšom prípade podľa obr. 6 pozostáva z troch odporov  $R_{T1}$ ,  $R_{T2}$  a  $R_{T3}$  stanovia sa dve hodnoty a sice zosilnenie striedavých napätií  $A_u$  medzi vstupom differenčného zosilňovača a výstupom vonkajšieho koncového stupňa, ako aj výstupné napätie koncových stupňov  $U_{KS}$  pri zatemňovacích impulzoch /riadkových i snímkových/.



Obr. 6 Jednoduchý obvod zápornej spätej väzby

Pretože napäťové zosilnenie stupňov ležiacich pred diferenčným zosilňovačom /zapojenie matice a stupeň regulácie zosilnenia/ je pri strednom nastavení zosilnenia približne rovné jedničke, predstavuje zosilnenie určené spätnou väzbou,  $A_u$ , stredné celkové zosilnenie pre každý kanál celého zapojenia IO TDA 2530. Potrebné zosilnenie  $A_u$  je asi 100.

Pri klúčovaní sa udržuje pôsobením regulačného upínacieho zapojenia napätie na odpore  $R_{T1}$  na hodnote  $U_p/2$ , takže sa musí v túto dobu tiež výstupné napätie koncového stupňa  $U_{KS}$  nachádzať na určitej úrovni, závislej na obvode zápornej spätej väzby. Aby sme mohli zvoliť napätie  $U_{KS}$  nezávisle na striedavom napäťovom zosilnení  $A_u$ , privádzsa od napájacieho napäťa  $U_p$  cez odpor  $R_{T3}$  prúd  $I_3 = U_p/(2R_{T3})$  do uzlového bodu napäťového deliča  $RT1$ ,  $RT2$ . Pre napätie  $U_{KS}$  vyplýva z rovníc pre spätnoväzobný retazec

$$U_{KS} = \frac{U_p}{2} \cdot \left( 1 + \frac{R_{T2}}{R_{T1}} - \frac{R_{T2}}{R_{T3}} \right)$$

Zosilnenie striedavého napäťa  $A_u$  je temer rovné obrátenej hodnote činitelia spätej väzby, teda rovné obrátenej hodnote pomery napäti deliča z odporov  $R_{T2}$  a  $R_{T1} // R_{T3}$  tj.

$$A_u = 1 + \frac{R_{T2}}{R_{T1} // R_{T3}}$$

Z obidvoch posledných rovníc sa dajú vypočítať pomery odporov  $R_{T1}/R_{T2}$  a  $R_{T3}/R_{T2}$  v závislosti na  $A_u$  a  $U_{KS}$ , platí:

$$\frac{R_{T1}}{R_{T2}} = \frac{1}{\frac{A_u}{2} + \frac{U_{AS}}{U_p} - 1}$$

$$\frac{R_{T3}}{R_{T2}} = \frac{1}{\frac{A_u}{2} - \frac{U_{AS}}{U_p}}$$

Pri zvolení jedného z odporov  $R_T$ , napr.  $R_{T2}$  je ľahké vyrátať ostatné hodnoty podľa uvedených vzťahov.

Pre nastavenie závernych napäti  $U_{KS}$  pre obrazovky s integrovanými systémami /ako A67-701x a 670 QQ 22/ musí sa zabezpečiť variabilné napájanie prúdom do uzlového bodu zapojenia sp.väzby. Vhodný obvod uvádzame nižšie, obr. 7.

Pre korektúru kmitočtového priebehu môže byť okrem toho vhodné pripojiť paralelne k odporu  $R_{T1}$  kapacitu alebo RC-sériový člen. Týmto opatrením je možné zvlášť kompenzovať pôsobenie rozptylových kapacít pri pomerne veľkom odpore  $R_{T2}$ . V našom prípade ide o členy C2-R17, C3-R21, C4-R27.  $R_{T2}=R_5$ ,  $R_{T1}=RV3+R18$ , atď.

#### Nastavenie odtieňa bielej

S ohľadom na rozptyly v strmostiach charakteristík systémov a účinnosti luminoforov obrazovky je nutné pre dosiahnutie správneho odtieňa bielej prispôsobiť budiace napäťia čo do ich amplitúdy voči sebe navzájom.

Pri zapojení RGB stupňa s IO TDA 2530 je toto bez problémov, pretože sú v tomto IO zaradené stupne pre nastavenie zosilnenia, ktorých zosilnenie sa dá pomocou vonkajších js napäťí medzi 0 až 10 V na prívodoch 3,5 a 7 meniť minimálne o  $\pm 3$  dB. Je možné používať pri nastavení bielej jeden farbový signál ako vztažný /referenčný/, takže u neho môže nastavenie amplitúdy odpadnúť. Ak necháme vývod pre pripojenie js regulačného napäťia pre túto farbu nezapojený /v televízore 4413-A je to vývod č.5 - zelená/, bude mať tento kanál stredné zosilnenie. Takýto vývod však môže byť pripojený tiež na kostru, čím dostaneme maximálne zosilnenie v tomto kanáli.

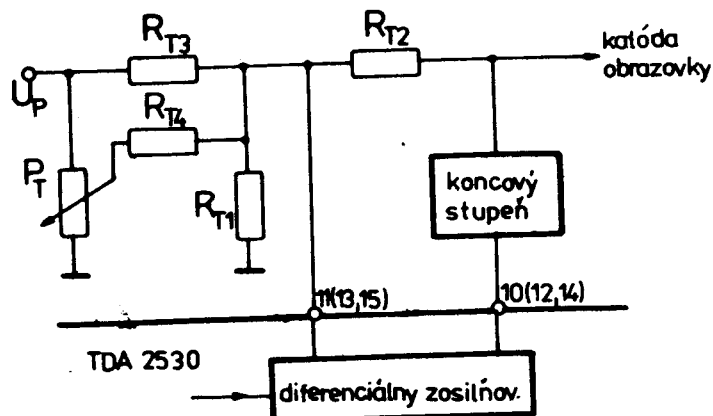
#### Nastavenie úrovne čiernej

Počas zatemňovacích impulzov, kedy koncové stupne odvádzajú práve úroveň čiernej  $U_{KS}$ , musia byť všetky systémy obrazovky v bode násadenia záverného napäťia, tj. katódové prúdy musia pri napätiach  $U_{KS}$  práve zaniknúť. Pretože vplyvom vždy existujúcich rozptylov systémov obrazovky ako aj u budiacich zapojení táto podmienka normálne nie je splnená, musí sa previesť nastavenie: bud' zmenou napäťí tieniacich mriežok, tj. ich prispôsobením k napätiám  $U_{KS}$  alebo u integrovaných

obrazovkových systémov / s jediným napäťím spoločným pre všetky tri tieniace mriežky/, prispôsobením napäťa  $U_{KS}$ . V tomto prípade musia mať koncové stupne o niečo vyšší rozsah pre napätie  $U_{KS}$  /možnosť vyššieho vybudenia/ aby sme dostali potrebný nastavovací rozsah a teda musia mať o niečo vyššie napájacie napätie.

Popíšeme si spôsob nastavenia  $U_{KS}$  pri spoločnom napätí tieň. mriežok:

Napäťia  $U_{KS}$  sa dajú meniť, ako už uvádzame v časti "Zapojenie vonkajších obvodov", privádzaním j s prúdu do uzlového bodu zapojenia zápornej sp.väzby. Pre nastavenie závernych napäti je najvhodnejšie použiť dodatočný nastavovací prúd, ktorý môže mať záporné i kladné hodnoty, aby bolo možné nastavovanie vychádzajúce zo strednej hodnoty  $U_p$  do obidvoch smerov. Vhodné zapojenie je naznačené na obr. 7. Pretože pri klúčovaní, tj. v dobe zatemňovacích impulzov, má uzlový bod napätie rovné polovici napájacieho  $U_p/2$ , môžeme privádzat doň cez potenciometer, zapojený medzi kostrou a napájacím napätiom  $U_p$ , kladné alebo záporné korekčné prúdy. Zapojenie má ešte tú výhodu, že pri dostatočne malom pomere medzi odporom potenciometra  $P_T$  a sériovým odporom  $R_{T4}$  sa mení zosilnenie striedavých napäti  $A_u$  len veľmi málo zmenou nastavenia  $U_{KS}$ .



Obr. 7 Príklad obvodu zápornej sp. väzby s meniteľným nastavením

Toto zapojenie nie je v televízore 4413-A použité, sériové zapojenie /napr. v R-kanále/ RV4-R22 / $=R_{T1}$ /, ktoré tvorí s R20 / $=R_{T3}$ / je delič napäťia, umožňuje nastaviť potrebný kladný alebo záporný rozdiel proti  $U_p/2$ .

Poznámka:

Tento podrobny popis odpovedá dokumentácii výrobcu IO TDA 2530. Keďže je zaujímavý, prehľadne spracovaný a dobre zrozumiteľný, uviedli sme ho neskrátene, s pripojením poznamok, týkajúcich sa špecificky zapojenia FTVP 4413-A. To samozrejme neznamená, že tieto podrobnosti musí každý opravár týchto televízorov poznáť.

Koncové stupne video

Koncové stupne video slúžia na budenie obrazovky. Šírka pásma každého koncového stupňa by mala byť 4 MHz pre útlm 1 dB, tj. väčšia než dosahuje OMF zosilňovač, aby sa zabránilo tomu, že prípadné rozdielne šírky pásma jednotlivých RGB stupňov spôsobia farebné chyby pri detailoch obrazu. Pri tom je potrebná amplitúda na katódach obrazovky  $U_{BA}$  asi 100 V pre max. bielu a zatemňovaciú úroveň. Signály do katód majú zápornú polaritu, teda -R, -G, -B, max. jasu odpovedá minimálne napätie.

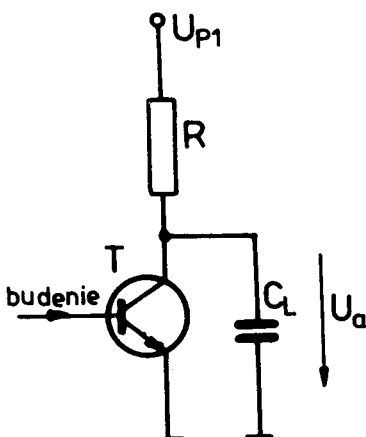
Pre návrh koncových stupňov video je veľmi dôležitý fakt, že záťaž je tu kapacitná – bežné kapacity obrazovky a rozptylové kapacity mechanického zapojenia dávajú spolu asi 15 pF, pričom činný odpor – daný katódovými prúdmi obrazovky – je natol'ko vysoký, že prakticky koncové stupne nezaťažuje.

Je účelné, aby koncové stupne boli budené od pomerne značne zosilňujúceho diferenčného zosilňovača a aby z ich výstupu bol privádzaný cez príslušný napäťový delič na jeden zo vstupov diferenčného zosilňovača spätnoväzobný signál. Silná spätná väzba zabráni nelineárnemu skresleniu, linearizuje frekvenčný priebeh a stabilizuje pracovný bod. Okrem toho sa jej pomocou dá riadiť vhodným nastavením napäťového deliča zosilnenie striedavých napäťí /pre nastavenie odtieňa bielej/ a pri použití regulačných upínacích obvodov i výstupná úroveň čiernej.

Pre budenie koncových stupňov video je určený už popísany integrovaný obvod TDA 2530.

V minulosti sa pre video používali jednočinné koncové stupne triedy A, ktorých principiálne zapojenie je na obr. 8.

Cez tranzistor T a kolektorový odpor R tečie klúdový prúd. Vybijanie zatažovacej kapacity  $C_L$  ide cez tranzistor T, ale jej nabíjanie cez odpor R.



Obr. 8 Zjednodušená schéma zapojenia koncového stupňa triedy A

Aby nabíjanie prebiehalo dostatočne rýchlo, musí sa zvoliť hodnota  $R$  dost nízka. Toto však s ohľadom na veľkú potrebnú výstupnú amplitúdu signálu  $U_a$  a k tomu potrebné vysoké napájacie napäťie  $U_{B1}$  koncového stupňa má za následok vysoký kľudový prúd a tým aj veľký stratový výkon.

Priebeh jednosmerného stratového výkonu tranzistora  $P_{Tjs}$  /pri nulovom striedavom signálovom napäti,  $U_a=0$ / a celkového jednosmerného stratového výkonu koncového stupňa v triede A,  $P_{cjs}$ , v závislosti na jednosmernom výstupnom napäti  $U_A$  je znázornený na obr. 10a.

Celkový stratový výkon

$$P_{cjs} = U_{B1} \cdot \frac{U_{B1} - U_A}{R}$$

klesá s pribúdajúcim napätim na výstupe  $U_A$  od hodnoty, ktorá v praxi je niečo nad 8 W až na nulu, pričom stratový výkon tranzistora  $P_{Tjs}$  má v závislosti na  $U_A$  priebeh tvaru paraboly:

$$P_{Tjs} = U_A \cdot \frac{U_{B1} - U_A}{R}$$

a dosahuje maximálnu hodnotu pri  $U_A = U_{B1} : 2$

$$P_{Tjs \ max} = \frac{U_{B1}^2}{4R}$$

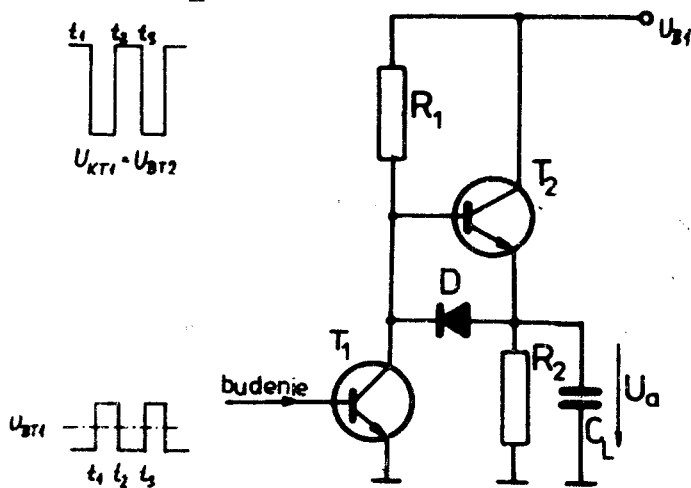
Pretože stredný obsah obrazu odpovedá najčastejšie strednému stupňu šedej, pričom sa práve jde výstupné napätie rovná približne polovici napájacieho napäťia, pohybuje sa prevádzka tranzistora najčastejšie pri tomto maxime.

Za predpokladu zanedbatelných skreslení nezávisí celkový stratový výkon  $P_c$  na výstupnom striedavom napäti. Stratový výkon tranzistora  $P_T$  sa naproti tomu pri symetrickom vybudení znižuje a nie je závislý na kapacitnej zátaži.

Vysoký stratový výkon jednočinných koncových stupňov v triede A je nežiadúci z dôvodov, ktoré sú natoliko jasné, že ich netreba zvlášť uvádzat. Nevýhodám takého riešenia sa môžeme vo veľkej miere vyhnúť, ak použijeme miesto jednočinných stupňov dvojčinné stupne, u ktorých /pri nižších kmitočtoch/ sa nenabíja zatažovacia kapacita  $C_L$  cez odpor, ale cez druhý tranzistor. Podľa toho, či pri "statickom" stave, tzn. bez zmeny signálu, tečie obidvoma tranzistormi kludový prúd alebo nie, ide o triedu AB alebo B. V našom prípade používame zapojenie v triede AB, ktorého zásadná schéma je na obr. 9 a v ktorom sú použité dva rovnaké tranzistory NPN. Pre signály nízkofrekvenčné pracuje toto zapojenie v triede A s tranzistorom T1 a za ním nasledujúcim emitorovým sledovačom, tranzistorom T2. Kolektorový odpor R1 u tranzistora T1 sa tu môže zvoliť značne väčší, než by bolo u normálneho koncového stupňa v triede A, pretože zatažovacie kapacity " $C_t$ ", ktoré musia byť nabíjané cez R1, sú omnoho menšie, než zatažovacia kapacita  $C_L$ . Aj emitorový odpor R2 u tranzistora T2 môžeme zvoliť pomerne veľký a sice z nasledujúceho dôvodu:

Pri vyšších signálových kmitočtoch, kedy sa nemôže zatažovacia kapacita  $C_L$  dosť rýchlo vybiť cez R2, poklesne napätie na báze T2 napokon tak nízko, že sa T2 uzavrie a stane sa vodivou dióda D, ktorá umožní rýchle vybíjanie  $C_L$  cez ňu a cez tranzistor T1.

Pri vysokých kmitočtoch teda pracuje konc.stupeň dvojčinne v protitakte: nabíjanie  $C_L$  sa deje cez T2, vybíjanie cez T1.



Obr. 9 Základná schéma zapojenia koncového stupňa triedy AB s dvoma rovnakými tranzistormi NPN.

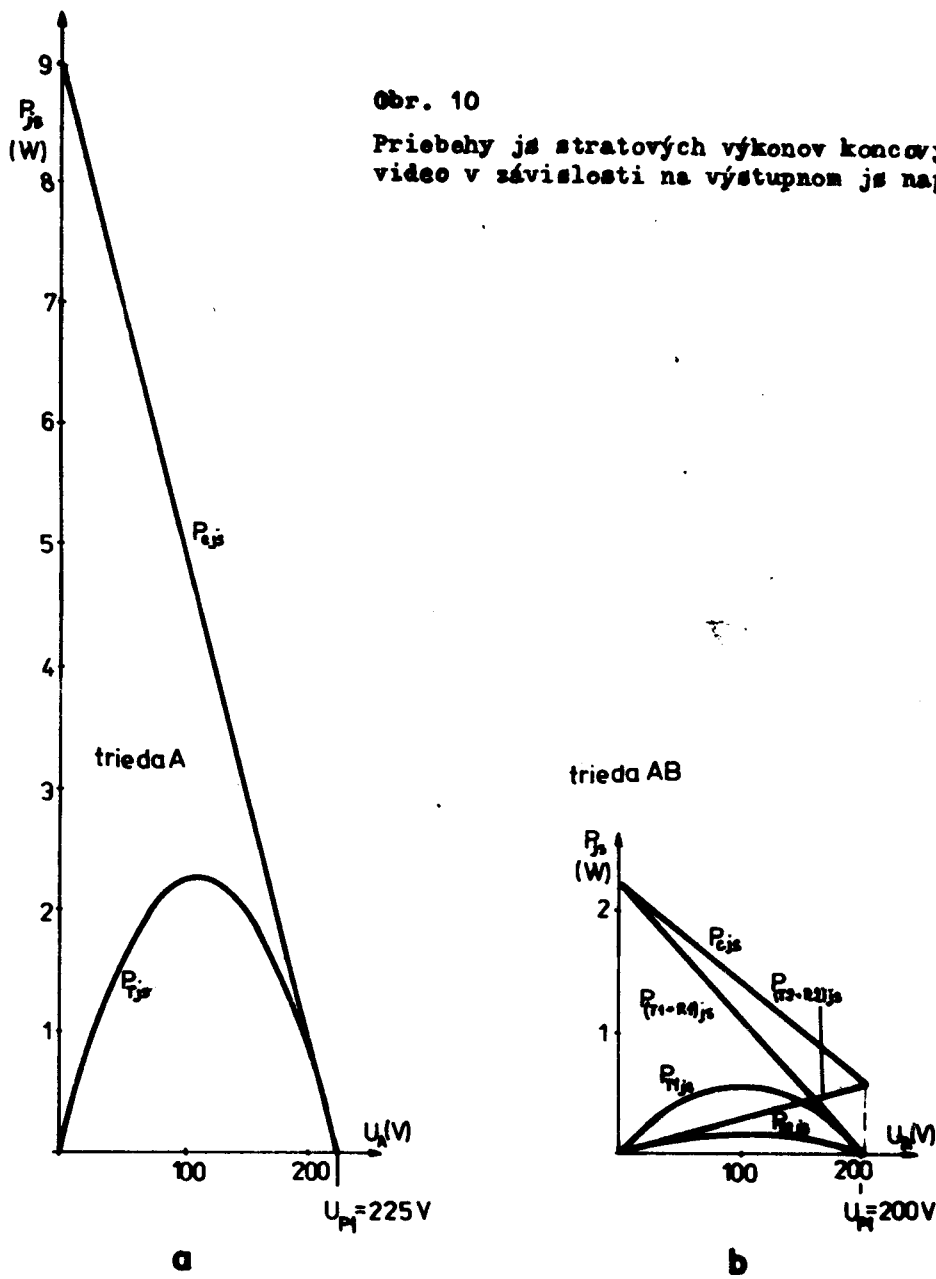
Priebeh signálu pri vyšších kmitočtoch, kedy R2 je ommožno vyšší než reaktancia  $C_L$  :

Pri vzostupnej hrane signálu na báze T1, v čase  $t_1$ , sa otvorí T1 a znížením jeho kolektorového napätia sa zatvára T2.  $C_L$  sa teda musí vybíjať cez R2.  $C_L$  sa pri predchádzajúcej klesajúcej hrane signálu v čase  $t_0$  / a podobne v čase  $t_2$  / nabíl rýchlo cez T2, ktorý mal vtedy na báze vysoké kladné napätie. Dióda D bola zatvorená. Pri signáloch s nízkym kmitočtom, teda pomaly stúpajúcimi hranami signálu, vybije sa  $C_L$  včas cez R2, takže dióda sa neotvorí. Toto sú však skôr výnimkové prípady - bežný obraz má natoľko ostré kontúry, že signál obsahuje vysoké kmitočtové zložky, takže R2 je príliš veľký, než aby sa C2 mohol dostatočne rýchlo vybíjať. V dobe  $t_1$  / a  $t_3$  atď. / stúpa prúd T1, teda klesá napätie na báze T2. Akonáhle  $U_{BT2}$  sa priblíži napätiu  $U_a$  na  $C_L$ , tj. aj. na emitore T2, zavrie sa T2. Keď  $U_{BT2}$  dosiahne hodnotu menšiu asi o 0,6 V než  $U_a$ , otvorí sa dióda D a súčasne otvoreným T1 sa rýchlo vybija cez  $C_L$ .

V prenose signálu medzi bázou T1 a katódou obrazovky, tj. kapacitou  $C_L$ , nastáva však "mŕtva zóna", pretože medzi kladným rozdielom  $U_{BT2}$  proti  $U_a$  cca. 0,6 V a rovnakým záporným rozdielom, teda v priebehu klesania napäťa na kolektore T1 o cca. 1,2 V, sú zatvorené dióda D i tranzistor T2 a vybíjanie  $C_L$  sa deje jedine cez príliš vysoký odpor R2. Pri dostatočne silnej zápornej spätej väzbe pre striedavý signál, ktorá je tu s ohľadom na vysoké zosilnenie v diferenčnom zosilňovači IO TDA 2530 i na vysoké zosilnenie samotného koncového stupňa zabezpečená, sa toto v priebehu signálu na katódach obrazovky vôbec neprejaví. /Pojmu "otvorený tranzistor" je treba rozumieť tak, že tranzistor predstavuje pomerne malý odpor - stupeň otvorenia samozrejme závisí na amplitúde signálu/.

Koncový stupeň triedy AB môže byť tiež konštruovaný s komplementárnymi tranzistormi, T1 bude potom NPN a T2 PNP, pričom odpadá dióda D. Keďže nám sa jedná o popis zapojenia v televízore Tesla 4413-A, nebudeme sa týmto zapojením, podobne ako ani koncovým stupňom v triede B, zaoberať.

Na obr. 10b je znázornený priebeh stratového výkonu pre dvojčinný stupeň v triede AB, pri ináč rovnakých podmienkach ako u priebehu pre jednočinný stupeň v triede A. Z priebehu celkového stratového výkonu  $P_{cjs}$  vyplýva, že nie je sice nikdy nulový /cca. 0,7W pri  $U_A = U_{B1}$  /, avšak že pri maximálnom jase, kedy  $U_A$  sa blíži nule, je len cca. 2,3 W.



Je nutné však upozorniť, že znázornené stratové výkony sa týkajú stavu bez striedavých signálov: čím vyššie kmitočty obsahuje signál, tým vyššie sú prúdy cez tranzistory, potrebné pre nabíjanie a vybíjanie zátaže  $C_L$ . Stúpajú tým teda stratové výkony v tranzistoroch a s nimi aj celkový stratový výkon. I tak však zostáva pri akomkoľvek signále tento výkon podstatne pod hodnotami u jednočinných stupňov.

Pre tento dynamický stratový výkon platí, že stúpa úmerne s kmitočtom, zatažovacou kapacitou, amplitúdou signálu a so strednou hodnotou napájacieho napäcia  $/U_{BS}/$ .

Pre sínusový signál o kmitočte 5 MHz vyjde dynamický stratový výkon tranzistorov  $P_{dyn,T}$  0,8 W pri  $C_L = 15 \text{ pF}$   
 $U_a = 100 \text{ V}$  šš  
 $U_{Es} = 105 \text{ V}$

Rozdeluje sa na obidva tranzistory a príčita sa k ich statickému výkonu. /Uvedený príklad je krajný, pretože v praxi je max. kmitočet i amplitúda signálu pri ňom nižšia/.

Z obr. 10a, b, vidíme, že v najčastejšom prípade "stredného" statického napäťa  $U_A = U_{B1} : 2$  s pripočítaním dynamického výkonu obidvoch tranzistorov stále ešte je celkový stratový výkon menší než polovica stratového výkonu pri jednočinných koncových stupňoch.

Na schéme FTVP 4413-A sú tranzistory pre R-signál označené obrátene, než na obr.9. Pre nízke kmitočty a js zložku je T2 na schéme zosilňujúcim tranzistorom s uzemneným emitorom /cez Zenerovu diódu D1, ktorej účel bol už vysvetlený, premostenú kondenzátorom C1 220n/. T1 je pre nízke kmitočty a js zložku emitorovým sledovačom. Odpor R1 zo schémy na obr.9 tvoria dva odpory po 12k v sérii /20-R1 a 20-R3/, odpor R2 je R5 56k v sérii s odporom R20, R22 a RV4, ktoré sú však proti hodnote R5 zanedbatelné. Indukčnosti L1-L3 v sérii s odporom 1k /R4,R9, R14/ slúžia k linearizovaniu prenosovej charakteristiky, odpory R2, R7,R12 /2k2/ majú ochrannú funkciu.

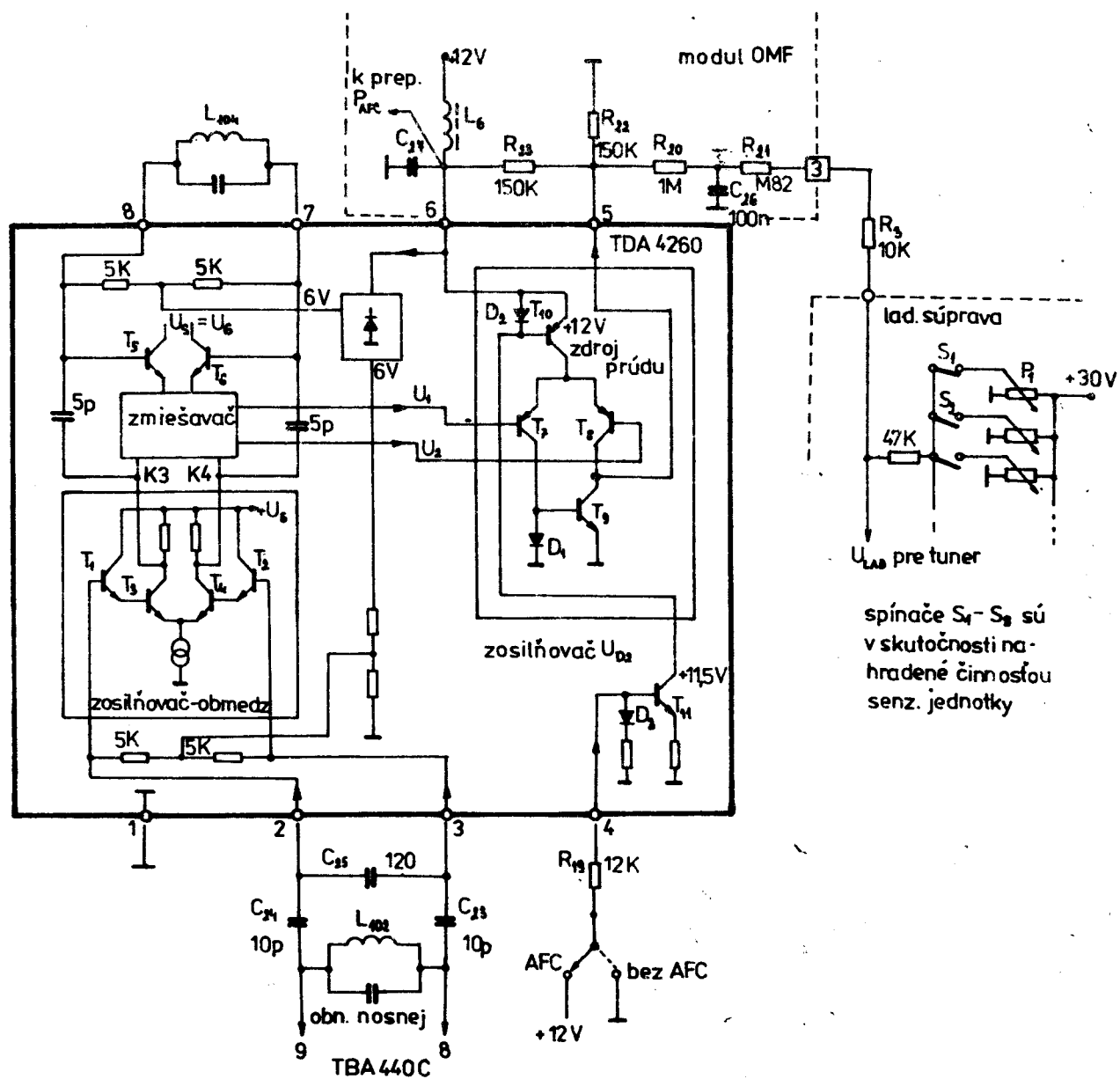
#### Automatické doladovanie kmitočtu oscilátora /AFC/

Pre AFC je použitý integrovaný obvod TDA 4260, ktorého bloková schéma s podrobnejšie naznačenými dôležitými obvodmi je na nasledujúcom obrázku.

Na symetrické vstupy diferenciálneho zosilňovača - obmedzovača, naznačeného obvodom s tranzistormi T1 až T4, šp.2 a 3 IO, sa privádzajú signál z obnovovača nosnej vlny OMF, cez kondenzátory 2-C23, C24, 10pF. Vstupy 2, 3 sú premostené kondenzátorom 2-C25 120 pF, čím sa vhodne upravuje amplitúda vstupného signálu a súčasne zabraňuje tlmeniu a prípadnému ovplyvneniu nalaďenia obvodu obnovovača nosnej vstupou impedanciou IO TDA 4260.

Z kolektorov T3 a T4 prichádza čo do amplitúdy i fázy konštantný signál na vstupy zmiešavača, označené K3 a K4. Jeho kmitočet samozrejme závisí na nalaďení oscilátora v tuneri a úlohou AFC je nalaďiť ho vhodným napäťom z výstupu IO TDA 4260 tak, aby sa rovnal čo naj-

presnejšie menovitej nosnej obrazu /v tomto prípade výnimocne 38,9 MHz, keďže TVP 4413 A je odvodený z prijímača pre normu B/G CCIR/. Treba však poznamenať, že vplyvom tolerancií v nalaďení OMF a ostatných, prevažne mimo televízor ležiacich podmienok, môže byť optimálne nalađenie niečo odlišné - často sa optimálny obraz a zvuk dosahuje napr. pri tak nastavenom oscilátore, aby nosná obrazu bola potlačená o niečo viac ako 6 dB proti vrcholu krivky. S tým treba rátat aj pri doladovaní obvodu D 10N, 2-L104, ktoré rozhoduje o kmitočte nosnej obrazu v OMF pri zapojenom AFC.



Obr. 11 Zapojenie obvodov AFC

Na druhé vstupy zmiešavača, cez emitorové sledovače T5, T6 sa pri-vádzajú fázove natočené signály /samozieme dalej v protifáze, ako už na vstupoch 2, 3/, kde uhol natočenia fázy proti signálom v bo-doch K3-K4 závisí na kmitočte signálu z OMF. Zapojenie zosilňovača - obmedzovača, zmiešavača i obvodu pre natačanie fázy s kondenzá-tormi 5 pF a vonkajším rezonančným obvodom D 10N odpovedá v prin-cípe zapojeniu IO TBA 120 U, resp. A 220 D od vstupu až po tran-zistory T31 ... T34 včítane T35 a T36 /viď techn. informáciu č. 32, popis FTVP Univerzál, str. 16/.

Obvod D 10N-L104 je naladený tak, aby pri presne naladenom oscilá-tore bolo natočenie fázy signálov na bázach T5 a T6 práve  $90^\circ$  proti signálom na vstupoch K3 a K4 zmiešavača. V ideálnom prípade sa ladí teda na nominálnu nosnú obrazu, ak dynamický odpor rezonančného ob-vodu D 10N je mnohonásobne nižší než reaktancia kondenzátorov 5pF.

Pretože priamy, kmitočtovo nezávislý signál na vstupoch K3, K4 v zmiešavači prichádza /napr./ na emitory príslušných tranzistorov a signál s fázou závislou na kmitočte na bázy týchto tranzistorov, bude výsledný prúd cez tieto tranzistory v zmiešavači pri nominálnej frekvencii nosnej obrazu v svojej strednej hodnote polovičný z maximálne možnej hodnoty a pri odchýlke kmitočtu do jednej strany napr. nižší než polovičný a do druhej strany opäť vyšší. Pri silnom rozladení môže dôjsť k tomu, že prúd zmiešavacieho tranzistora bude prakticky nulový alebo naopak maximálny možný, daný nastavením pracovného bodu tohto tranzistora. Zapojenie je symetrické - na výstu-poch zo zmiešavača, tj. na bázach tranzistorov T7 a T8 bude pri no-minálnej frekvencii nosnej rovnaké napätie a pri odchýlkach od nej napr. na báze T7 nižšie a na báze T8 o rovnaký zlomok voltu vyššie.

Aby sme lepšie porozumeli činnosti zosilňovača doladovacieho napäťia  $U_{DL}$ , preberieme si najprv príklad, kedy máme AFC vypnutú. Jej vypnu-tie je dané tým, že prepínač AFC spojuje odpor R19, 12k, s kostrou prijímača, teda na báze tranzistora T11 nie je napätie. Tento je preto zavretý a neumožňuje, aby pretekal bázový prúd tranzistora T10. Tým sú vypnuté /bez zdroja prúdu/ i tranzistory T7,8,9. Na vý-vode č.5 IO je teda napätie, daré vonkajším deličom R23/R22 /po 150k/, teda pri napájacom napätií 12V práve 6V. Napájanie 12V je stabilizované v module sietového dielu ešte dodatočne integrovaným obvodom MC 7812, čo práve potrebujeme pre stabilnosť napäťia pre varikapy, s ktorým je zdroj 6V  $\pm U_{DL}$  spojený cez delič. Ladiaca jednotka je teda na-dená tak, aby sme dosahovali optimálny obraz pri vypnutom AFC a do-dávke napäťia +6V od vývodu 5 IO TDA 4260 cez filtračné odporu 1M,

820k a odpor 10k do vývodu č.3 modulu OMF.

Ked' bude kmitočet nosnej obrazu príliš nízky, bude príliš nízky kmitočet oscilátora. Ten sa zvýši zvýšením napäťia pre varikapy, ktoré ako je známe, pracujú v závernom smere a s vyšším napäťom predstavujú nižšiu kapacitu. Pri zapnutom AFC teda potrebujeme na vývode 5 IO napätie vyššie než 6V.

Zapnutím AFC sa stal vodivým T11 i T10. Prúd T10 je nastavený vhodne zvolenou hodnotou vnútorného odporu v emitore T11. Hodnota vonkajšieho bázového odporu pre T11, 2-R19 12k, je predpísaná výrobcom IO.

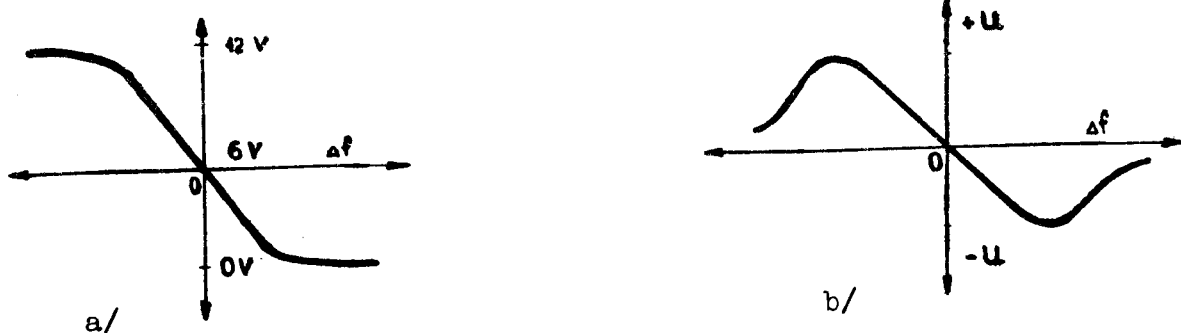
Pri správnom naladení oscilátora /v ideálnom prípade pri rovnosti  $f_{res}$  D10N a  $f_{n.omf}$ / budú U1 a U2 sebe rovné. Prúd cez T8 má tendenciu zvýšiť zo zdroja 12V cez T10 napätie na R22, ale súčasne prúd T9, daný prúdom T7, odčerpáva napätie z bodu 5 a znižuje časť emitorového prúdu, ktorý dodáva na R22 tranzistor T8. V rezultáte sa napätie v bode 5 nezmení /odchýlky v toleranciach zúčastnených súčiastok v IO vyrovnáva prispôsobenie naladenia L 104. Napätie z vývodu 5 musí byť čo najstabilnejšie a závisiť iba na potrebnom doladení oscilátora. Preto nesmie naň vplyvať zmena teploty okolia /v opačnom prípade by dochádzalo v závislosti na momentálnej teplote v okolí IO TDA 4260 k rozladaniu predtým správne nastaveného obvodu AFC v tom zmysle, že by pri zapnutí AFC došlo i pri správnom kmitočte oscilátora k zmene napäťia v bode 5, a teda napr. k zniženiu ostrosti obrazu/. Vplyv zmien teploty znižujú diódy D1-D2-D3.

Zdroj napäťia +12V je stabilizovaný. Pri zvýšení teploty majú, ako je známe, tranzistory tendenci pri rovnakých napätiach  $U_{BE}$  zvyšovať bázový a kolektorový prúd i prúdový zosilňovací činitel. Pri rovnakom napäti však aj diódy odoberajú väčší prúd. Keďže D1 a D3 sú zapojené paralelne k úsekom báza-emitor tranzistorov, znižujú pri zvýšenej teplote bázové prúdy, čím zamedzujú zvýšeniu kolektorových prúdov i zosilňovacieho činitela B.

Ked' napr. pri príliš nízkom kmitočte nosnej obrazu v OMF má dôjsť k jeho zvýšeniu na správnu hodnotu, musia varikapy v tuneri dostať vyššie napätie, aby predstavovali nižšie hodnoty kapacít a tak zvyšovali frekvenciu oscilátora. V bode 5 musíme mať teda vyššie napätie než 6 V, k čomu musí byť  $U_2$  na báze T8 nižšie než  $U_1$  na báze T7. Cez T8 potečie potom vyšší prúd, cez T7 nižší /ich súčet bude rovnaký, čo je dané spoločným prúdovým zdrojom T10/. T9 bude predstavovať vyšší odpor, prúd dodávaný cez T8 na R22 prevýši prúd odoberaný z deliča R23/R22 tranzistorom T9 a napätie  $U_5$  bude teda vyššie než 6V, ako potrebujeme.

Podobne, iba opačne, tomu bude pri priliš vysokom kmitočte nosnej vlny.

Pretože pri doladovaní vychádzame z kladného napäťa 6V, nemôže dochádzať k tomu, že by pri určitom zmysle rozladenia bolo napätie  $U_5$  záporné - je len nižšie než 6V, ale vždy kladné. Toto zabezpečuje naskočenie správnej funkcie AFC v každom prípade a netreba pred prepnéním programov AFC vypínať. Tiež kmitočtovo-napäťová charakteristika tohto kmitočtového diskriminátora je výhodnejšia než u bežného diskriminátora, kédže nemá okrajové časti, kde je závislosť  $U/df$  pri väčšom rozladení opačná, než potrebujeme.



Obr. 12 Charakteristika  $U/df$

a/ detektora TDA 4260  
b/ bežného fáz.-detektora

### Prepínač SECAM - PAL, modul č. 5

Rozoznávanie medzi vysielaním v systéme Secam a Pal zabezpečuje integrovaný obvod TCA 640 na module č.5, ktorý je tu trvale pripojený na režim pre prijem Secam - má uzemnené prívody 4 a 16. Vývody 12 / $f_{H/2}$ / a 13 /burst Pal/ nie sú použité. Výstupy 1 a 15 sú viazané so vstupmi 3 a 5 za účelom jas. zápornej spätej väzby podobne ako pri použití IO TCA 640 priamo v dekóderi, ale signál sa z nich nevyvádzza.

Farbonosné signály prichádzajú na vstup 3 cez kondenzátor 5-C1 10pF z emitora tranzistora 4-TR1. Na vývody 6 a 7 sú privádzané impulzy H a V, pričom impulzy H sú zúžené a fázove posunuté na dobu po H-synchronizačných impulzoch tak, aby na výstup 11 prichádzal signál len v dobe, keď je vysielaný pri Pal farbový synchronizačný signál "burst" a pri systéme Secam striedavo nemodulované farbonosné kmitočty 4,25 MHz /B-Y/ a 4,406 MHz /R-Y/.

Pretože TCA 640 pracuje v režime Secam, má plné zosilnenie. Na bode 11 je pripojený rovnaký LC-obvod ako pri normálnom použití v dekóderi, naladený na farbonosnú B-Y 4,25 MHz. Je vhodné tento obvod po nastavení na maximálny rozdiel signálu v bode 11 medzi jednotlivými riadkami nastaviť na niečo nižší kmitočet, aby sa využívali k diskriminácii S-P tiež modulované signály identifikačných impulzov v dobe vertikálneho zatemňovacieho impulzu.

Pri signále Secam sa vytvorí na vývodoch 9 a 10 rozdiel j.s. napäťia  $/U_9$  je ca. o 0,2 V vyššie než  $U_{10}/$ . (Vid popis obvodov FTVP Univerzál, techn. informácia č. 32, str. 22-25).

Vo vnútri IO sú preto zavreté tranzistory T 53, T 44-46 a T 58. Na vývode 8 je také napätie, aké privádzame cez odpor R9 5k6, to je +12 V, pretože medzi kostrou a vývodom 8 je vysoký odpor zavretého T 58. Preto nevzniká žiadny rozdiel napäťia medzi emitorom a bázou vonkajšieho tranzistora TR1, takže je i tento zavretý a na výstupe č. 1 z modulu 5 /kolektor TR1/ je nulové napätie. Týmto sú všetky prepínacie miesta integrovaných obvodov a ostatných na vlastnom dekóderi udržiavané v režime Secam.

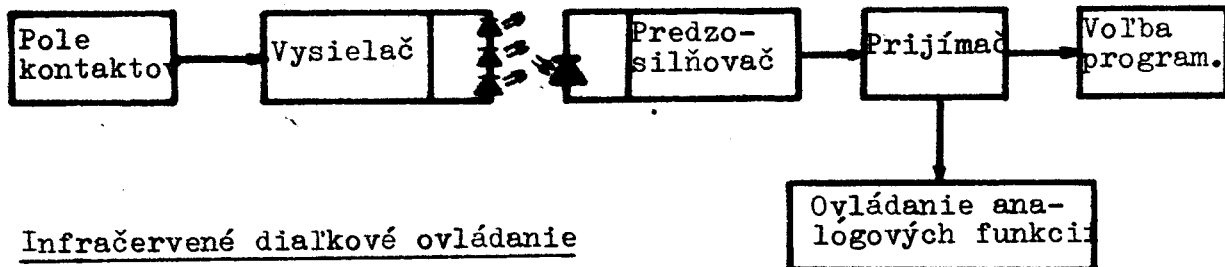
Pri príjme podľa systému Pal nevzniká medzi vývodmi 9 a 10 IO TCA 640 žiadny rozdiel napäťia, takže je otvorený T 53 a ten otvára i reťaz T 44-46 a T 58. Napätie v bode 8 je blízke nule, TR1 sa vysokým bázovým prúdom cez R 10 22k otvorí do saturácie, takže na jeho kolektore je takmer +12 V, čo prepína režim dekódera na systém Pal.

Je treba upozorniť, že i bez signálu, prípadne pri príliš slabom signále, bude dekóder prepnutý na Pal.

## Dialkové ovládanie FTVP

### 1. Všeobecne

TV prijímač je ovládaný diaľkovým ovládaním, kde prenosovým médiom povelov je infračervené svetlo. Eloková schéma tohto diaľkového ovládania je na obrázku.



Stlačením tlačidla na poli kontaktov sa vytvorí vo vysielači elektrický signál, zodpovedajúci zvolenému povelu, ten je prenesený infra - diódami na výstupe na infračervené svetlo, pomocou ktorého sa prenáša k prijímaču. Prijímacia dióda na vstupe prijímatej časti infračervené svetlo opäť premení na elektrický signál, ktorý sa zo silní predzasilňovačom a postupuje do prijímača, kde je spracovaný a prijímač vykoná požadovanú inštrukciu. Týmto ovládaním možno ovládať FTVP do vzdialenosťi 15 m.

### 2. Vysielač

Vysielač je osadený IO SAB 3210 fy Siemens a zapojený podľa doporučenia výrobcu. Jeho schéma je v prílohe. Vyrába povelys pulzne - kódovou moduláciou na frekvencii cca 30 kHz /je to  $f_{CLK} : 2$ , teda polovičná frekvencia hodinového oscilátora integrovaného obvodu SAB 3210, pripojeného na svorky 17,18/. Inštrukcie sa vytvárajú v IO spojení v rade so stípcom na kontaktovej matici. Inštrukcia má formu 7-bitového slova:

1 štart-bit + 6 bitov - predstavujú samotnú inštrukciu. Štart-bit slúži na rozlíšenie ovládaného systému, preto je možné v jednom priestore súčasne ovládať aj rádio a TV prijímač. Pred každou inštrukciou sa vysielá tzv. predsignál, ktorý pripraví prijímač na prijatie inštrukcie. Jedna inštrukcia predstavuje 7 ms. Pokým trvá spojenie riadku so stípcom, opakuje sa inštrukcia každých 120 ms.

Po skončení spojenia sa vyšle tzv. end - inštrukcia /koncová, tiež 7-bitová/, ktorá signalizuje prijímaču, že tlačidlo je uvoľnené.

SAB 3210 môže vytvoriť až 60 inštrukcií (z toho 32 pripojením jedného zo štyroch stípcov na jeden z ôsmich riadkov, a ďalších 28 inštrukcií pripájaním stípcov na dva riadky súčasne pomocou vonkajších diód). V našom zapojení sa vysiela 17 povelov /viď odsek "Prijímač"/. Pracuje v širokom rozsahu napájacích napäti /5-16V/ a má malú prúdovú spotrebu /typ. 3mA, max. 5mA/.

Koncový tranzistor vo vysielacom obvode je pripájaný na 9V batériu len počas vysielania inštrukcie.

### 3. Prijímač

Prijímačom infračerveného svetla je dióda BPW 34, ktorá ho premení na elektrický signál. Energia klesá kvadraticky so zväčšovaním vzdialenosťi a preto je potrebné korigovať úroveň prijímaného signálu tak, aby mohol byť ďalej správne spracovaný. Toto sa deje hned na vstupe IO TDA 4050, ktorý je zapojený podľa doporučenia výrobcu a slúži ako predzosilňovač /od 0 do 100 kHz/ pre prijímač diaľkového ovládania. /Viď v schéme zapojenia v I.zväzku/.

Signál sa upravuje tak, aby mal vždy úroveň 1 V<sub>ss</sub>. Ak je jeho hodnota vyššia, tak sa obmedzuje, ak je nižšia, zosilní sa. Zosilnenie je možné do 80 dB. Táto regulácia je navrhnutá tak, aby bola zodpovedajúco rýchla, aby hned prvý bit bol správne prenesený.

Prijímač I.Č. diaľkového ovládania je osadený IO SAB 3209, ktorý je zapojený podľa doporučenia výrobcu. Jeho schéma je v prílohe.

Tento prijímač je schopný preniesť 60 inštrukcií a z nich vyhodnotiť 32 /v tom volbu 16-tich programov/. V našom prípade sa používa:

- volba 8 programov
- zapínanie /vypínanie do pohotovostného stavu
- regulácia hlasitosti ±
- regulácia jasu ±
- regulácia farebnej sýtosti ±
- okamžité stiahnutie hlasitosti na nízku úroveň
- normálové hodnoty analógových funkcií /jas, hlasitosť, farebná sýtosť/

Volba programu sa deje v našom prípade výberom 1-8, IO umožňuje i postupnú volbu /program sa volí po krokoch + alebo - pripočítaním alebo odpočítavaním na kruhovom čítači v IO SAB 3209/.

Výstupná informácia sa prevádzka z BCD-kódu na svorkách 5,6,7 IO SAB 3209, na kód 1-10 pomocou integrovaného obvodu SN 7442. Tento signál je spracovaný senzorovou jednotkou s integrovanými obvodmi SAS 560S a SAS 570S, ktoré vykonajú výber žiadaneho predvoleného programu.

Ovládanie hlasitosti, jasu a farebnej sýtosti sa deje pomocou troch pamäti analógových hodnôt vo vnútri IO SAB 3209.

Informácia na výstupoch týchto pamäti /špičky 11,13 a 14 IO SAB 3209/ má formu obdĺžnikových impulzov s  $f=1$  kHz, ktorých šírka je meniteľná v 64 krokoch. Vo vonkajšom dolnopásmovom filtri sú impulzy menené na jednosmerné napätie, jeho úroveň je prispôsobená bázovými odpormi na vstupoch emitorových sledovačov tak, aby zodpovedala rozsahom regulačných napäťí pre IO MCA 660.

Pri povele "normál" sa pomocou masky nastavia analógové pamäte tak, že pomer šírky obdĺžnikových impulzov k dĺžke periody ( $\nu$ ) je:

$$\nu_{\text{hlasitosť}} = \frac{1}{3}$$

$$\nu_{\text{jas}} = \nu_{\text{farebnej sýtosti}} = \frac{1}{2}$$

Ked' napájacie napätie rastie od nuly, analógové funkcie sú tiež nastavené na "normál".

Špička 12 slúži ako vstup/výstup pre uvedenie TVP do pohotovostného stavu, t.zn., že len zdrojová časť prijímača diaľkového ovládania je pripojená na 220 V~ a zdrojová časť TVP je od 220 V~ odpojená. Ked' stúpa napájacie napätie od nuly, prijímač sa uvedie do pohotovostného stavu, preto je nutné na krátky okamžik špičku 12 uzemniť, aby sa zrušilo H<sub>1</sub> na tomto výstupe. To sa uskutočňuje pomocou mikrospínača, umiestneného na sietovom vypínači. Zrušením H<sub>1</sub>-stavu na špičke 12 zatvorí sa tranzistor T7. Tranzistor T6 je otvorený, do relé tečie prúd a kontakty, ktoré prepájajú zdrojovú časť TVP na 220 V~, sú spojené.

Ked' do prijímača DO príde povel pre zapojenie TVP do pohotovostného stavu, na špičke 12 bude stav H, tj. +13,5 V. Týmto napätim sa otvorí tranzistor T7, T6 sa zatvorí, cez relé netečie prúd a kontakty pre pripojenie zdrojovej časti TVP na 220 V~ sa rozpoja - prijímač DO je v pohotovostnom stave. (Kladné napätie na výstupoch IO označujeme "H" a nulové, resp. zbytkové napätie "L").

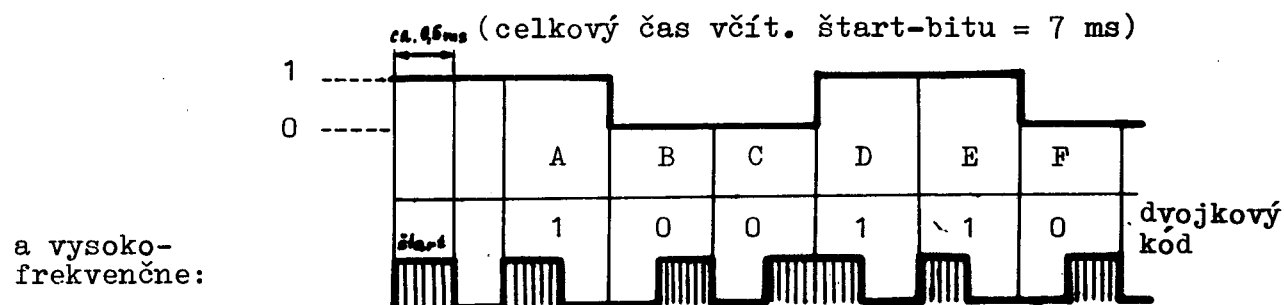
Na špičky 2,3 je pripojený taktovací generátor s frekvenciou rovnakou ako na vysielači.

## Prenášanie povelov

Ak má vysielač napr. vyslať povel pre prepnutie na určitý program, ktorému prislúcha 6-bitové "slovo" 011001, spojí sa príslušným tlačidlom stípec "b" - špička 3 IO SAB 3210 - s riadkom "7" - šp. 15. Za 20 ms po stlačení tlačidla vyšle sa rad impulzov, odpovedajúci predsignálu, za ďalšie 4 ms štartovací bit a po ňom už bezprostredne príkazové "slovo". V dobe medzi vyslaním predsignálu sa automatické zosilnenie v predzosilňovači, IO TDA 4050, približne prispôsobí sile prijímaného signálu, takže už príkazový signál nebude vôbec skreslený alebo v extrémnejších prípadoch veľkej alebo príliš malej vzdialenosťi vysielača od prijímača nebude už skreslený ďalší nasledujúci príkazový signál - tento sa opakuje tak dlho, zatiaľ držíme tlačidlo stlačené, každých 128 ms.

V binárnom číslicovom kóde vyzerá signál včítane štartovacieho bitu teda v našom prípade 1011001. Predsignál odpovedá tiež číslici 1. "Nosnou vlnou" sú tu obdĺžnikové impulzy s opakovacím kmitočtom cca. 30 kHz, s pomerom trvania impulzu k opakovacej perióde "ný"  $\gamma = 0,25$ , čo je optimum z hľadiska odolnosti proti šumu a spotreby batérie vo vysielači. Trvanie jedného bitu je cca. 1 ms a modulácia "nosných" impulzov je fázová, to znamená, že ich amplitúda sa nemení. Jednička odpovedá 0,5 ms vysielania impulzov a 0,5 ms prestávky /infračervená dióda nevysiela/, nula má naopak prvých 0,5 ms prestávku a potom sa 0,5 ms vysielajú impulzy.

Najprv sa vysielala najnižší rád, teda signál odpovedajúci bitu A, takže inštrukcia 011001 v kóde FEDCBA bude vyslaná postupne v čase ako 100110 a spolu so štart-bitom vyzerá nízkofrekvenčne takto:



Vyčiarkované plochy: vysielajú sa impulzy s kmitočtom ca. 30 kHz a  $t_i:T = \gamma = 0,25$ . Každý rad impulzov má 16 týchto nosných impulzov, pri prechode z 0 na 1 ich je za sebou 32.

Uvedený rad sa teda spolu s "predsignálom" opakuje každých 128 ms, dokial tlačidlo nepustíme. Po jeho uvolnení sa buď ihned alebo po ešte jednom zopakovani /čo záleží na presnom okamihu prerušenia spojenia stípec-riadok/ príkazu vyšle koncová inštrukcia /včítane štart-bitu, je to 1011111/. Je jasné, že príkazové slovo záleží na tom, ktoré tlačidlo sme stlačili - tak napr. pre zvyšovanie hlasitosti potrebujeme vyslať "101000", tj. spojiť stípec "a" s riadkom 3 a 8 /k tomu slúži dióda D-006/. Vidí tabuľku na nasledujúcej strane /71/.

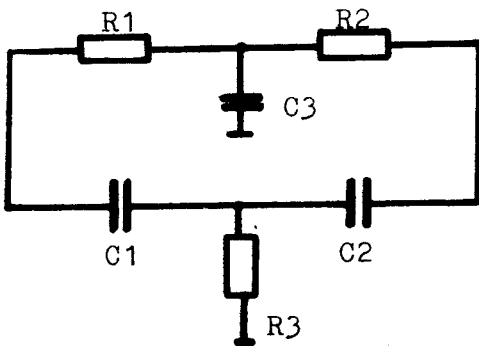
Takto modulované impulzy infračerveného /IC/ žiarenia vyslané infra-LED diódami vysielača a prijímané infra-fotodiódou BPW 34 na vstupe predzosilňovača DO, sa v predzosilňovači pomocou jeho "AVC" udržujú po zosilnení na úrovni 1V /v prípade extrémne silných signálov sa na vstupe predzosilňovača obmedzujú/.

Šírka pásma predzosilňovača je asi 4 kHz. Naladenie na ca. 30 kHz je dané dvojitým /premosteným/ T článkom R6,C7,R7/C5,R9,C4 pripojeným vo vetve zápornej spätej väzby medzi vývody 4 a 5 IO TDA 4050. Podobné dvojité T-články majú na "rezonančnom" kmitočte maximálny útlm, teda pri zapojení do zápornej spätej väzby má zosilňovač na tomto kmitočte max. zosilnenie. Tento článok je nie len potrebný na to, aby sa eliminovali ostatné, rušivé frekvencie, ktoré by sa mohli dostať na prijímač, ale bez neho by sa aj obvod s TDA 4050 nutne rozkmital, pretože zisk medzi vstupom a výstupom /šp.8 a 3/ je asi 100 dB bez AVC. Rozsah regulácie zosilnenia AVC je 80 dB a sice medzi šp.8 a 4. Zo špičky 4 prichádza signál na detektor pre AVC, kde dochádza k porovnávaniu jeho amplitúdy s referenčnou úrovňou. Na filtráciu zdetekovaného signálu slúži kondenzátor 3,3 μF pripojený na šp.2 IO. Výstupný IC signál sa ešte zosilňuje vnútorným tranzistorom a vystupuje na šp.3. Pred IO TDA 4050 je ešte zaradený tranzistor BC 414 C s nízkym šumom, aby DO bezpečne reagovalo i pri vzdialenosťi vysielača, aká už s ohľadom na pozorovanie televízie prakticky nebude využívaná.

Poznámka k dvojitému T-článku: kmitočet max. útlmu

$$f_k = \frac{1}{2\pi C_1 R_1}$$

za predpokladu, že  $C_3 = 2 \times C_1$ ,  $R_3 = 0,5 R_1$ ,  $R_1 = R_2$  a  $C_1 = C_2$ , čo nás článok približne splňa. Takto vypočítaný  $f_k = 28$  kHz.



Zo šp.3 IO TDA 4050 prechádza signál na vstup prijímača D0, šp.15 IO SAB 3209. Na vývodoch 11,13 a 14 sú výstupy pre riadenie analógových hodnôt - hlasitost, jas a sýtosť farieb, výstupy 4 až 7 slúžia pre volbu programu. Výstup 4 nepoužívame, pretože máme 8 programových ciest, na volbu ktorých stačia 3 výstupy, keďže  $2^3 = 8$  a na každom z výstupov, označovaných A /šp.7/ B,C, môže byť bud stav logickej jedničky alebo nuly. Podľa toho, ktorý z tranzistorov T3-5 je otvorený a ktorý zavretý - čo odpovedá H alebo L stavu na jeho báze, je na vstupoch 13,14,15 IO SN 7442 úroveň L alebo H /nízka alebo vysoká, teda - pri tzv. kladnej logike - nula alebo jednička/. Dostáva teda SN 7442 trojbitovú informáciu, čo pri normálnom prevode na dekadické čísla by napr. znamenalo z binárneho kódu 000 dekadickú nulu, z 001 jedničku, z 011 trojku atď. My však potrebujeme pre zvolenie danej programovej cesty uzemniť príslušný kondenzátor 10n, pripojený kolíkmi K4/1-8 na odpory 10M v senzorovej jednotke, teda na tie isté miesta, ktoré dotykom prsta spojujeme cez ochranný odpor 5M6 vysokoohmovo so zemou a tak poklesom napätia na danom vstupe senzora spôsobíme prepnutie na želaný program. Uzemniť kondenzátor znamená pripojiť ho na zem cez pomerne malý odpor, a naopak odpojiť ho /najmä v tomto prípade spojenia s vysokoohmovými odpormi senzora/ prakticky úplne jeho spojenie so zemou prerušíť.

Programové výstupy SAB 3209 majú pri stave H ca. +12V, a pri stave L sice nie viac než 1 V, avšak pri vysokej impedancii /výstup akoby odpojený/, pretože sú určené na priame budenie integrovaného obvodu SAB 3211 pre digitálnu indikáciu 7-segmentovými svetelnými diódami. Pre prispôsobenie integrovaného obvodu SN 7442 sú medzi programové výstupy SAB 3209 a vstupy SN 7442 preto zaradené tranzistory T3,4,5. Tieto prevracajú polaritu signálu, teda stav L napr. na výstupe č.7 /A/ IO 1 dá H na vstupe /A/ šp.15 IO 2.

To mení kódovanie pre získanie zvoleného programu na senzore, a preto pôvodné dekadické výstupy IO SN 7442 neodpovedajú čislam programových

ciesť. Dekadickej "1" je pri stave L na šp. 2 IO 2, avšak takýto stav spína cez C 11 kanál - program č.6

Prehľad povelov v nasledujúcej tabuľke najlepšie znázorní, ako zopnutím určitého stĺpca s určitým radom na kontaktovej matrici vysieláča DO dostaneme želaný výsledok. Tabuľka dáva prehľad aj o prenose príkazov pre zmeny analógových funkcií /hlasitosť, jas, farebný kontrast/ a ďalších príkazov. Pre postupné zmeny hlasitosti atď. je treba pripojiť aj rad 8 - k tomu slúžia diódy D6 a D7 na doske vysieláča.

#### Ďalšie podrobnosti vo funkciách zapojení IČ DO

Výrobca vo svojom katalógu neudáva podrobnosti zapojenia a funkcií v použitých integrovaných obvodoch, ani u doporučených zapojení IO s vonkajšími súčiastkami. V ďalšom texte uvádzané vysvetlenia, začlenené na vlastnej úvahе autora tohto popisu, majú slúžiť pre lepšiu predstavu o tom, ako diaľkové ovládanie funguje.

#### Pripojenie napájacieho napäťia vo vysielači DO na SAB 3210

Vysielač DO neodoberá žiadny prúd, keď nie je stlačené niektoré z jeho tlačidiel. Pomocou tlačidiel sa pripája niektorý zo stĺpcov a,b,c,d, ktoré sú pripojené cez odpory 47k na mínusový pól batérie, na niektorý rad 1 až 8 /doporučujeme doplniť si toto označenie radov a stĺpcov do schémy: stĺpec "a" je vývod č.2 IO, "d" je vývod č.5, rad č.1 je vývod č.9 IO a rad č.8 je vývod 16 - ostatné číslovanie ide v tomto zmysle za sebou.

Rady sú pripojené cez vhodne veľké vnútorné odpory na plus-pól batérie, teda na vývod č.1 IO. Keďže IO SAB 3210 sú vyrobené v technológii MOS /vodivý kanál p s ochudobňovaním/, sú tieto odpory tvorené tranzistormi. Keď spojíme niektorý stĺpec s niektorým radom, napr. a-1, napätie na vývodoch č.2 a 9 bude mať proti mínus pôlu batérie, ktorý si pre pohodlie označíme ako "0", určité kladné napätie. Toto napätie je teda nižšie, než pôvodné napätie na radoch, ktoré je rovné  $+U_B = 9V$ . Rady sú zrejme vnútorne pripojené na hradlá /gate, G-elektródy/ použitých tranzistorov. Keďže sa jedná o p-vodivý kanál s ochudobňovaním, pripojenie hradla na kladné napätie substrátu a emitora zahradzuje tranzistor. Zniženie tohto napäťia tranzistor otvára.

Prehľad povelov a k nim prislúchajúcich kódov u diaľkového ovládania

Spojenie stípcov a rádov na matri- ci vysielača /tlac.spinečom/	Vykonať povel prepnut na: progr.cestu	Kód FEDCBA /prenásaný z vysieli-/ katalog.	Číslo povelu dla. katalog.	Výstupy SAB 3209 šp.4 5 6 7 = D C B A	Výstupy SN 7442 /za. T3-5/ šp.15 14 13 12 = A B C D
b 5	K 1	010001	17	L L H	L H /L/
c 5	K 2	010010	18	L H L	H L H "
d 5	K 3	010011	19	L H H	L L H "
a 6	K 4	010100	20	H L L	H H L "
b 6	K 5	010101	21	H L H	L H L "
c 6	K 6	010110	22	H H L	H L L "
d 6	K 7	010111	23	H H H	L L L "
a 7	K 8	011000	24	L L L	H H H "

Povel:

- a 3+8 pridať hlas. 101000 40  
 b 3+8 ubrať " 101001 41  
 c 3+8 pridať jas 101010 42  
 d 3+8 ubrať " 101011 43  
 a 4+8 pridať f.kontr. 101100 44  
 b 4+8 ubrať " 101101 45  
 e 1 nôrmalne analo-  
 gové hodnoty 000000 0  
 b 1 hlasitosť na  
 minimum 000001 1  
 c 1 vypnúť do po-  
 notovost. stavu 000010 2  
 a 1 pri pohotovost. stavе: zapnut TVP  
 000000 0

Výstupy analógových hodnôt SAB 3209 :

- šp.11, +impulzy 1 kHz, šírka impulzu voči  
 periode sa zväčšuje  
 dľto, šírka impulzu sa zmenšuje  
 šp.13, ostatné ako pri povele č.40  
 dľto, " " " " č.41  
 šp.14, " " " " č.40  
 dľto, " " " " č.41  
 šp.11, šírka imp. voči perioде =  $1/3$   
 šp.13, " " " " =  $1/2$   
 šp.14, " " " " =  $1/2$

**Poznámka:**  
 šírka im-  
 pulzu sa  
 zvyšuje  
 alebo zni-  
 žuje podla-  
 doby stla-  
 čenia tla-  
 čidla

Kolektory /drain/ sa súčasne zmenou napätia na niektorom zo stípcov pripoja cez vonkajší NPN tranzistor T1, BC 238 B, na mínus pól batérie. T1 je svojou bázou zrejme teda pripojený cez vhodné vnútorné odpory ku vývodom stípcov šp. 2-5 IO, takže kladné napätie zo stípca pripojeného tláčidlom na daný rad, priviedie T1 do saturácie a na šp. 6 IO bude napätie temer rovné "nule". V literatúre sa toto napätie označuje  $V_{dd}$  resp.  $U_{dd}$  ako napätie pre napájanie kolektorov-drain, a napätie na šp. 1 ako  $V_{ss}$ , tj. napätie substrátu, základnej doštičky, ktorá býva spojená s emitorom /source/.

V schéme je u T1 vo vysielači obráteno nakreslená šípka - prosíme opraviť:

### Vysielanie IC signálu

Aby sa vysielal signál, musí byť otvorený tranzistor T3, PNP, zapojený medzi LED diódy 3xLD 271 a napätie zdroja. Otvára sa kolektovým prúdom tranzistora T2, keď vývod 8 - báza T2 - dostane ca. +0,7 V proti mínus pólu batérie.  $I_C$  T2 tečie cez diódy D4,D5, ktoré majú zrejme ochrannú funkciu. Povolený  $I_{Cmax}$  tranzistora BC 327 je 0,8 A, čo by na R8 1j1 vytvorilo napätie 0,88 V. Tým by však zostalo z napäcia na diódach D4+D5 k dispozícii pre bázu T3 len asi 0,65 V, takže veľkosť prúdu T3 je stabilizovaná súčinnosťou uvedených diód a odpora R8.

BC 327 má rozsah j.s. zosilňovacieho činitela B až 1:6, preto je takéto opatrenie nutné a nestačí len obmedzovanie  $I_B$  odporom R7, zvlášt s ohľadom na široký rozsah napájacích napäti, v ktorom má vysielač pracovať.

### Predzosilňovač

Na schéme nie sú očíslované vývody TDA 4050. "Zem" je č.1, vývod na R7 a C4 je č.4, vývod na R6 a C5 je č.5, vstup signálu cez C2 je privádzaný na šp.8 - obvod je teda zakreslený v bežnom poradí vývodov.

Napájacie napätie je privádzané na šp.6, kde je pripojený i filtračný kondenzátor C8. Pre T1 je použitá dodatočná filtrácia R8/C3. C6 filtriuje napätie pre reguláciu zosilňovača riadenia pracovného bodu  $RV_A$ .

Pri neosvetlenej fotodióde BPW 34 má tranzistor T1 len malý prúd, daný odporom R1, osvetlením sa odpor fotodiódy podstatne zníži, čo vyvolá prenos impulzov infračerveneho svetla ako elektrických impul-

zov na vstup č.8 TDA 4050.

Kondenzátory C1 a C10 majú filtračný účel, ich impedancia pri kmitočte 30 kHz je mnohonásobne menšia než hodnoty R2 a R3 /10k/.

### Prijímač

Ako je uvedené vpredu, z výstupov č.11, 13 a 14 pri stlačení príslušného tlačidla prichádzajú na integračné členy 18k/22/ $\mu$ F impulzy o kmitočte 1 kHz, ktorých šírka závisí na dobe, po ktorú stláčame tlačidlo. Po uvolnení tlačidla sa však vysielajú tieto impulzy ďalej, takže kondenzátory C1-C3 sú stále dobíjané, teda je na nich udržiavané napäťie, úmerné "ný"  $\sqrt{1}$  kHz-impulzov. To riadi bázové prúdy a teda aj jas napäťie na emitoroch T1, T 2 a T8, ktoré je privádzané do vhodných bodov na doske ovládania, modul č.8 televízora, a tak určuje úroveň jasu, hlasitosti a farebného kontrastu. Pretože prijímač DO je zapojený i v pohotovostnom stave, kedy je televízor vypnutý, budú po prepnutí z pohotovostného stavu na prevádzku prijímača stlačením niektorého tlačidla pre programovú volbu nastavené úrovne jasu atď. zachované. Zrušia sa však pri spínaní tlačidlom N/I, ktoré ich uvedie na normálovú hodnotu. Tak isto sa nastaví automaticky normálová hodnota pri zapnutí televízora sieťovým vypínačom, kedy bol vypnutý s televízorom aj prijímač DO a napájacie napäťie P.D.O. na šp.1 IO SAB 3209 stúpa od nuly, ako je stručne uvedené už vpredu.

Výrobca nevysvetluje, prečo vývod č.12 SAB 3209 dostane pri narastaní napájacieho napäťia prijímača DO, tj. po zapnutí televízora, stav H, ktorým sa cez T7 a T6 vypne relé Re a teda znova sa vypína TV prijímač, tentoraz však do pohotovostného stavu. Je to snáď preto, že pri prechodnom stave narastajúceho napäťia v SAB 3209 a v predzosilňovači, ktorý je napájaný z rovnakého zdroja, by mohli nastat nežiadúce úrovne pre riadenie analógových veličín, ktoré sa môžu preniesť do televízora len pri napájaní zo zdroja +12 V v televízore.

Podobne by to mohlo súvisieť s nejednoznačnosťou volby programu. Keďže však bez vysielača DO by nebolo možné uviesť TVP do prevádzky, je - ako už vpredu uvádzame - "mžikovým" spínačom mechanicky spojeným s tlačidlom sieťového spínača krátkodobe vývod 12 po zapnutí TVP uzemnený a tak zostane TVP zapnutý i bez použitia vysielača DO.

Účel členu C 18 a R 15

Pretože potrebujeme voliť len jeden z 8-mich programov, nie je pripojený výstup "D" šp.4 SAB 3209 žiadnym spôsobom na vstup "D" šp.12 IO SN 7442. Pri stave H na vstupe "D" tohto IO nemôže mať žiadny z použitých vývodov, pripojených na kondenzátory C6 až C13, stav L. Stav H na vstupe "D" nastane po zapnutí televízora /bez ohľadu na to, či z pohotovosti alebo sietovým spínačom na TVP/, pretože sa zo +12 V nabíja C 18 a nabíjací prúd vytvára na R 15 napäťovú špičku - známy prechodný jav u derivačného C-R členu.

Zruší sa tak pôvodne zapamätaná voľba programu. Po zapnutí z pohotovostného stavu sa však opäť táto voľba automaticky obnoví, pretože prechodný jav a s ním stav H na vstupe "D" za krátke časy skončí. Aby sme mali napr. zvolený program /K/ 6, ktorému odpovedá v poradí ABCD stav HLLL na vstupoch IO SN 7442, bolo tam krátkodobe po zapnutí TVP HLLH, čo uviedlo vývod č.2 pre K 6 do stavu H, a po klesnutí z H na L na vstupe D sa o p ā t uzemní C 11, takže prúd, ktorý tento kondenzátor nabíja cez odpor 10M na senzorovej jednotke, vyvolá opäťovné zopnutie programu 6. Bez prechodného odpojenia C 11 by sa na príslušnom vstupe senzora nič nedialo a televízor by sa zapol prostredníctvom známeho mechanizmu u senzorovej jednotky na program č.1.

Taktovacie obvody /"hodiny"/

Pre synchrónny chod rôznych klopných obvodov, /ktoré tvoria i pámať/, registrov a čo najmenej rušenú činnosť zložitých obvodov v IO SAB 3210 je nutné podmieniť možnosť zmeny ich stavu z L na H a späť prítomnosťou "hodinových", presnejšie taktovacích impulzov. U vysielača sa z nich odvodzuje i kmitočet impulzov infračerveného svetla ca. 30 kHz. Určujú tiež napr. či práve vysielané impulzy patria pod bit A alebo B atď. Výrobca neudáva, ako presne majú byť L/C obvody voči sebe u obidvoch IO ladené.

Označovanie povelov podľa BCD kódu a sled bitov v čase

BCD kód neznamená jednoducho písmená /A/BCD/EF.../, ale "binary code decimal", tj. binárne kódovaná desiatková sústava, kde napr. 11 odpovedá číslu 3 desiatkovej sústavy. Píše sa podobne ako čísla s "arabskými" číslicami počnúc od najvyššieho rádu, teda od lava -

číslo 13 je v BCD kóde zapísané ako 1101. Pri sériovom oznamovaní tohto čísla na nejaký ďalší obvod, teda postupne v čase, sa však najprv vyšle najnižší rád a nakoniec najvyšší, teda tu 1011.

Na str. 67 máme časový diagram, podľa ktorého sa po štart-bite vysielá postupne za sebou signál 100110. V BCD kóde je to však číslo 011001, pretože ten sa píše ako FEDCBA a nie ABCDEF. Jedná sa teda o povel 011001, vznikajúci spojením b-7 na kontaktovej matrici.

## DEKÓDER SECAM/PAL

### Úvod

Usporiadanie dekódera je veľmi podobné prevedeniu Secam/Pal u televízora Color-Univerzál 4412 A, ktoré je aj popísané v Technickej informácii Tesly Orava č.32.

Pri školení o nových farebných televízoroch vyjadrovali televízni technici názor, že je vhodné pokiaľ možno v popisoch televízorov uvádzat i zapojenia, o ktorých pojednávajú staršie publikácie, pretože nie každý má tieto k dispozícii. Preto i tu uvádzame podrobne popis funkcie dekódera s jednotlivými integrovanými obvodmi. Pri revízii pôvodného popisu zapojenia s IO TCA 640, TBA 540, TCA 650 a TCA 660 sme došli k názoru, že by pre niektorých záujemcov bolo vhodné podrobne opísť funkcie týchto IO i po stránke ich vnútorného zapojenia, hoci nie je nutné, aby tieto podrobnosti poznal každý opravár farebných televízorov. Súčasne sme zistili, že v dostupnej literatúre sa úplné popisy vnútorného zapojenia ne nachádzajú. Podobná literatúra nie je k dispozícii ani vo výrobných závodoch - bolo treba preto vlastnou úvahou získať vysvetlenie pre niektoré časti uvedených IO.

Zdôrazňujeme, že takéto popisy sú na to, aby boli k dispozícii pre prípad hlbšieho záujmu o určitú funkciu integrovaného obvodu a nie pre prípravu širokých opravárskych kádrov na skúšky a podobne. Chceli by sme sa ospravedlniť, ak by sa niekomu zdal výklad príliš "po lopate", alebo slohove, či pedagogicky nie celkom vydarený.

Schémy zapojenia integrovaných obvodov TCA 640, TCA 650, TBA 540 a TCA 660 sú na posledných stranach tejto publikácie a doporučujeme si ich pre študovanie výstrihnuť. Ešte podotýkame, že bez vyznačenia signálových ciest a prepínania farebnými ceruzkami je vysledovanie funkcií i.o. veľmi pracné pre neprehľadnosť - nebolo nám však možné zabezpečiť schémy s farebným rozlíšením už v tejto brožúre.

## D e k ó d e r

Kompletnej videosignál z OMF modulu /vývod 5/ prichádza na emitorový sledovač 4-TR1 BC 182 na doske dekódera "4", z ktorého pre spracovanie jasového signálu je vedený cez člen R29, C35-R28 na jasovú oneskorovaciu linku VS 470 a ďalej cez C36 220/ $\mu$ F a odladovače farbonosných kmitočtov /2x F 110/ na špičku 16 integrovaného obvodu TCA 660. Obvody odladovača sú nastavené jeden na farbonosný kmitočet PAL /4,43 MHz/ a druhý na 4,25 MHz./farbonosný kmitočet pre rozdielový signál B-Y SECAM/.

Spracovanie farbového signálu sa prevádzka v integrovaných obvodoch TCA 640 a TCA 650, pričom pre PAL dodáva regulačné napätie farbového AVC /ACC/ a obnovený farbonosný kmitočet IO TBA 540. Z TCA 650 prichádzajú demodulované rozdielové signály R-Y a B-Y po vyfiltrovaní vyšších zložiek a deemfáze /pri Secam/ v module "9" na IO TCA 660 a z neho jasový signál a všetky tri rozdielové /chrominančné/ signály na modul 20 - video /RGB/.

Kompletnej videosignál z emitora TR1 na doske dekódera je privádzaný cez R7 a C6 na ladený obvod L1/L2 /pokiaľ to nebude zvlášt vyznačené, týkajú sa uvedené pozičné čísla dosky dekódera "4"/. Tento ladený obvod funguje pri Secam ako obvod "cloche", pri príjme signálov Pal je silne tlmený odporom R8 68 ohm, aby sa dosiahla potrebná šírka pásma. Prepínanie zabezpečuje dióda D1, ktorá sa otvára napäťím +12 V z prepínača Secam/Pal /v ďalšom teste S/P/ na module "5". Pri príjme Secam je zavretá kladným predpätím z deliča R6/R5.

Vo vnútri integrovaného obvodu MCA 640 sa prepínajú jeho funkcie z normy Secam na normu Pal napäťím 12 V z prepínača S/P na špičke 4. Rovnako je tomu i u MCA 650.

## TCA 640 pri SECAM

/číslovanie tranzistorov odpovedá priloženej schéme "Vnútorné zapojenie IO TCA 640"/.

Frekvenčne modulované nosné vlny chrominančných signálov /farbonosný signál/ prichádzajú na šp.3 modulu. Vo vnútri IO sa farbonosný signál zosilňuje a obmedzuje v troch diferenciálnych zosilňovačoch. Zosilnené signály sa odoberajú zo šp.1 /priamy signál/ a 15 /na ultrazvukovú oneskorovaciu linku/. Sú navzájom v protifáze, pretože ide o výstup z diferenciálneho zosilňovača.

/Toto je dôležité pri príjme Pal/. Ich amplitúda je ca. 2 V<sub>ss</sub>. K obmedzovaniu dochádza od minimálnej hodnoty 15 mV signálu š-š na vstupe šp.3. Typická úroveň pri Secam je 50 - 100 mV. Diferenciálne zosilňovače tvoria tranzistory T6-T7 /T21/, T29-T30 /T31/, T10-T12 /T15/; T22, T23, T8, T9, T11, T13 sú emitorové sledovače pre vhodné impedančné prispôsobenie. T24 až T27 slúžia pre klúčovanie. Z výstupu 1 je prevedená jednosmerná záporná spätná väzba na vstup 3 cez delič: R10, RV1, R9, z výstupu 15 na vstup 5, ktorý je pre VF uzemnený, cez delič R12-R13.

Potenciometrom RV1 sa dá nastaviť symetria obmedzovania, prednostne sa však s ním nastavuje priebeh "burstu" Pal.

/V ďalšom texte budeme uvádzat tento synchronizačný signál farby Pal skratkou ssf/.

Nastavenie RV1 kompenzuje rozptyly vnútorných i vonkajších prvkov v slučke späťnej väzby.

Na vývod 6 sa privádzajú tvarované H-impulzy a na vývod 7 V-impulzy v kladnej polarite. Tieto impulzy dodávajú obvody na impulznej dosičke dekódera, modul "6". Plnia nasledujúce funkcie:

- zatemňovanie farbonosného signálu počas vysielania synchronizačných impulzov
- vyklúčovanie nemodulovaných nosných vín, ktoré sú vysielané striedavo /4,406 MHz a 4,25 MHz/ po riadkových synchronizačných impulzoch počas riadkových zatemňovacích impulzov /impulzmi H/ a identifikačných impulzov Secam /impulzmi V/
- spúšťanie vnútorného bistabilného klopného obvodu a jeho riadenie v obvodoch identifikácie

Z celkového signálu vydelené rádioimpulzy nosných vín farby a identifikačných impulzov sa nachádzajú na výstupe č.11 integrovaného obvodu. Pojem rádioimpulzy používame tu pre oba druhy na rozlíšenie od demodulovaných identifikačných impulzov. Na vývode 11 je zapojený rezonančný obvod F 111. Tento je naladený tak, aby amplitúdy rádioimpulzov nemodulovaných nosných farby a identifikačných impulzov pri riadkoch, prenášajúcich signál E<sub>B-Y</sub>, boli zdôraznené proti impulzom prislúchajúcim signálu E<sub>R-Y</sub>. Preto je vhodné uvedený rezonančný obvod ladiť niečo nižšie než odpovedá farbonosnému kmitočtu pre signál B-Y, tj. medzi 3,9 a 4,2 MHz.

Pri správnej fáze vnútorného bistabilného klopného obvodu, ktorý striedavo prepúšťa tento signál na vývody č.9 a 10 je potom na vývode č.9 IO asi o 0,2 V vyššie kladné napätie než na vývode č. 10. Tieto vývody sú výstupmi detekovaných signálov z bodu 11, na ktorých pomocou vonkajších kondenzátorov C14, C16 / $2 \times 10 \mu\text{F}$ / dochádza k ich integrovaniu.

Bistabilný obvod je spúštaný H-impulzami - preto je opakovací kmitočet pravoúhlych prepínacích impulzov z tohto obvodu  $f_H : 2$ , pre jednoduchosť ich označujeme " $f_H/2$ ".

Pri správnej fáze týchto impulzov sa na bod 10 dostáva napätie odvodené od rádioimpulzov B-Y, ktoré je s ohľadom na naladenie rezonančného obvodu L5 F 111 asi o 0,2 V nižšie než napätie od rádioimpulzov R-Y v bode 9.

/Väčšie prúdy = nižšie napätie na kolektorovom odpore/.

V takomto prípade nie je preklápanie bistabilného klopného obvodu ovplyvňované, príslušný tranzistor spojený s bodom 10 je zavretý, pretože napätie na jeho emitore, odvodené z napäťia v bode 9, je príliš vysoké.

Ak je pri nesprávnej fáze otváraný impulz  $f_H/2$  tranzistor pripojený na bod 10 počas tých riadkov, kedy sú v bode 11 rádioimpulzy signálu R-Y, vznikne vyššie napätie v bode 10, čím sa otvorí reťaz tranzistorov vedúca k bistabilnému klopnému obvodu a spôsobí, že sa jeho preklopenie o dobu 1 riadku zdrží, teda impulzy  $f_H/2$  budú mať správnu fazu.

#### Podrobnejší popis integrovaného obvodu TCA 640 /MCA 640/

Funkcie TCA 640 pri príjme F-TV vysielania podľa SECAM:

/viď schému zapojenia MCA 640 v dokumentácii Univerzálny resp. tu vzadu/

Vývod 4 je zvonka spojený so zemou cez 7R1 + 7R2 2K a má napätie  $\emptyset$  V /menšie než +1 V/. Preto sú vnútorné tranzistory T17, T18 otvorené do saturácie a báza T20 je temer bez prúdu.

Na emitore T21 je rozhodujúce napätie dané prúdom T21 a preto je tento tranzistor maximálne otvorený a predstavuje pre diferenciálny zosilňovač T6-T7 najmenší odpor jeho spoločnej emitorovej vetve. Tento zosilňovač má preto najväčšie zosilnenie /má nízky emitorový odpor pri nesúmernom vstupe, pre VF je bod 5 uzemnený/.

Napätie na bázach T6, T7 je odvodené deličmi z napäťia na výstupoch 1 a 15 tak, aby vznikala jednosmerná záporná spätná väzba.

Vývod 16 pripojený cez 4R 15 na špičku 9 IO TBA 540 /výstup regulačného napäťia ACC/ je bez napäťia, pretože TBA 540 je bez napájacieho napäťia. Preto je bez napäťia aj tranzistor T47 v obvode vypínania farby.

Vstupný signál sa privádza na bázu diferenciálneho zosilňovača T6, T7 cez špičky 3 a 5, hoci je špička 5 pre signálne napätie uzemnená cez 4C 11 100nF; príčom difer. zosilňovača je dané, že i tak budú na obidvoch jeho výstupoch signálne napäťia, samozrejme v protifáze. Po zosilnení v tomto prvom stupni prichádza signál cez emitorové sledovače T22, T23 na druhý difer. zosilňovač T29, T30. Pokial nie sú na bázach T24-T27 impulzy odvodené zo spätných behov H, V, sú otvorené iba T25 a T26 /T32 i T34 sú zavreté, T33 otvorený a cez jeho emitor sú napájané bázy T25, T26/. Signálne napätie na bázach T29, T30 riadi prúd cez T25, T26 a z ich kolektorov prichádza signál na bázy T10, T12 /3. stupeň difer. zosilňovača/. Z kolektorov týchto tranzistorov ide signál cez emitorové sledovače T9, T8 a T11, T13 na výstupy - špičky 15 a 1.

Jednosmerná záporná spätná väzba je z týchto výstupov vedená na prísl. vstupy - z bodu 15 na bod 5 a z bodu 1 na bod 3. Jemným nastavením tejto spätnej väzby potenciometrom 4-RV1 sa dá nastaviť úroveň signálu na výstupoch 1 a 15.

V uvedenom 3-stupňovom zosilňovači sa signál Secam obmedzuje tak, že pri 15 až 400 mV na vstupe je na výstupoch cca 2 V<sub>ss</sub>. Typická úroveň signálu na vstupe je 50 až 100 mV.

V dobe, keď sú na vstupoch 6 a 7 kladné impulzy H a V cca 8 V<sub>ss</sub>, sú otvorené T32 a T34, ktoré zatvárajú T33 a T35, čím otvárajú T36. Na bázach T25, T26 je potom nulové napätie, resp. napätie omoňho nižšie než na bázach T24, T27 a tieto posledné tranzistory sú otvorené cez T36.

Signálne napätie nemôže prechádzať do 3. stupňa difer. zosilňovača T10, T12 a prichádza za to do difer. zosilňovača T16-T16 A a z neho cez emitorový sledovač T59 na vývod 11 /kde je spracovaný pri Secame/ resp. cez T14 na vývod 13 - výstup synchronizačných impulzov farby /v ďalšom texte ssf/, tzv. burst Pal.

Bistabilný klopný obvod T48, T49 /u ktorého zatial predpokladáme, že je stále úplne otvorený T50, čo je normálny stav/ pracuje takto:

Pokiaľ nepríde prepínací signál z vonka, je jeden z týchto tranzistorov v saturácii a druhý zavretý, pričom je viac-menej náhodné, ktorý. Ak je napr. zavretý T49, je na jeho kolektore a na báze T43 kladné napäťie /stav HI/. Báza T48, ktorá dostáva prúd z kolektora T49 udržuje T48 v saturácii a tým na báze T49 príliš nízke napäťie /stav LO/ než aby sa mohol T49 otvoriť. Kladný impulz H z prívodu 6 otvorí NPN tranzistor T40 /v schéme k TVP 4412A chýba šípka/ a z jeho emitora prichádza kladný napäťový impulz na kolektory T41, T42 i na ich bázy - v tomto prípade znížené o spád napäťia na /neocíslovaných/ diódach. V hore uvedenom prípade je na báze T48 a teda na emitore T41 vyššie napäťie než na báze T49 a na emitore T42. T42 je pri rovnakom napätií na bázach T41 a T42 viac vodivý. Prúd cez T42 zatvára T41, pretože na kolektor T42 je pripojená cez diódu báza T41 a napäťie na kolektore T42 klesá. Lavinovitým pochodom sa ešte počas trvania impulzu v bode 6 zavre T41 a plne otvorí T42, takže báza T49 dostane tak veľké napäťie, že sa druhým lavinovitým pochodom uzavre T48 a bude udržiavať T49 v stave nasýtenia. Na báze T49 bude stav HI, na jeho kolektore bude LO. T43 tieto stavy prenáša ďalej na vývod 12 - výstup prepínacieho napäťia  $f_{H/2}$  a na diskriminátor fázy prepínacieho napäťia T38.

Ako vyplýva z princípu systému Secam, kde sa farbonosné zložky  $E_{R-Y}$  a  $E_{B-Y}$  prenášajú postupne s riadkovým sledom, je potrebné vedieť, v ktorom riadku je prenášaný ktorý signál a využitím tejto informácie sa musí zaistiť správna činnosť prepínača Secam. Obvody, ktoré túto funkciu plnia, sú súčasťou integrovaného obvodu MCA 640 /prepínač však je v integrovanom obvode MCA 650/. Za účelom identifikácie príslušného riadku obsahuje signál Secam tzv. rozlišovací signál, vysielaný v intervale snímkového zatemnenia.

V tomto sa v deviatich riadkoch striedajú identifikačné impulzy signálu  $E_{R-Y}$  /4,756 MHz/ a identifikačné impulzy signálu  $E_{B-Y}$  /3,9 MHz/.

Na vývode 11 integrovaného obvodu je zapojený rezonančný obvod, ktorý by mal byť ladený na frekvenciu  $f = 3,9$  MHz, aby sme tu do stali potrebné amplitúdové prevýšenie pre uvedené identifikačné impulzy "B-Y" počas snímkového spätného behu.

Pretože však na vývod 11 sa dostávajú aj rádioimpulzy nemodulovaných nosných vln, ktoré sú prítomné v signále na zadnej plošinke

riadiakových zatemňovacích impulzov a tieto nosné vlny sa líšia o  $156 \text{ MHz} / F_{OB} = 4,250 \text{ MHz}$  a  $f_{OR} = 4,406 \text{ MHz}/$ , je vhodné využiť obidve informácie. Preto sa rezonančný obvod ladí na frekvenciu asi  $4 \text{ MHz}$  /bližšie vid' nastavovací predpis Univerzál 4412 A/. Obvody identifikácie potom vytvárajú regulačný signál, ktorým sa riadi správna fáza bistabilného klopného obvodu. Výstup tohto obvodu je na vývode 12, odkiaľ sa privádza na prepínač Secam v IO TCA 650, ktorý slúži i ako "prepínač Pal", ak sa prijíma podľa Pal.

Vykľúčované nemodulované nosné vlny a rozlišovací signál Secam z úplného farbonosného signálu prichádzajú, ako sme už uviedli, cez emitor T59 na vývod 11. Tieto signály na ladenom obvode F 111 /4L5/ získajú teda amplitúdové rozlíšenie, ako bolo vpredu popísané. Detekujú sa diódou báza - emitor T 39. Pretože báza T 37 má pevné predpätie a na bázu T38 sa privádza signál z bistabilného klopného obvodu, ktorého opakovací kmitočet  $f_{H/2} \approx 7,8 \text{ kHz}$ , je výsledkom to, že napríklad pre všetky párne riadky je detekovaný signál na kolektore T37 a pre všetky nepárne na kolektore T38. Tieto signály sa integrujú pomocou kondenzátorov C14 a C16 / $2 \times 10 \mu\text{F}$ /, ktoré sú zapojené na vývody 9 a 10. Správna fáza bistabilného klopného obvodu závisí na naladení rezonančného obvodu na vývode 11, pri nej na vývode 9 je kladné napätie vyššie ako na vývode 10. Potom T53 nevedie prúd /na jeho emitore je asi  $5,7 \text{ V}/$  a v dôsledku toho je zavretá aj dvojica T44 a T45 a klopný obvod nie je cez T51 emitorovým napäťím T46 ovplyvnený, čo je v súhlase s požiadavkou. Ak by fáza bistabilného klopného obvodu z dôvodu poruchy bola nesprávna, teda opačná, na vývode 9 bude nižšie napätie ako na vývode 10, lebo "výber" detekovaných rádioimpulzov aj identifikačných impulzov je opačný. Preto T53 vedia prúd a s ním dvojica T44 a T45 a nakoniec aj T46. Kladné napätie privedené na bázu T51 má za následok pokles napäťia na báze T50. Klopný obvod /T48, T49/ preklopí do opačného - správneho stavu, tj. na bázu T38. sa v tomto riadku dostane kladná časť obdlžnikového impulzu. To znamená, že napätie na vývode 9 bude opäť vyššie ako na vývode 10. Týmto spôsobom obvody identifikácie udržujú správnu fázu bistabilného klopného obvodu - a teda i prepínača "Secam" v integrovanom obvode MCA 650.

S činnosťou identifikačných obvodov súvisí obvod automatického odpojenia farbového kanálu v prípade, že:

- a/ fáza bistabilného klopného obvodu - prepínača Secam - nie je správna

b/ vstupný signál je slabý

c/ ak je prijímaný signál čierno - biely

Napäťím na emitore T46 sa ovláda /opravuje/ fáza bistabilného klopného obvodu. Tým istým napäťím sa spína tranzistor T58, ktorého kolektor je z vývodu 8 IO TCA 640 zapojený na šp.6 TCA 660 - riadenie farebného kontrastu.

Akonáhle sa dostane "chybové" napätie na emitor T46 tj. i T47, najskôr dôjde k saturácii T58 a teda k zablokovaniu farbového kanálu. Rovnaká situácia nastane, ak prijímaný signál je slabý alebo čiernobiely. Potom totiž jednosmerné napätie na vývodoch 9 a 10 je rovnaké vo všetkých riadkoch. Každý z tranzistorov T52 a T53 viedie polovičný prúd. Výsledné napätie na emitore T46 je v tomto prípade dosť veľké, aby bol T58 saturovaný a aby došlo k odpojeniu farbového signálu, ktorý by v tomto prípade nepôsobil inak, ako rušivo. Pevne nastavené  $U_B$  T56,57 chráni proti spínaniu T51 a T58, dokial prúd T46 neprekročí určitú hranicu.

#### Funkcia obvodu TCA 640 pri PAL

Prepínacie napätie z vývodu 1 modulu prepínača Pal-Secam sa okrem na integrované obvody privádza tiež na anódu diódy 4-D1 pomocou ktorej pri príjme signálu Pal dôjde k zatlmeniu farbonosného signálu na obvode cloche 4-L1/L2 paralel.odporom 4-R8 /68ohm/. Tým sa účinok obvodu zníži na prijateľnú mieru. Súčasne sa cez 4-TR2 odpojí od zeme obvod 4-L3/C21, ktorý pri Secam upravuje úroveň priameho signálu. Prepínacie napätie na vývode 4 TCA 640 spôsobi, že diferenciálne zosilňovače zosilňujú signál iba tak, aby nedošlo k jeho obmedzovaniu - naopak je možné zosilnenie meniť podľa úrovne vstupného signálu, ako je popísané v kapitole "Obvody farbového AVC". Pracuje preto diferenciálny zosilňovač ako riadený zosilňovač.

Zmena pracovného bodu 1. diferenciálneho stupňa umožňuje takú reguláciu, že sa vstupný signál môže meniť v rozsahu 4 mV<sub>ss</sub> do 80 mV<sub>ss</sub> bez toho, že by sa menila úroveň výstupného signálu na vývodoch 1 a 15, ktorá je typicky 500 mV.

Obdobne ako u signálu Secam, tým istým diferenciálnym stupňom sa vyklúčuje synchronizačný signál farby /ssf/ tzv. burst, nakol'ko je v úplnom farbonosnom signáli Pal obsiahnutý v tom istom časovom intervale, ako nemodulované nosné vlny u Secam - na zadnej "prodlevе" /slov. "zdrž"/ riadkového zatemňovacieho impulzu. K dispozícii ho máme na vývode 13, odkiaľ sa privádza na integrovaný obvod MBA 540 cez

obvod 7-L2, 7-R9, 7-C2, ktorým sa korigujú fázové odchýlky voči farbovému signálu, ku ktorým dochádza tým, že obidva signály sú zosilňované oddelené. /Odpor 7-R9 bol neskôr vypustený/.

Bistabilný klopný obvod T48-T49 je spúštaný H-impulzami ako v systéme Secam, jeho činnosť - správna fáza - je však riadená obvodmi, ktoré sú súčasťou IO MBA 540.

Napäťom ACC sa riadi pri príjme Pal prvý diferenciálny zosilňovač T6, T7 s emitorovým tranzistorom T21. Napätie +12 V v bode 4 uzavrie tranzistory T17, T18, čím sa na kolektore T18, pripojenom na odporový delič, z ktorého sa dodáva aj bázový prúd pre T20, objaví napätie natol'ko vysoké, že bez účinku napäťia ACC z bodu 16 a tranzistora T19 by T20 vysokým emitorovým prídom zablokoval na spoločnom emitorovom odpore tranzistor T21 a tak vyradil prvý diferenciálny zosilňovač z činnosti, resp. znížil na minimum zosilnenie.

Ako sme už uviedli, pri príjme Secam je v bode 4 TCA 640 napätie blízke nule alebo nulové /  $< 1V$  /, takže sú plne otvorené T17 a T18 a za prvým odporom uvedeného deliča už spadne napätie na 0,75 až 1,5 V, čo je potrebné pre vodivosť bázových diód T17 a T18. Tým však bude napätie na báze T20 tak nízke, že tento tranzistor vôbec alebo temer vôbec nezmiení kolektorový prúd T21, a zosilnenie T6/T7 bude maximálne.

Na bod 16 TCA 640 prichádza napätie ACC z IO TBA 540, kde sa vytvára tým väčšie, čím slabší je signál ssf. Pri  $U_{ACC} < 0,7 \text{ V}$  TCA 640 zosilňuje najmenej a zosilnenie stúpa až do  $U_{ACC} \text{ ca. } 1,5 \text{ V}$ . Pri slabom signále teda sa viac otvorí T19, napätie na jeho kolektore a tým na báze T20 klesne, takže emitorové napätie T21 bude nízke a diferenciálny zosilňovač T6, T7 bude viac zosilňovať. T21 je tu emitorovým odporom, na ktorom vzniká záporná spätná väzba, pretože signál prichádza len na bázu T6 a báza T7 je pre vf uzemnená. Pri najslabších signáloch vhodných ešte pre prenos farby, bude v bode 16 asi 1,5 V. Keď vôbec nebude ssf vysielaný, príde na bod 16 TCA 640 napätie  $\geq 2,5 \text{ V}$ .

Toto napätie stačí na otvorenie T 47; cez odpor medzi jeho emitorom a bázou T58 sa otvorí tento tranzistor na výstupe č.8 tak, že napätie privádzané na bod 8 cez vonkajšie odpory vo vetve regulácie sýtosti bude prakticky nulové. /Viď aj funkciu T56/57 na konci kapitoly! /

Pri Secame a veľmi nízkom farebnom alebo Č/B signále stačí, aby sa znížil alebo zanikol rozdiel napäťia na špičkách 9 a 10 tohto IO k tomu, aby sa mierne otvoril T53, čo stačí pre bázu T46 po

zosilnení prúdu v T44 a T45 na otvorenie T46 a z jeho emitora aj T58. V bode 16 je pri Secame napätie nulové a neruší sa teda činnosť T46. Naopak, pri správnej fáze bistabilného klopného obvodu voči dostatočne silným identifikačným impulzom, sú T53, T44,45,46 uzavreté a s nimi i T58, takže v bode 8 je asi +6 až 8 V z vonkajšieho zdroja podľa nastavenia potenciometra farebnej sýtosti RVŠ1. Aby i pri rovnosti napäti na vývodoch 9 a 10 MCA 640 normálne pracoval obvod flip-flop, musia byť - pri jeho správnej fáze - T46 a T 51 zavreté. To zabezpečuje T 55, ktorý pri napäti > 0,5 V v bode 16 odvádza prúd T 45, takže sa nemôže otvoriť T 46.

Pri nesprávnej fáze bistabilného obvodu príde od TBA 540 pri príjme Pal na šp. 16 TCA 640 napätie asi +10V, čo až do úpravy fázy prepínača "Pal" tak isto zavrie saturovaním T58 výstup 8.

S ohľadom na to, že vysielače Pal niekedy používajú vertikálny zatemňovací impulz na vysielanie signálov tzv. teletextu, nie je vhodné prepínať na výstup pre ssf, šp. 13 IO TCA 640, signál od vstupu differenčného zosilňovača /ako pri Secam/. Preto v zapojeniach Tesly Orava a v upravenom zapojení FTVP 110 - In Line 4413 je zabránené privádzaniu vertikálnych zatemňovacích impulzov na bod 7 TCA 640. Z toho dôvodu je medzi tento bod a zem zapojený tranzistor KC 147, ktorý pri príjme Pal dostane tak vysoký bázový prúd, že s predradeným odporom z výstupu 13 impulzovej doštičky "6" sa saturovaním tranzistora KC 147 vertikálne klúčovacie impulzy vyradia.

Pri dočasne nulovom napäti v bode 16 a príjme Pal je zavretý differ. zosilňovač, čo cez TBA 540 /pre neprítomnosť ssf/ spôsobí priveďenie zatváracieho napäťa, takže v bode 8 bude opäť nula.

Avšak aj bez účinku TBA 540 sa vtedy prepne v bode 8 na nulu ako keď pri Secame neprichádza dostatočný identifikačný signál, pretože nebude rozdiel napäťa v bodoch 9 a 10; T 53 bude otvorený a s ním i T 46, pretože na báze T 55 bude nulové napätie. Aby prepínanie T 51 a T 58 prebiehalo okamžite, bez prechodných javov, oneskorujú T 56 a T 57 ich otvorenie do určitej hodnoty prúdu T 46, resp. T 47.

#### Popis činnosti integrovaného obvodu TCA 650 pri SECAM

Najdôležitejšou funkciou integrovaného obvodu TCA 650 je demodulácia farbonosného signálu. Pred demoduláciou je však treba rozdeliť dva postupné signály  $E_{R-Y}$ ,  $E_{B-Y}$ ,  $E_{R-Y} \dots$  na dva súčasné signály a to  $E_{R-Y}$ ,  $E_{R-Y}$ ,  $E_{R-Y} \dots$  a  $E_{B-Y}$ ,  $E_{B-Y}$ ,  $E_{B-Y} \dots$ .

Preto sa na integrovaný obvod TCA 650 privádza z integrovaného obvodu TCA 640 jeden signál priamo - na vývod 1 a druhý signál cez ultrazvukové oneskorovacie vedenie /DL 710/, kde sa signál oneskorí s ohľadom na presnosť nutnú pre Pal o 63,943  $\mu$ s, na vývod 3. Aby bolo možné dostaviť i vstupné signály na rovnakú úroveň, je v ceste priameho signálu zapojený odporový trimer 4RV2, ktorým sa toto nastavenie robí.

Rozdelenie farbonosných signálov sa robí pomocou prepínača "Secam", ktorý je ovládaný signálom z bistabilného klopného obvodu flip-flop, polovičnej riadkovej frekvencie  $f_{H/2}$ . Tento signál sa privádza na vývod 16 z TCA 640, šp. 12 cez 4-C19 100nF.

Demodulátory sú koincidenčného typu. Preto každý z demodulátorov má dva vstupy, na ktoré sa privádza jeden signál priamo a jeden signál fázove ovplyvňovaný v závislosti na jeho frekvencii. Preto sú výstupné signály z prepínača Secam vyvedené von z integrovaného obvodu na vývody 15 a 13 (s js napäťím). Na vývode 15 máme k dispozícii signál  $E_{B-Y}$  a na vývode 13 signál  $E_{R-Y}$ .

Vstupy demodulátora rozdielového signálu B-Y sú na vývodoch 9 a 8, vstupy demodulátora rozdielového signálu R-Y sú na vývodoch 11 a 5. Pre priame pripojenie signálov bez js napäťia na vývody 9 a 11 sú použité väzobné kondenzátory C27 a C29 /4n7/. Na druhé vstupy demodulátorov /vývody 8 a 5/ je treba privádzať signály tak, aby pri frekvencii nemodulovanej nosnej vlny, tj. 4,250 MHz pre signál  $E_{B-Y}$  a 4,406 MHz pre signál  $E_{R-Y}$ , bol fázový posuv práve  $90^\circ$ . Tento fázový posuv sa mení v závislosti na frekvenčnom zdvihu frekvenčne modulovaného signálu.

Toto sa dá dosiahnuť jednoduchým ladením obvodom v spojení s kondenzátorom väčšej reaktancie. Ako je známe z teórie rezonančných obvodov, je impedancia paralelného obvodu v rezonancii čisto ohmická. Potom, v prípade rezonancie, sa tento fázovací článok zredukuje na článok CR. Kondenzátory týchto článkov sú C26 a C30 /27 pF/, ladené obvody vytvárajú F 111 - 4L7 /pre B-Y/ a F 111 - 4L8 /pre R-Y/.

Pre frekvencie iné, napríklad nižšie ako  $f_{res}$ , dochádza k zväčšeniu fázového posunu o hodnotu priamo úmernú frekvenčnému zdvihu  $- \Delta f$  /prevláda vplyv indukčnosti/.

Obdobne pre frekvencie  $f > f_{res}$  sa uplatňuje viacej kapacita ladienia obvodu a fáza sa o príslušnú hodnotu zmenšuje. Vonkajšie súčiastky tak spĺňajú podmienky pre činnosť koincidenčného demodulátora.

Výstupy demodulátorov sú na vývodoch 10 a 12 a to rozdielový signál B-Y na vývode 10 a rozdielový signál R-Y na vývode 12.

Paralelne k ladeným obvodom fázovacích článkov sú zapojené odporové trimre 4-RV3, 4-RV4, pomocou ktorých je možné meniť strmosť fázovej charakteristiky ladeného obvodu a tým riadiť amplitúdu výstupných demodulovaných signálov.

Obidva demodulátory sú zhodné. Líšia sa len v usporiadanií vstupov vo vnútri integrovaného obvodu preto, aby demodulačná charakteristika demodulátora R-Y bola zrkadlovým obrazom demodulačnej charakteristiky B-Y. To preto, že pre prenos signálov Secam platia vzťahy:

$$\begin{aligned} D_R' &= -1,9 \cdot /E_R' - E_Y'/ \\ D_B' &= +1,5 \cdot /E_B' - E_Y'/ \end{aligned}$$

Výstupné demodulované rozdielové signály z vývodov 10 a 12 sa najskôr vedú na dolné prieplusty 9-C1, L 1, C 4 a 9-C2, L 2, C 3, aby sa tu potlačili nežiadúce vf zložky, tj. predovšetkým zvyškové farbonosné vlny. RC články zapojené za dolnými prieplustami, tj. 9-RV1, C 5, R 2 a 9-RV4, C 7, R 5 predstavujú obvody tzv. nf deemfáze, ktorými sa kompenzuje zvýraznenie vyšších kmitočtov v obvodoch pre-emfáze na vysielacej strane. Účinok tohto usporiadania je rovnaký ako u FM rozhlasu - zlepšenie pomery signál/šum pri vyšších modulačných frekvenciách. Tieto články deemfázy sú pripájané cez diódy 9-D1 a 9-D4, otvorené pri Secam približne nulovým napäťim na katódoch.

#### Podrobnejšie o spracovaní signálu Secam v TCA 650

Pri vysielaní podľa Secam sú medzi inými zavreté tranzistory T 3, T 5, T 6, T 8, T 50, T 51, T 64 a T 70. Tiež T 48 je zavretý cez T49.

Pri riadku so signálom  $D_R'$  na vstupe pre priamy signál /1/ musí prepínacie napätie  $f_H/2$  otvárať tranzistory T 31, T 32, tj. byť v kladnej polperiode. Cez T 2, T 4 a T 31 prichádza signál  $D_R'$  na T 45 a ďalej na výstup 13. Súčasne je na vstupe pre oneskorený signál /3/ modulovaná nosná vlna /B-Y/,  $D_B'$ . Cez T 9, T 7 a T 32 prichádza signál  $D_B'$  na T 49 a ďalej na výstup 15.

V nasledujúcom riadku je na vstupe 1 signál  $D_B'$  a otvorené sú tranzistory T 30, T 33. Signál  $D_B'$  sa tak dostáva cez T 30 opäť na výstup 15. Súčasne cez vstup 3 prichádza oneskorený signál  $D_R'$  a cez T 33

ide na výstup 13.

Na vstupe 3 je signál v inej fáze voči signálu na vstupe 1, pretože výstupy z TCA 640 dodávajú signály navzájom v protifáze a cez oneskorovaci linku dochádza k ďalšiemu natáčaniu fázy v závislosti na kmitočte. To však nemá u FM signálu vplyv na výsledok demodulácie.

Cez vstup 11 prichádza signál  $D_R'$  na bázy T 60, T 61. Referenčný signál s fázou natočenou o  $90^\circ + \Delta\varphi$  prichádza do bodu 5, tj. na bázu T 69. Tranzistory T 76, T 70 sú pri Secam zavreté. Pri kladnej polvlnie v bode 11 predchádza prúd cez T 69 napätie na báze T 61 napr. o  $90^\circ$ . Koincidencia nastáva pri prvej štvrtvlnie signálu v bode 11 a prostredníctvom T 68 a T 59 pri tretej štvrtvlnie.

Signál  $D_B'$  je privádzaný na rozdiel od signálu  $D_R'$  na dvojicu T 54, T 57 /"vonkajšiu" podľa usporiadania schémy/, a nie na T 55, T 56. Pri Secam sú uzavreté T 72 a T 64. Pri kladnej polvlnie na vstupe 9 je zavretý T 56, pripojený na zaťažovací odpór, otvorený je zato T 54, do ktorého dodáva prúd tranzistor T 65, ale v opačnej fáze než je signál  $f_{ref}$  /Secam/ na vstupe č.8. /Kladná polvlna prúdu v T 66 pôsobí cez spoločný prúdový zdroj T 76 zápornú polvlnu prúdu T 65/. Koincidencia nastáva pri 2. a 4. štvrtvlnie signálu na vstupe 9. Pri posuve fázy inom než  $90^\circ$  v obvodoch F 111 podľa frekvenčnej modulácie signálu bude preto opačná polarita výstupného napäťia farbového signálu na výstupe pre R-Y /12/ proti výstupu B-Y /10/, ako to vyžaduje spôsob vytvárania signálov  $D_R'$  a  $D_B'$ .

#### Demodulátor PAL v IO TCA 650

Priamy i oneskorený signál Pal prichádzajú na tie isté body, ako pri Secam, to je bod 1 a 3. Fázový posuv o pol peródy =  $180^\circ$  cez oneskorovaci linku, daný normou Pal, je vyrovnaný tým, že na výstupoch 1 a 15 TCA 640 je tiež signál v protifáze.

Vstupný diferenciálny zosilňovač pre priamy signál tvoria tranzistory T 2, T 3 a T 16 a pre oneskorený signál tranzistory T 9, T 8, T 24. Príslušné prepnutie zo Secam na Pal, tj. zapnutie niektorých tranzistorov a vypnutie druhých, zabezpečuje prítomnosť kladného napäťia na bode 4 TCA 650, cca. 3,5 V.

Pre Pal B-Y (kvôli jednoduchosti uvádzame toto skrátené označenie pre chrominančný, tj. amplitúdovo-fázové modulovaný farbonosný signál s potlačenou nosnou vlnou, odpovedajúci systému Pal) je fáza vstupného priameho i oneskoreného signálu vždy rovnaká, preto je treba tieto dva signály spolu spočítať /česky "sečiť"/. Z toho dôvodu ďalší diferenciálny zosilňovač pre signál Pal B-Y, T51-T50, má v spoločnej emitorovej vetve zapojené tranzistory T3 a T8. Na tieto tranzistory prichádza signál zo vstupných tranzistorov T2 a T9 prostredníctvom "emitorových" tranzistorov T16 a T24, zdrojom stáleho prúdu. Pretože tranzistor T49 je pri Pal zavretý /prostredníctvom saturovaného T35/, nedostáva sa na kolektorový pracovný odpor tranzistora T51 žiadny signál z prepínača "Pal", ktorý je u TCA 650 totožný s prepínačom "Secam" /T30 až T33/. Z kolektora T51 prechádza Pal signál  $F_U/B-Y/$  na výstup 15 ako u vysielaní Secam cez emitorové sledovače T52,53. Signál Pal R-Y na vstupe 3 je v protifáze proti tomuto signálu na vstupe 1, preto sa súčtom z T3 a T8 vyruší.

Na "VF" výstup R-Y, bod 13, musí byť dodávaný signál, ktorý správne obracia fázu o  $180^\circ$  pri každom riadku, pretože medzi priamym a oneskoreným signálom je zložka R-Y v protifáze. Na tranzistory T2 a T9 je preto pripojený diferenciálny zosilňovač T5,T6,T17, zavretý pri Secam. T2 a T9 tu pracujú ako emitorové sledovače. Ako u každého diferenciálneho zosilňovača, je signál na kolektoroch T5 a T6 rozdielovým signálom, tj. kladná polvlna na báze T5 spôsobí zápornú polvlnu  $U_{BE}$  T6, teda prevracia účinok signálu, ktorý prichádza na bázu T6 z emitora T9. Pri rovnakom signále /rovnakej polarity/ na obidvoch vstupoch diferenciálneho zosilňovača bude signálne napätie na kolektoroch T5 a T6 nulové. V našom prípade sú napätia  $U_1$  a  $U_3$  na vstupoch 1 a 3 u zložky R-Y v protifáze, preto na kolektoroch T5 a T6 bude súčet napäti u zložky R-Y a rozdiel napäti u zložky B-Y. Táto sa preto vyruší a zložka R-Y bude dvojnásobná. Napätia na kolektoroch T5 a T6 sú navzájom v protifáze a úlohou prepínača Pal je pripojiť na výstup R-Y tento dvojnásobný vf signál v správnej fáze. Pri úrovni "HI" /vysoká/ prepínacieho napäti na bázach T31 a T32 prejde na výstup - tranzistor T45 - signál z kolektora T5, pri úrovni "LO" /nízka/, teda zavretom T31,32 a otvorených T30,33, signál z kolektora T6. Keďže tranzistor T49 je pri Pal zavretý, neprejdú tieto signály na výstup B-Y. /U Pal otvorený T48 nemá v kolektorovej vetve, podobne ako T50,

žiadny pracovný odpor a slúži k udržiavaniu rovnakej priemernej úrovne signálu ako u Secam, kde sa signálne prúdy "nesčítajú".

Udržiavanie prepínacieho napäťia v správnej fáze je úlohou IO TBA 540, ktorý pri nesprávnej fáze vyšle na vstup ACC, bod 16, TCA 640, príslušne vysoký impulz kladného napäťia, ktorý spôsobi opravu fázy preklápania bistabilného obvodu v TCA 640. Z pracovného odpora v kolektorovom obvode T 45 prechádza signál cez emitorový sledovač T 46, T 47 na "VF" výstup R-Y, bod 13 TCA 650.

Pre demoduláciu týchto signálov potrebujeme, aby na vstup č.7 prichádzal referenčný signál Pal /4,433618 MHz/ B-Y a na vstup č.6 referenčný signál Pal R-Y v správnej fáze /signály natočené navzájom o 90°/. Tento referenčný signál, obnovený farbonosný kmitočet s niekolkonásobne vyššou amplitúdou proti signálom "B-Y" a "R-Y" z výstupov 15 a 13, dodáva IO TCA 540 s obvodmi k nemu pripojenými. /Vysoká amplitúda obnovenej nosnej znižuje na minimum skreslenie vznikajúce pri detekcii signálu s potlačenou nosnou vlnou a s nesúmernou šírkou postranných pásiem/.

Podobne ako u Secam , prichádza signál zbavený js napäťia z výstupov 15 a 13 na vstupy demodulátora 9/B-Y/ a 11/R-Y/ cez kondenzátory 4n7. Tento signál má potlačenú nosnú vlnu a detekuje sa tak, že z TCA 540 prichádza obnovená nosná vlna v správnej presnej fáze /synchronizovaná signálom SSF = "burst"/ na bázu tranzistora T64 /B-Y/ bod 7 TCA 650 resp. T70 /R-Y/ z bodu 6. Demodulátor Pal pracuje už potom podobne ako u Secam, s nasledujúcimi rozdielmi :

- a/ miesto T66, T69, ktoré sú teraz zavreté, pracujú T64 a T70
- b/ obnovený nosný kmitočet, privádzaný na bázy týchto tranzistorov, má stálu, avšak navzájom o 90° posunutú fazu
- c/ demodulátor nie je koincidenčného typu, ale zmiešovacieho - multiplikačného typu /synchrónny demodulátor/, teda amplitúda na výstupe odpovedá modulačnej obálke AM signálu pred potlačením nosnej vlny. /Ináč však pracuje podobne - napr. T54 je rovnako budený jedným signálom, tu Pal B-Y s potlačenou nosnou vlnou, do bázy a druhým signálom - obnovenou nosnou farbou - do emitora/.

Poznámka: na schéme IO MCA 650 na str.31 popisu FTVP Univerzál je treba doplniť bodku pre spojenie emitora T64 a kolektora T76 s emitormi T65 a T66, taktiež pri bázach T60,61.

Ďalšie spracovanie demodulovaného signálu Pal na doštičke NF, č.9 je podobné, až na to, že tu neexistuje žiadna deemfáza. Napäťim z prepínača Pal sú otvorené diódy D2 a D3 a zatvorené D1 a D4 na uvedenej doštičke "9". Potenciometrami 9-RV2 a 9-RV3 sa nastavuje amplitúda demodulovaných signálov B-Y a R-Y.

#### Podrobnejšie o Pal demodulátore v TCA 650

Ako sme už uviedli, referenčný kmitočet Pal prichádza na demodulátor bez prepínania fázy referenčného kmitočtu pre R-Y, táto je stála a o  $90^\circ$  posunutá proti fáze referenčného kmitočtu pre B-Y. Prepínaním v prepínači Pal/Secam - T30 až T33 - je zabezpečené, že i signál Pal R-Y s potlačenou nosnou vlnou prichádza na demodulátor v stále rovnakej fáze, bez o zmien fázy o  $180^\circ$  medzi dvoma riadkami. V demodulátore v TCA 650, pozostávajúcim pre signál Pal B-Y z tranzistorov T54 až T57, T65, T64 a zdroja prúdu T76, slúžia pre získanie výstupného signálneho napäťia /nf/ tranzistory T54 a T56, pričom T55 a T57 slúžia pre prenos signálu medzi tranzistormi pripojenými priamo na signálne napätie a druhými dvoma. Tranzistor T66, ktorý pracuje pri Secam, je pri Pal zavretý. Podobné je i zapojenie demodulátora pre signál Pal R-Y.

Pre ľahšie sledovanie schémy IO TBA 540 uvádzame, ktoré tranzistory sú zopnuté pri Pal a ktoré sú zatvorené - pri Secam je to opačne:

otvorené: T 12, 14, 17, 19, 25, 3, 5, 6, 8, 35, 48, 50, 51, 72,  
64, 76, 70

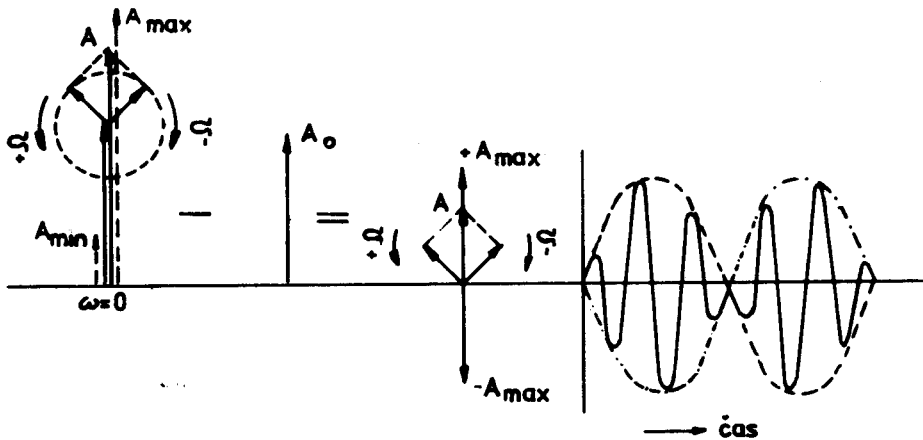
zavreté: T 13, 15, 4, 21, 23, 7, 34, 43, 44, 49, 73, 66, 75, 69

Zo schémy sa dá vyčítať, ako otvorenie určitého tranzistora spôsobí zatvorenie druhého, alebo otvorenie ďalšieho - pri pomoci farebnej ceruzky pre prehľadnosť je pomerne ľahké toto vysledovať.

Pokiaľ neprichádza na bázu T64 signál, T65 má rovnaký prúd ako T64 a ich súčet je  $I_C$  tranzistora T76. Pri budení T64 referenčným signálom Pal, ktorý má pre čo najlepšie odstránenie skreslenia veľkú amplitúdu, sa ním striedavo otvárajú a zatvárajú T64 a T65, pričom ich prúd je pri otvorení rovný T76 /katalógové

hodnoty pre referenčné vstupné signály Pal sú 0,5 až 1,5 V<sub>šš</sub>/.

Aby sme lepšie "videli do funkcie" demodulátora, zopakujeme si tvar amplitúdovo modulovaného signálu pri potlačenej nosnej vlnie: jeho modulačná obálka pozostáva pri sínusovom budení z dvoch sínusoviek opačnej polarity a vf signál po každej polvlnie modulačného signálu prechádza do opačnej fázy, takže sa posledná polvlna vf signálu na konci polvlny modulačného signálu opakuje čo do fázy.



Podľa zobrazenia modulovaného signálu s potlačenou nosnou si rozdelíme pochod do viacerých fáz, podľa vf signálu:

1.  $U_{sig}$  je napr. kladné a pri maxime kladnej polvlny má hodnotu napr. 10 mV.  $U_{ref}$  je kladné. T64 je otvorený, T65 zavretý. Prúd môžu viest iba T56 a T57.  $U_{sig}$  spôsobí zvýšenie prúdu T57 napr. o 0,1 mA, a  $I_{64} = I_{76} = 1 \text{ mA}$ . Bez signálu malí T56 a T57 po 0,5 mA, teraz bude mať T57 0,6 mA a T56 0,4 mA. Na pracovnom odpore  $R_L$  v kolektorovej vetve T56, T54 sa zvýší napätie napr. o 0,1 V, čo je dané znížením  $I_{56}$  o 0,1 mA. /Ide o zmenu proti kladnému j.s napätiu bez signálu/.
2.  $U_{sig}$  je záporné s hodnotou 20 mV pri maxime. Kmitočet referenčnej vlny je rovný kmitočtu signálu /ktorý je však možné rozložiť do dvoch postranných pásiem s kmitočtom  $f_s - f_{mod}$  a  $f_s + f_{mod}$  - napokon zmiešaním týchto kmitočtov s referenčným  $f_s$  dostávame rozdielový kmitočet  $f_{mod}/$ , takže aj  $U_{ref}$  je záporné. Vedú T65, T54 a T55. Na báze T54 je záporný signál, jeho prúd bude napr. o 0,2 mA nižší než prúd T55. Na pracovnom odpore  $R_L$  stúpne napätie o 0,2 V. Vidíme, že druhá polvlna signálu, hoci záporná, dala kladné napätie na výstupe rovnako

- ako prvá, kladná polvlna. /Pozn.: v ďalšom teste je  $U_s = U_{sig.}$ /
3. Kladná polvlna  $U_s$ , s amplitúdou napr. 0,25 V, dá opäť cez T56 zvýšenie  $U_{výst}$  o 0,25 V atď. Vidíme, že "kreslíme" napäťím na  $R_L$  kladnú polvlnu modulačnej obálky, jej záporná polvlna bola zapojením "preklopená" do plusu.
  4. Po poslednej zápornej polvlnie  $U_s$  na konci prvej modulačnej polvlny, ktorá dala napr. kladné napätie 0,1 V na  $R_L$ , príde opäť záporná polvlna  $U_s$  zo začiatku zápornej polvlny modulačného signálu,  $U_{ref}$  je však ďalej kladný /ako pri každej nepárnej polvlnie signálu/. Preto povedie T56 a bude mať prúd o 0,1 mA vyšší než pri nulovom napäti signálu, pretože  $I_{57}$  sa zápornou polvlnou signálneho napäťia znížil a s ohľadom na spoločný emitorový odpor tvorený "klúčovaným zdrojom prúdu" T64 sa príslušne musí zvýšiť  $I_{56}$ . Na  $R_L$  vznikne pokles napäťia.
  5. Podobne pri ďalšej polvlnie, kedy je  $U_s$  kladné, ale otvorený je T54 s T55, zvýši sa  $I_{54}$  a vytvorí príslušne veľké záporné napätie spädom svojho kolektorového prúdu na  $R_L$ . "Kreslíme" zápornú polvlnu modulačného signálu.

Rozdiel proti detektoru FM /koincidenčnému/ je v tom, že referenčný signál je striedavo buď úplne vo fáze alebo v protifáze s napäťím Pal B-Y signálu /chrominančného signálu/. Ďalší samozrejmý rozdiel je v premenlivej amplitúde signálu a v jeho stáлом kmitočte proti FM signálu u Pal.

Preveríme si, či pre riadnu demoduláciu Pal je nutné, aby vždy boli striedavo úplne zatvárané a otvárané tranzistory T65, T64. Keď pri kladnej polvlnie na bázach T64 a T57, 54 tečie kladná polvlna prúdu cez T64 a T57, cez T56 tečie záporná polvlna. To dá kladnú polvlnu napäťia na  $R_L$ , tj. napätie v bode 10 bude stúpať. Zvýšený  $I_{T57}$  spôsobil zníženie  $I_{T56}$ , pričom o amplitúde prúdov rozhoduje amplitúda signálu na báze T57 i na T64. Čez dvojicu T54, 55 tečie menší prúd než cez dvojicu T56, 57, ale zavreté nie sú, keďže tu ide len o prípad zníženého budenia do bázy T64 a T65 zostáva niečo otvorený. T54 má kladný signál na báze. Preto prúd cezeň bude súčasťou nízkej hodnoty prúdu z prúdového zdroja T65, ale bude v kladnej fáze. Vidíme, že sa znižuje amplitúda napäťia na  $R_L$  pri nezmenenej amplitúde signálu na vstupe 9 a teda účinnosť demodulácie.

Pre správnu účinnosť demodulátora je teda treba, aby referenčný kmitočet privádzaný na vstup 7 mal značnú amplitúdu tak, aby prúdy cez T64 a T65 mali prakticky obdĺžnikový tvar, inými slovami, aby demodulátor bol referenčným kmitočtom klúčovaný, čo zapojenie spíňa.

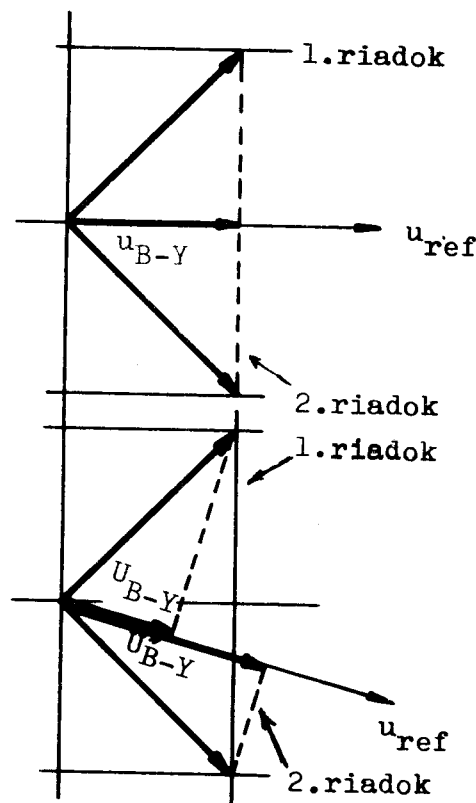
Vysvetlenie nastavovania fázy referenčného farbonosného kmitočtu u Pal na minimálne rozdiely amplitúd signálov /R-Y/ a /B-Y/ u dvoch susedných riadkov pri skratovanom vstupe pre oneskorený signál na MCA/TCA 650

Pri neprítomnosti oneskoreného signálu sa nemôže na výstupe vf signálu B-Y, bod 15/TCA 650, vyrušiť zložka R-Y, takže na ňom dostávame nielen amplitúdove, ale aj fázove modulovaný signál. Na tento výstup prichádza totiž súčtový signál zo vstupov 1 a 3. Vf signály na týchto vstupoch sú vzájomne vo fáze, pretože fázový posuv o  $180^\circ$ , ktorý vzniká v oneskorovacom vedení Pal /doba oneskorenia je rovná nepárnemu počtu polvín farbonosného kmitočtu/ vyrovnáva protifázovosť výstupných signálov z bodov 1 a 15 MCA/TCA 640. Kedže zložka R-Y sa riadok od riadku mení vo fáze o  $180^\circ$ , vyruší sa súčtom obidvoch signálov, priameho i oneskoreného. Bez oneskoreného signálu tam zostáva, na výstupe je fázove modulovaný signál.

Podobne bez oneskoreného signálu sa nemôže na výstupe vf /R-Y/ bod 13 vyrušiť súčtová zložka. Normálne totiž na výstup 13 prichádza rozdiel signálov z bodov 1 a 3, takže sa zložka B-Y zruší, ale bez signálu na vstupe 3 zostáva. Prepínačom Pal /T30-33, T31-32/ sa prepína signál smerujúci na výstup 13 i bez signálu na vstupe 3 tak, že pre každý riadok má zložka R-Y rovnakú fázu, ale kedže zostáva i zložka B-Y, je signál v bode 13 fázove modulovaný. Zložka R-Y sa prepína do rovnakej fázy medzi dvoma riadkami, ale zložka B-Y sa prepína s ňou, takže sa jej fáza na výstupe od riadku k riadku mení o  $180^\circ$ .

Na obidvoch výstupoch teda dostávame fázove modulované signály, ktoré vplyvom striedania zložky /R-Y/ vo fáze o  $180^\circ$  sú raz natočené napr. voči vektoru signálu /B-Y/, ktorého fázu v pôvodnom priamom signále môžeme považovať za nulovú, o určitý uhol  $+\varphi$  a v ďalšom riadku o  $-\varphi$ .

Ak je referenčný kmitočet /obnovená nosná Pal/ presne vo fáze alebo presne v protifáze so zložkou B-Y, bude medzi dvoma susednými riadkami zachovaný rovnaký rozdiel fázy iba s opačným znamienkom, a preto sa amplitúdy rozdielového signálu B-Y nebudú medzi riadkami meniť. Rovnako je tomu so zložkou R-Y, kde samozrejme musí byť referenčný kmitočet natočený o  $\pm 90^\circ$  proti referenčnému kmitočtu pre B-Y. Pri nesprávnej fáze referenčných kmitočtov bude výsledný signál, vzniklý zmiešavaním v demodulátore, napr. pri párných riadkoch mať vyššiu amplitúdu, než pri nepárných, vid' nižšie uvedené vektorové diagramy.



## Integrovaný obvod TBA 540

I.O. TBA 540 zabezpečuje signály, ktoré musia byť dodávané na integrované obvody TCA 640 a TCA 650 pri príjme Pal po prepnutí na tento systém napäťom +12V z prepínača Sec/Pal. TBA 540 je uvádzaný do chodu tiež týmto prepínacím napäťom, ktoré sa privádza na jeho vývod č.3. Pre zosilňovač farbonosného signálu v TCA 640 dodáva TBA 540 regulačné napätie /ACC/, t.j. +0,8 až 1,5 V na bod 16/TCA 640, a ovláda i prepínanie klopného obvodu  $f_H/2$  v tomto IO tak, že na bod 16 príde pri nesprávej fáze klopného obvodu napätie ca. +11V. Podobne sa ovláda i odpojovač farby. Na TCA 650 sa privádzajú z IO TBA 540 obnovené nosné frekvencie, ako je uvedené v predošej kapitole. TBA 540 má tiež obvod pre odpojovanie farby, ktorý nie je u televízora Color In Line využívaný - je už v TCA 640.

Pre svoju prácu dostáva TBA 540 synchronizačný signál farby /burst, ssf/ a signál klopného obvodu  $f_H/2$  /flip-flop/ z TCA 640. Burst sa privádza na vývod 5, meandrovitý signál  $f_H/2$  na vývod 8.

## Demodulátor synchronizačného signálu farby

Synchronizačný signál farby vybratý z farbonosného signálu v TCA 640 sa privádza na integrovaný obvod TBA 540 cez člen 7-L2 - 7-C2, ktorým sa nastavuje jeho fáza. Demodulátor ssf -T26,27,28 - je koincidenčného typu. Aby vývodom 13 mohol tieť prúd, musia napäťia na vstupe ssf /vývod 5/ a na vstupe "referenčného signálu" - obrovnej nosnej vlny  $f_{ref}$  /vývod 6/ súčasne byť kladnej polarity. Pre prúd vývodom 14 platí analogicky to isté, pri opačnej polarite  $f_{ref}$  na vstupe /4/. V dobe vysielania ssf tečú vývodmi demodulátora 13 a 14 impulzné prúdy, ktorých šírka impulzu závisí na fázovom rozdieli medzi ssf a  $f_{ref}$ . Synchronizačný signál farby je vysielaný riadok od riadku striedavo s fázovým rozdielom  $+45^\circ$  a  $-45^\circ$  voči chrominančnému signálu  $-B-Y$ . Stredná fáza ssf teda predchádza chrominančný signál  $+R-Y$  o  $90^\circ$ . V prípade, že na vstupoch demodulátora je referenčný signál s fázou, odpovedajúcou chrominančnému signálu  $/R-Y$  - na vstupe 4 teda vo fáze  $+R-Y$  a na vstupe 6 vo fáze  $-R-Y$  - dostávame striedavo riadok od riadku na obidvoch výstupoch demodulátora, 13 a 14, rovnako veľké prúdové impulzy, ktoré obsahujú zložku  $f_H/2 = 7\ 812,5$  Hz. Pomocou vonkajšieho dolnofrekvenčného prieplatu vznikajú na obidvoch výstupoch demodulátora dva priebehy napäti o kmitočte  $f_H/2$ , navzájom posunuté o dobu 1 riadku. Rozdiel napäti medzi vývodmi 13 a 14 má však v prípade uvedených fázových pomerov strednú hodnotu rovnú nule.

Pri fázovej odchýlke vzniká medzi vývodmi 13 a 14 stredné napätie, úmerné rozdielu fázy. Toto napätie sa používa k dolaďovaniu kmitočtu a fázy referenčného oscilátora.

Napätie  $f_H/2$  na výstupe demodulátora synchronizačných impulzov farby spĺňa ďalšie úlohy, ako sú popísané v odstavcoch Farbové AVC, Identifikácia Pal a odpojovač farby.

#### Vytváranie referenčnej nosnej vlny

Oscilátor referenčnej nosnej vlny  $f_{ref}$  je zosilňovač so spätnou väzbou, realizovanou trojbodovým obvodom, ktorý pozostáva z kryštálu Q v sérii s kondenzátorom C7 a z kapacitného deliča C8, CV2. Kryštál má menovitý kmitočet 4,433618 MHz a dáva oscilátoru potrebnú frekvenčnú stabilitu. Od vývodu oscilátora, bod 4, je vlastný oscilátor oddeľený pre vylúčenie spätného pôsobenia emitorovým sledovačom T7. Kapacitným trimrom CV2 sa dolaďuje kmitočet oscilátora, ktorý musí zostať v medziach sériovej a paralelnej rezonancie kryštálu, čo kapacitné ladenie zabezpečuje. Zatiaľ z dôvodu prehľadnosti neberieme do úvahy pôsobenie synchronizačného obvodu: môžeme si predstaviť, že vývod 2 je spojený s kostrou - vývodom č.16. Medzi bodmi 2 a 16 zapojený nízkoohmový výstup emitorového sledovača T12 má význam len z hľadiska dolaďovania kmitočtu.

Bloková schéma integr. obvodu TBA 540 ukazuje súvislosť medzi demodulátorom ssf, dolaďovacím obvodom a oscilátorom. Napätie  $u_1$  na kondenzátor C8 sa privádza z vývodu 15 cez emitorový sledovač na vývod 4 a odtiaľto cez vf transformátor L1 na vývod 6. Týmto transformátorom sa signálne napätie  $f_{ref}$  otáča o  $180^\circ$  voči napätiu na vývode 4. Z vývodov 4 a 6 sa referenčný signál privádza na vstupy demodulátora ssf vo vzájomne opačnej fáze. Signálne napätie sa ďalej z vývodu 6 viedie na zosilňovač /T29,T18,T19/, ktorého zosilnenie označíme A. Toto zosilnenie sa mení v závislosti na regulačnom napäti medzi vývodmi 13 a 14, ktoré získavame v demodulátori ssf. Zosilnenie sa mení tak, že v závislosti na rozdieli napäti medzi bázou T18 a T19 prechádza tranzistorom T18 väčší alebo menší prúd so striedavou zložkou  $f_{ref}$ , pri čom je  $i_{18} + i_{19} = i_{29}$ . V riadenom zosilňovači sa napätie  $u_1$  ďalej otáča o  $180^\circ$ , takže výstupné napätie  $u_2 = A \cdot u_1$  má rovnakú fázu voči kostre ako  $u_1$  v bodoch 15 a 4. Napätie  $u_2$  sa privádza cez emitorový sledovač T12 na vývod 2 a teda aj na kondenzátor CV2, na ktorom sa má prejavit jeho účinok. Namiesto napäťia  $u_2$  si na vývode 2 môžeme

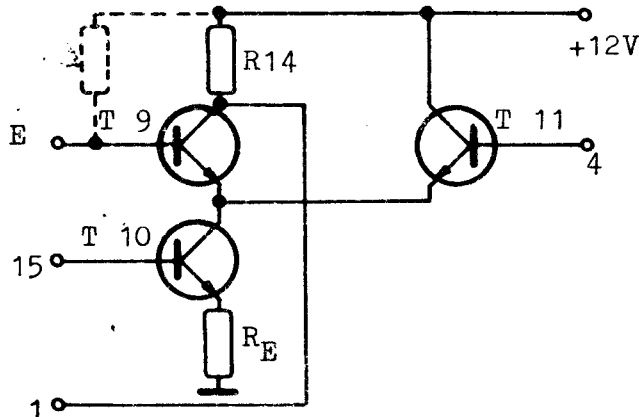
predstaviť tiež zosilnením A ovplyvňovanú náhradnú indukčnosť, lebo

1. napätie na tomto " $X_L$ " je zviazané s napäťom  $u_1$  na C8 vztahom  
 $u_2 = A \cdot u_1$
2. v sériovom ladenom obvode C8, Q1, C7, CV2 spolu s náhradnou indukčnosťou /ktorú si predstavujeme ako zapojenú z bodu 2 na kostru/ je napätie  $u_2$  na náhradnej indukčnosti voči napätiu  $u_1$  na kondenzátore C8 v protifáze
3. prúd v oscilačnom obvode čo do amplitúdy nezávisí na tejto indukčnosti a teda zmena napäťia na nej znamená zmenu jej reaktancie, teda hodnoty L.

/Rovnako dobre však môžeme hovoriť o premenlivej kapacite, pripojenej paralelne k CV2, ako vysvetľujeme v stati "Podrobnejšie o oscilátore"/.

Obvod dolaďovania kmitočtu dostáva svoju referenčnú informáciu od synchronizačného signálu farty ssf. V demodulátore ssf sa porovnáva menovitá fáza potlačenej nosnej vlny, reprezentovaná burstrom ssf, so skutočnou fázou referenčnej nosnej vlny  $f_{ref}$ . Rozdiel medzi obidvoma vedie k vytvoreniu regulačného napäťia - strednej hodnoty napäťia  $f_H/2$  po integrácii na výstupoch demodulátora ssf. Toto napätie spôsobuje zmenu zosilnenia A. To znamená aj zmenu hodnoty náhradnej indukčnosti a tým ovplyvňovanie kmitočtu oscilátora tým smerom, aby zmizli fázové rozdiely v demodulátore ssf.

Aby sa udržiavalo výstupné napätie oscilátora stabilné a aby sa nemohol uplatňovať vplyv zmien teploty, kmitočtu a spätnej väzby, je obvod oscilátora referenčnej nosnej doplnený obvodom podľa nasledujúceho obrázku:



Z vývodu 4 sa na vstup diferenciálneho zosilňovača, bázu T11, pri-vádzajú oscilačné napätie, zatiaľ čo druhý vstup, "E" - báza T9, má také stabilizované jednosmerné napätie, že táto vetva je stále otvorená. Diferenciálny zosilňovač je tak dimenzovaný, aby mohol meniť zosilňovací činitel tranzistora oscilátora, T10, a to podľa veľkosti ampli-

túdy výstupného napäťia. Pri rozbehu oscilátora, keď na výstupe ešte nie je žiadne výstupné napätie alebo je veľmi malé, má zosilňovačí stupeň oscilátora T10 svoje najväčšie možné zosilnenie, ktoré je dané pomerom odporu R14 k výslednému odporu v emитore T10,  $R_E$ . Vtedy tečie celkový prúd oscilátorového tranzistora 10 cez úplne otvorenú vetvu diferenciálneho zosilňovača, T9, zatiaľ čo druhá vetva, T11, ostáva uzavretá.

Ak prekročí narastajúca amplitúda výstupného napäťia určitú veľkosť, potom doteraz zatvorený tranzistor T11 sa stane vodivým a prúd tranzistora T9 sa zmenší, pretože oba prúdy tečú cez T10. Tým tečie kolektorovým odporom R14 len časť pôvodného prúdu, tzn., že zosilnenie sa patrične zníži až dosiahne stabilného stavu, pri ktorom je na vývode 4 amplitúda výstupného napäťia už ca. 1V.

Synchrónne demodulátory v integrovanom obvode TCA 650 potrebujú pre svoju správnu činnosť dve referenčné nosné vlny, ktorých fázy musia byť v súhlase s fázou odpovedajúcich farbonosných signálov. K tomu, aby sme dostali referenčnú nosnú vlnu  $+R-Y$  nepotrebuje žiadne ďalšie úpravy, lebo synchronizovaný oscilátor vytvára na vývode 4 automaticky referenčný signál, ktorý je vo fáze s chrominančným signálom  $+R-Y$ . To isté, pri zmene fázy o  $180^\circ$ , platí pre  $-R-Y$  na výstupe č. 6. Pre referenčnú nosnú vlnu B-Y je nutný fázový posuv  $90^\circ$  medzi obidvoma referenčnými nosnými vlnami, pre ktorý slúži fázovací článok zapojený medzi oba krajné vývody vf transformátora L 1. Fázovací článok sa skladá z odporu R3 a trimer-kondenzátora CV1, ktorého reaktancia musí byť nastavená na hodnotu odporu R3. Takýto RC člen dáva pri zapojení medzi body 4,6, s fázovým rozdielom  $180^\circ$ , posuv práve  $90^\circ$ . Obidve referenčné vlny sa v integrovanom obvode TCA 650 obmedzujú a to pred synchronnými demodulátormi, takže na tieto privádzame konštantné obdlžníkové priebehy referenčných nosných vln. Na IO TCA 650 sa privádzajú z bodu 6 referenčná nosná vo fáze  $-R-Y$ , pretože kvôli demodulácii u Secam je detektör usporiadany "v protifáze" voči detektoru pre B-Y.

#### Farbové AVC /automatické riadenie zosilnenia farby ACC/

Farbové AVC má za úlohu udržiavať v stanovenom rozsahu úroveň výstupného signálu farbových zosilňovačov pri zmenách úrovne vstupného signálu. Rozličné vstupné napäťia môžu mať pôvod napríklad v chybnom nastavení oscilátora tunera. Po demodulácii synchronizačného signálu farby a nasledujúcej integrácií jednotlivých impulzov,

dostávame - ako už bolo popísané v odstavci "Demodulátor synchronizačného signálu farby" - na vývodoch 13 a 14 IO TBA 540 dve napäcia, ktorých kmitočet je  $f_{H/2}$ . Sú ľahko pozorovateľné osciloskopom, pretože sú veľmi malé. Jedno z týchto napätií sa po predzosilnení v tranzistoroch T 21, T 22, T 20, T 30 privádza cez dva oddielovacie odpory /R 41, R 42/ na vstupy diferenciálneho stupňa T 35, T 36, T 37. \*)

Na jednom z dvoch vstupov /vývod 11/ je zapojený - cez kondenzátor C 10 100n galvaničky oddelený - odporový trimer RV 1, ktorým môžeme nastaviť väčšiu, alebo menšiu nesymetriu vstupných napätií. To znamená, že i výstupné prúdy diferenciálneho zosilňovača budú mať nerovnakú amplitúdu, zosilnenie farbovového AVC môžeme teda meniť pomocou tohto trimra RV 1.

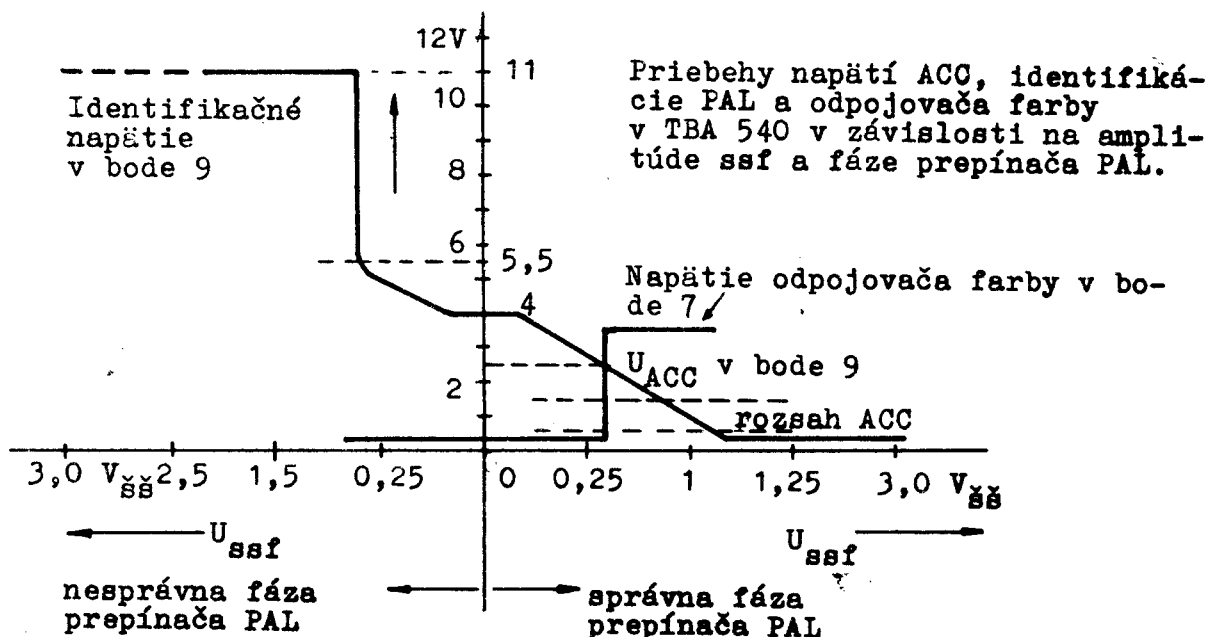
Obidva tranzistory T 35, T 36 predstavujú zdroj prúdu pre ďalšie dva diferenciálne zosilňovače T 31 až T 34, s ktorými tvoria dva koincidenčné demodulátory, pracujúce dvojčinne. Ich pomocou sa uskutočňuje porovnávanie napäcia približne pílovitého priebehu polovičného riadkového kmitočtu  $f_{H/2}$  z demodulátora ssf s napäťom, ktoré sa privádza na vývod 8 z integrovaného klopného obvodu /flip-flop/, ktorý je v integrovanom obvode TCA 640, cez kondenzátor C 1 100n.

Amplitúda napäcia  $f_{H/2}$  odvodená zo synchronizačného signálu farby odpovedá jeho amplitúde, zatiaľ čo napätie obdlžníkového priebehu /meander/ z TCA 640 ostáva konštantné.

Vývody 10 a 12 sú pripojené na vstupy ďalšieho diferenciálneho zosilňovača T 38 - T 44, z ktorého sa konečne odoberá asymetricky napätie ACC. Ďalej sa toto napätie viedie cez emitorový sledovač na výstup ACC, vývod 9. Odtiaľ sa - filtrované RC článkom 4-R 15, 4-C 17 - privádza späť na riadený zosilňovač farbového signálu v TCA 640. Z neho sa odvádzajú chrominančný signál a synchronizačný signál farby na ďalší zosilňovač farbového signálu, resp. zosilňovač synchronizačného signálu farby, v širokom rozsahu už o konštantnej úrovni. Obvod farbového AVC je správne nastavený vtedy, ak na vývode 9 sa potenciometrom RV2 nastaví +4 V, pričom sa neprivádza synchronizačný signál farby. So vzrástajúcou amplitúdou synchronizačného signálu farby klesá napätie ACC na vývode až asi na 0,7V pri napätií synchronizačného signálu farby /burstov/ u  $\dot{S} = 1,5$  V /viď pravú časť obrázku na ďalšej strane/.

---

\*) Viď "Znázornenie napäcia na báze a emitore T 30" na konci popisu TBA 540, strana 108.



### Identifikácia Pal

Už spomenuté porovnávanie obdĺžnikových priebehov vytvára na výstupe farbového AVC regulačné napätie, ktoré okrem toho, že je informáciou o amplitúde synchronizačného signálu farby /burstov/, nesie aj informáciu o fáze prepínača Pal. Ak obidve napäťia kmitočtu  $f_{H/2}$  sú fázovo zhodné, potom aj fáza je správna. Na výstupe farbového AVC potom vzniká správne napätie pre riadenie zosilnenia farbového signálu, 1 - 1,5 V.

Ak sa fáza prepínača zmení, je nesprávna - opačná - vzniká na obvode porovnávania napäťových priebehov  $f_{H/2}$  také napätie, ktoré zosilnené zosilňovačom ACC sa prejaví stúpnutím výstupného napäťia ACC asi na 11 V. To zadrží preklápanie obvodu v TCA 640, čím sa preruší dodávka prepínacieho napäťia  $f_{H/2}$  na TBA 540 a napätie ACC sa nastaví na +4 V.

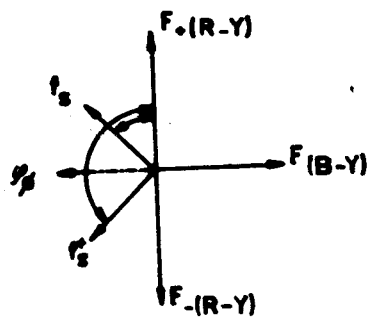
Obvod identifikácie je tak navrhnutý, že pri tomto napäti bistabilný klopný obvod opäť pracuje. Ak by fáza ostala opačná, zopakuje sa pochod až pokial nie sú fázove súhlasné obidve porovnávané napäťia  $f_{H/2}$  v TBA 540. Pre činnosť identifikáčného obvodu je požadovaná najmenšia amplitúda vstupného napäťia cca. 0,5 V<sub>ss</sub> synchronizačného signálu farby /burstov/, viď ľavá strana obr. hore.

### Podrobnejšie o demodulátoru ssf

Signál z oscilátora  $f_{ref}$  prichádzajúci na bázy T 27 a T 28 má amplitúdu cca. 1 V<sub>ss</sub>, preto tieto tranzistory striedavo úplne otvára a zatvára. Tiečť môže prúd cez ne však iba keď je otvorený T 26. Tento tranzistor má v klude prepätie bázy dané tranzistorom T 57, ktorý je mierne v saturácii,  $U_B = 0,4 \div 0,5$  V. To znamená, že bez ssf je T 26 zatvorený. Synchronizačné impulzy farby, burst, však tento tranzistor v ich kladnej polvlnе prenáša. Ich amplitúda je 1 V až 1,5 V<sub>ss</sub>, avšak v kladnej polvlnе, kedy celkové  $U_{B26}$  dosahuje +1,2 V, nedochádza k ich obmedzaniu účinkom zápornej spätej väzby na emitorovom odpore R 33. Výrobca udáva, že ak by amplitúda burstu prekročila 3 V<sub>ss</sub>, by dochádzalo v IO k obmedzovaniu a automatické dolaďovanie kmitočtu by nemohlo pracovať. /Správnu amplitúdu ssf udržiava farbové AVC, a pretože toto sa odvodzuje od amplitúdy ssf na prívode  $\downarrow$ , nesmie byť ssf obmedzovaný./

Na nasledujúcich obrázkoch máme zjednodušene naznačené, ako fázový detektor ssf funguje. Fáza ssf proti chrominančným signálom je naznačená na obr. /1/. Bez synchronizačného signálu, kedy je T 26 uzavretý a teda i prúdy cez T 27 a T 28 nulové, je na ich kolektoroch, tj. vývodoch 13 a 14 napätie z deliča  $2 \times 1$  kohm, tj. +6 V.

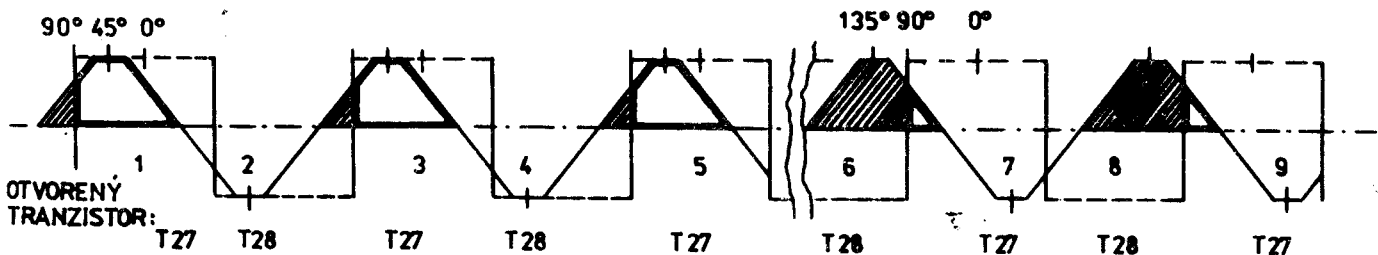
Jednotlivé polperiody oscilátorového napäitia  $f_{ref}$  sme na obr. /2/ označili 1 až 5 pre stav, kedy ssf je posunutý o  $90^\circ - 45^\circ = 45^\circ$  proti signálu na báze T 27 a 6-9 pre posun ssf o  $90^\circ + 45^\circ = 135^\circ$  proti tomuto signálu. SSF predchádza signál  $F_{+/R-Y}$ ; v tejto fáze  $+/R-Y$  je oscilátorové napätie  $f_{ref}$  na vývode 4, tj. na báze T 27. Takéto vzťahy platia, keď kmitočet a fáza  $f_{ref}$  nepotrebuju korekciu.



Obr. /1/

Posun fázy ssf / $f_s$  resp.  $f_s^+$ / voči chrominančnému signálu  $F_{+/R-Y}$ . Burst-ssf prechádza signál  $+/R-Y$  striedavo o  $45^\circ$  a  $125^\circ$ .  $\emptyset$  : stredná fáza ssf.

Zo sinusových priebehov, neznačených zjednodušene na obr. /2/ vidíme, ako koincidenciou s klúčovacím napäťom z oscilátora na bázach T 27, T 28 vznikajú prúdové impulzy v týchto tranzistoroch. Záporné polvlny sú, ako sme už uviedli, potlačené. V skutočnosti tečie cez T 26 prúd až po prekročení asi +0,7 V, teda aj u kladnej polvlny burstu netečie prúd pri okamžitej hodnote napätia pod 0,2 V, čo sme pre jednoduchosť u obr. /2/ a /3/ zanedbali.



Obr. /2/

Správna stredná fáza ssf. Obdlžníky: otváranie a zatváranie T 27 signálom na báze. T 28 je otvorený pri zavretom T 27.

Vidíme, že pri fáze ssf proti  $F_{+}/R-Y/ 45^\circ$  prevažuje prúd T 27 a pri fáze  $135^\circ$  prúd T 28, avšak, že stredné hodnoty prúdov obidvoch tranzistorov sú rovnaké. Zvýšením amplitúdy ssf sa zvýšia prúdové impulzy, ale ich stredné hodnoty budú naďalej rovnaké: priebehy z obr./2/ sa pretiahnu do výšky, obidva tranzistory budú mať navzájom rovnaké stredné hodnoty prúdov.

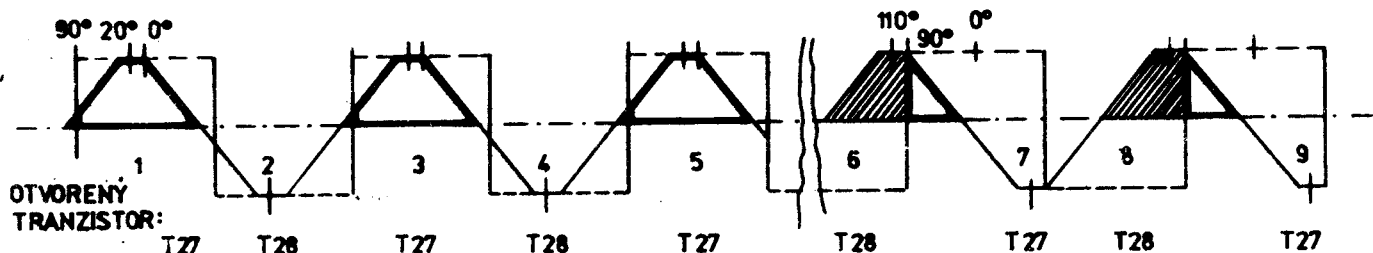
Z uvedeného vyplývajú nasledujúce závery:

- 1/ Bez ssf, tj. počas pozostalej doby riadkov, netečie prúd cez fázový detektor a napätie na obidvoch vývodoch je maximálne, rovné polovici napájacieho napätia, tj. 6 V, ku koncu riadku.
- 2/ Počas vysielania burstu je v závislosti na jeho fáze vždy v jednom riadku napätie, vznikajúce po integrácii vonkajšími RC členmi, nižšie napr. na vývode 14 než na vývode 13 a v druhom riadku opačne.
- 3/ Pri rovnosti porovnávacích kmitočtov a pri strednej fáze burstu  $+90^\circ$  proti fáze signálu v bode 4 je jednosmerňá zložka napätia v bode 13 rovnaká, ako v bode 14. Táto je nižšia než 6 V /tým viac, čím väčšia je amplitúda burstu/. Pokial však nevzniká rozdiel napätia na pripojených bázach riadeného diferenčného zosilňovača T 18 a T 19, je prúd u obidvoch týchto tranzistorov rovna-

ký, tj. polovica prúdu tranzistora T 29. /Tento má pracovný bod nastavený jas napäťom na vývode 4 a napäťom na odpore R 5 IO, pri čom dostáva signál od oscilátora z vývodu 6/.

- 4/ Prúd oscilátorového kmitočtu cez tranzistor T 18 a ďalej cez emitorový sledovač T 12 do vývodu 2 má určitú hodnotu, ktorá sa zmení pri odchýlke kmitočtu oscilátora od farbonosnej Pal a zmene jeho fázy proti strednej fáze ssf, ako uvidíme ďalej.

Ak napr. je volný kmitočet oscilátora vyšší, než nominálny, bude perióda ssf ďlhšia proti perióde kmitočtu oscilátora a sinusovka ssf sa oneskorí proti klúčovaniu tranzistorov T 27, T 28. Vzájomná koincidencia bude napr. vyzerat ako na obr./3/, kde je predstih ssf už len  $20^\circ$  a  $110^\circ$  proti kmitom oscilátora.



Obr./3/

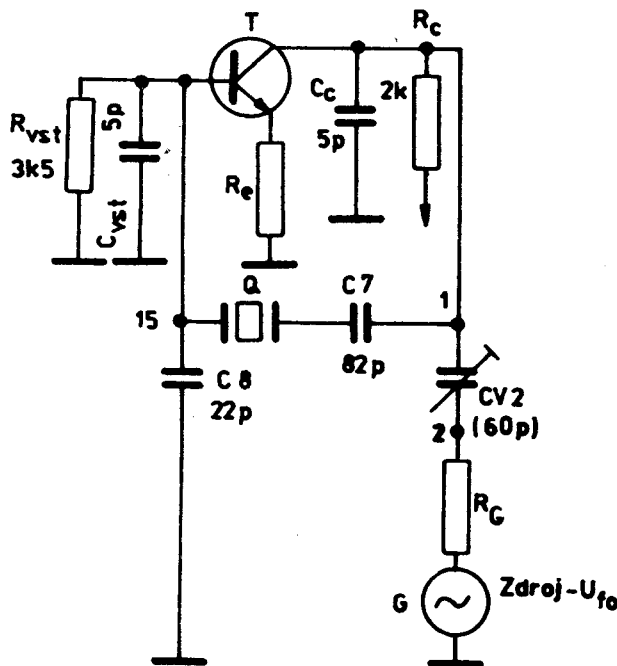
$f_{osc}$  vyššia než  $f_{ssf}$ ; stredný prúd cez T 27 je väčší než stredný prúd cez T 28.

Pre vyšší stredný prúd T 27 proti T 28 bude napätie na vývode 14 nižšie, než na vývode 13. Pri zosilnení na tranzistoroch T 16, T 15, T 17 sa fáza prevracia /v T 15/, preto bude na báze T 18 vyššia jas zložka napäťia než na báze T 19, prúd oscilátorového kmitočtu dodávaný do bodu 2 bude vyšší, než v prípade rovností kmitočtu a fázy, čo odpovedá zvýšeniu ladiacej kapacity obvodu oscilátora, ktorého kmitočet sa tak zníži, čo sme chceli dosiahnuť.

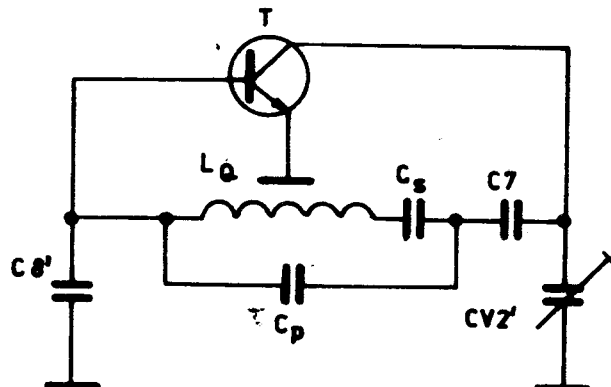
### Oscilátor

Na obr./4/ je zapojenie oscilátora, včítane vnútorných impedancií. Miesto skutočne v zapojení použitých tranzistorov T 7 až T 11 je zakreslený jediný "ideálny" tranzistor T. Vstupná a výstupná impedancia  $R_{vst}$ ,  $C_{vst}$ ,  $R_c$ ,  $C_c$  odpovedá údajom katalógu.

$R_e$  je malý odpor, predstavujúci výstupný odpor emitorového sledovača T 7,  $R_G$  predstavuje veľmi malý výstupný odpor emitorového sledovača T 12. G je zdroj oscilátorového kmitočtu s amplitúdou závislou na rozdieli kmitočtu ssf a voľného vlastného kmitočtu oscilátora resp. fázy oscilátora proti strednej fáze ssf.



Obr. /4/



Obr. /5/

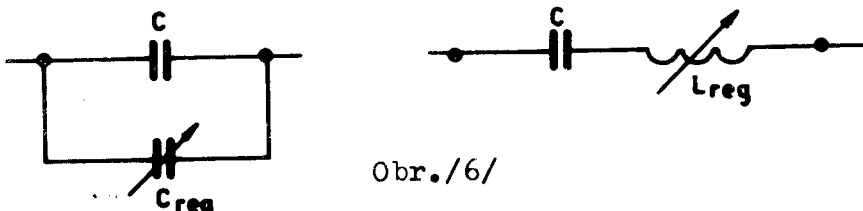
$R_e$  a  $R_G$  sú zanedbateľne malé proti ostatným ohmickým odporom obvodu. Po vypustení ohmických odporov, zdroja G a zjednodušenom zapojení kapacít, ako aj po nahradení kryštálu jeho indukčnosťou  $L_Q$ , kapacitou  $C_s$  a  $C_p$  dostávame náhradnú schému oscilátorového obvodu na obr. /5/. Na tomto obrázku nie je naznačený ani sériový náhradný odpor kryštálu, keďže nám ide o členy, určujúce kmitočet.

Zapojenie - trojbodové - odpovedá Clappovmu oscilátoru. Ako je známe, kryštál má sériovú rezonanciu  $f_{rs}$  danú hodnotami  $L_Q$  a  $C_s$ , a paralelnú rezonanciu na niečo vyššom kmitočte  $f_{rp}$ , danú zostatkovovo-induktívnu reaktanciou  $\omega' L_Q = \frac{1}{\omega C_s} = \omega L_z$  a paralelnou kapacitou  $C_p$  medzi držiakmi kryštálu.

Väčšie  $C_p$  približuje  $f_{rp}$  ku  $f_{rs}$ /protože  $C_p$  znižuje výslednú kapacitu obvodu,  $C_s$  v sérii s  $C_p$ .

Pripojené kapacity C 8 a CV 2 teda tiež znižujú  $f_{rp}$  a do série zapojený C 7 pôsobí opačne. Kmitočet oscilácií je medzi sériovou a paralelnou rezonanciou kryštálu a mení sa v závislosti na efektívnej veľkosti CV 2.

Napätie, dodávané z vnútorných obvodov IO na vývod 2, je v protifáze proti napätiu v bode 1 /vo fáze s napätim v bode 15/. Keďže je na opačnom konci kondenzátora CV 2, pôsobí rovnako, ako keby bol s obrátenou fázou v bode 1, tj. vo fáze s oscilačným napätim v tomto bode. Preto efektívne zvyšuje kapacitu CV 2. Tvrdenie v niektorých iných publikáciách, že zdroj napäťia v bode 2, "G", predstavuje efektívnu indukčnosť, je však tiež správne: reaktancia indukčnosti je v protifáze k reaktancii kondenzátora a preto namiesto zapojenia dvoch kapacít paralelne si môžeme predstaviť i zapojenie kapacity v sérii s indukčnosťou:



Obr./6/

/Doláďovacia reaktancia  $X_{Lreg}$  je nižšia než  $X_C$ , aby výsledná reaktancia mala kapacitný charakter/.

Zvyšovaním vf napäťia z emitora T 12 sa teda zvyšuje celková efektívna kapacita, alebo indukčnosť obvodu, čo v každom prípade znamená znižovanie kmitočtu.

Zo zapojenia riadeného zosilňovača T 18, T 19, T 29 vyplýva, že prúd tranzistora T 18 sa proti prúdu T 19 zmení pri vzájomnom rozdieli napäti na ich bázach. Ten nastáva činnosťou fázového diskriminátora a má jednosmernú zložku, ktorá dolaďuje oscilátor, avšak i striedavú zložku s opakovacím kmitočtom  $f_H/2$ , ktorá vzniká zmenou fázy ssf medzi  $+45^\circ$  a  $-45^\circ$  voči fáze  $-/B-Y/$ , ako sme si už vysvetlili pri preberaní funkcie fázového diskriminátora.

Filtráčné členy na vývodoch 13 a 14 úplne nepotláčajú striedavé napätie, vznikajúce integráciou z prúdových impulzov v T 27 a T 28 - určité zostatkové striedavé napätie je nevyhnutné pre zasynchronizovanie /preto musí byť medzi vývodmi 13 a 14 zapojený odpor R 4 220 ohm a nie len samotný C 11 47  $\mu$ F/. Toto napätie, hoci normálne ľahko pozorovateľné osciloskopom, sa zosilňuje v T 15 spolu s jeho

rozdielom napäťia. V druhej vetve demodulátora ssf sa po zosilnení v T 22 používa pre farbové AVC. Je zrejmé, že amplitúda kmitov v bode 2 IO bude okrem temer jednosmerných zmien pre doladenie vyzkazovať i určité zmeny s kmitočtom 7,5 kHz. Zotrvačnosť obvodu s kryštálom ako u každého obvodu s vysokým Q však zabráni tomu, aby sa kmitočet počas tak krátkych periód menil.

#### Farbové AVC (ACC) - podrobnejší popis

Z emítora T 20 prichádza kmitočet  $f_H/2$  cez ďalší emitorový sledovač T 30 a odpory R 41, R 42 na bázy prvého stupňa dvojitého differenčného zosilňovača, T 35 a T 36. Druhý stupeň je štvoricu tranzistorov T 31 až T 34, spoločným zdrojom stáleho prúdu je "emitorový" tranzistor T 37.

Napätie na bázach T 35, T 36, vznikajúce integráciou prúdových impulzov v bodech 13 a 14 IO má pílovitý priebeh a kladnú jednosmernú zložku. Pílovité napätie je u bázy T 35 znížené potenciometrom RV L, pripojeným cez oddelovací kondenzátor C 10, avšak jeho predpätie báz je rovnaké. Znamená to, že v neprítomnosti bursitu /ssf/, tj. bez striedavej zložky na bázach T 35, T 36 tečú rovnaké prúdové impulzy cez dvojice T 31, T 33 a T 32, T 34. Pomocou vonkajšieho trimer-potenciometra RV 2 sa nastaví taký rozdiel medzi pripojenými zaťažovacími odpormi týchto dvojíc, aby na výstupe farbového AVC, bod 9 IO, bolo +4 V, pri skratovaní prívodu ssf, bod 5 IO kondenzátorom proti zemi, alebo pri skrate medzi bodmi 13 a 14.

V prítomnosti ssf má napätie v bode 9 klesať a byť tým nižšie, čím vyššia bude amplitúda ssf v bode 5.

V prítomnosti ssf, pri kladnej polperiode meandrovitého napäťia  $f_H/2$  na prívode 8, a pri súčasnej kladnej polperiode "pílovitého" napäťia  $f_H/2$  na emitore T 30 potečie cez tranzistor T 32 menší prúd než cez T 33, keďže amplitúda na báze T 35 je zmenšená potenciometrom RV L.  $U_{10}$  bude vyššie než  $U_{12}$ . Tranzistory T 31 a T 34 sú zavreté /meandrovité napätie v bode 8 má amplitúdu asi 3 V<sub>ss</sub>/ . Pri zápornej polperiode v bode 8 bude T 31 a T 34 otvorený. Proti prípadu bez ssf bude prúd cez T 31 menej znížený, teda väčší než prúd cez T 34. Menší prúd T 34 znamená opäť nižší spád napäťia na odpore R 47, ako tomu bolo pri kladnej polperiode pri prúde cez T 32.

Vidíme, že keď sa pílovité napätie od demodulátora ssf zvýši, zvýši sa aj napätie v bode 10. /Kondenzátor  $10\mu F$  medzi výstupmi 12 a 10 neuvažujeme, pretože tu ide o ustálené stavy/.

Ďalší trojity differenčný zosilňovač T 39 až T 44 obracia polaritu zmeny napäťa v bode 10, pretože tranzistory T 40 a T 43 sú PNP a zapojené emitorom na R 58, R 60 /podľa schémy v katalógu Philips 1980 - schéma v knihe "Televizná technika" z r. 1979 uvádza všade NPN/. Cez tento zosilňovač prichádza napätie na bázu tranzistora T 47. Pri vyššej amplitúde ssf klesá preto napätie na báze i na emitore T 47. Bez ssf bolo nastavené na +4 V, pomocou RV 1 sa teraz nastaví tak, aby amplitúda burstu bola  $1,2 V_{SS}$  /u FTVP 4413 A/.

### Prípad nesprávnej fázy fH/2

Pri kladnej polvlne /HI/ na B 32, B 33 je záporná polvlna na B 35, B 36. Menšia záporná polvlna na B 35 zníži  $I_{32}$  proti stavu bez ssf menej, než sa polvlnou na báze T 36 zníži prúd cez T 33. V tejto fáze je teda  $U_{10}$  vyššie než  $U_{12}$ . Pri zápornej polvlne /LO/ na B 32, B 33 tečie prúd cez T 31, T 34.  $I_{35}$  nie je o toľko zvýšený proti stavu bez ssf ako  $I_{36}$ , teda  $I_{31}$  je menší než  $I_{34}$ . Napätie  $U_{10}$  je opäť vyššie než  $U_{12}$ .  $U_{12}$  je nižšie proti stavu bez ssf, tým aj nižší  $I_E$  44, vyšší  $I_B$  43 atď. až bude vyššie  $U_E = U_{ACC}$ . To chceme dosiahnuť: pri nesprávnej fáze potrebujeme čo najvyššie  $U_{ACC}$  v bode 9.

### Účel T 49

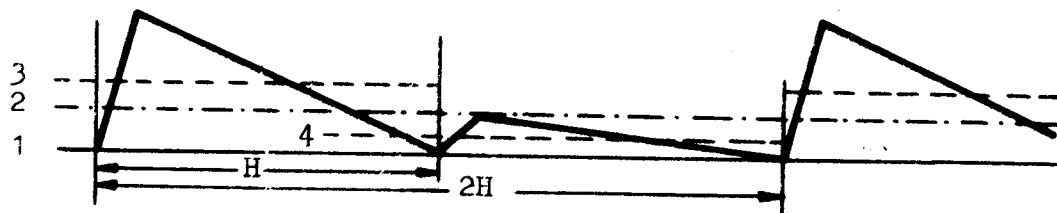
Jeho báza je pripojená na kolektor T 54. Tento tranzistor pri normálne pracujúcim otvode s prepínačom PAL f/2 v správnej fáze je otvorený cez odpor R 73, ktorý privádza stabilizované napätie z emitora T 45. Pri určitom /značnom/ zvýšení napäťa na báze T 47 sa zvýsi aj napätie na báze T 51 natoliko, že väzbou cez emitorový odpor R 61 sa privrie T 50, takže na jeho kolektore bude napätie natoliko vysoké, že cez tranzistor T 52 /funguje ako Zenerova dióda/ - prejde prúd do bázy T 53, ktorý spädom nepäťa na R 73 vo svojom otvorenom stave uzavrie T 54, takže báza T 49 dostane plné napätie a T 49 bude v saturácii. Tým sa spoja nakrátko odpory R 68 a R 70, takže na vývode 9 bude ihneď +11 V.

## Odpojovač farby

Nie je zapojený v TVP 4413 A, ale používa sa v televízore Color 110 pre automatické prepínanie na normu CCIR B/G pri príjme FTV PAL. Má za účel pri príjme normálneho signálu PAL udržiavať na výstupe napätie približne rovné napájaciemu, +12 V, a bez PAL signálu, alebo nesprávnej fáze prepínača PAL má mať na výstupe napätie pod 0,3 V. Vývod 7 je pri aplikácii pripojený cez vonkajší odpor - obyčajne 10k - na zdroj +12 V. Tranzistor T 48 dostáva napätie z deliča, pripojeného na výstup ACC. Pri neprítomnosti ssf, alebo pri nesprávnej fáze prepínača PAL je na b-áze T 48 napätie dostatočné pre saturáciu T 48, čím sa cez vonkajší odpor zníži napätie  $U_7$  na hodnotu pod 0,3 V. Nominálne pre to stačí +2,5 V na vývode 9.

### Priebehy o kmitočte $f_H/2$

z demodulátora ssf pre porovnávanie v obvode ACC



Obr./7/ Znázornenie napäcia na báze a emitore T 30

- 1: js napätie bez ssf
- 2: js úroveň napäcia pri ssf (pre daný prípad)
- 3,4: stredné úrovne napätií pre jednotlivé fázy ssf

Hore znázornená js úroveň napäcia pri ssf /2/ je súčasne nulovou osou striedavej zložky, ktorej amplitúda sa na báze T 35 nastavuje potenciometrom 7-RV 1.

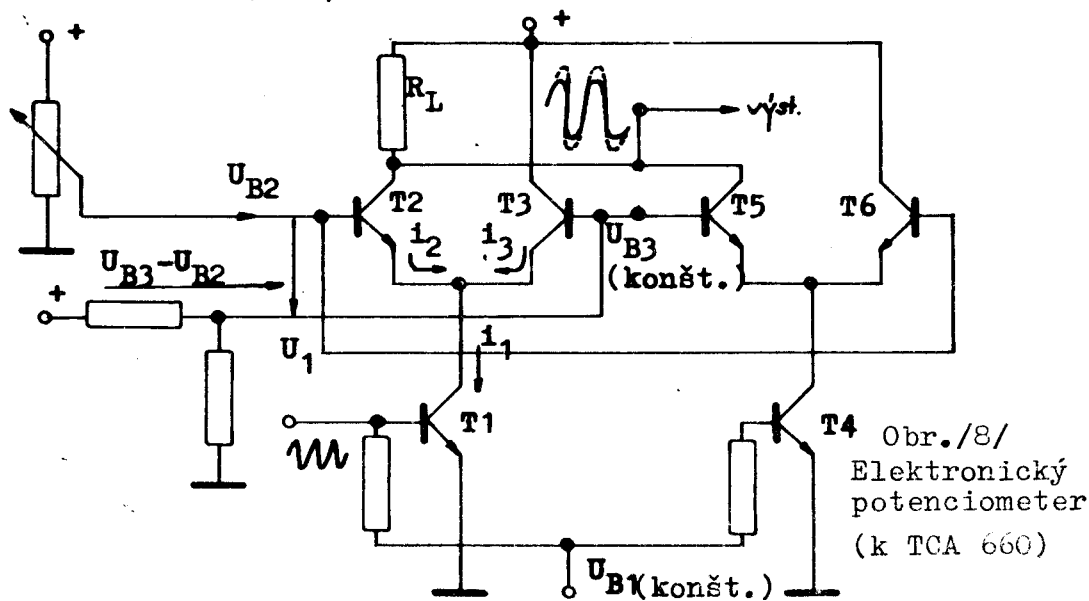
## Integrovaný obvod TCA 660

V IO TCA /MCA/ 660 sa elektronickými potenciometrami riadi ampli-túda signálov B-Y a R-Y i signálu Y, získava sa maticovaním sig-nál G-Y, zatemňuje sa Y signál v dobe spätných behov, reguluje sa jas a pre určité nastavenie jasu sa klúčovaním udržuje stále rov-naká úroveň čiernej bez ohľadu na zmeny tejto úrovne reguláciou kontrastu, sýtosti alebo činnosťou iných obvodov predňou. Klúčova-ním sa "pripína" Y-signál v dobe zatemňovacieho riadkového impulzu, tzv. zadný schôdik bezprostredne po synchronizačnom impulze /česky tiež "zadná prodleva" zatemňovacieho impulzu/ k úrovni - konkrétnie určitému js napätiu - nastavenej potenciometrom jasu.

## Elektronické potenciometre

V ceste signálu B-Y a R-Y je ávojaké riadenie signálového napä-tia: jednak potenciometrom Č/B kontrastu, ktorý preto riadi aj sýtost v závislosti na tomto kontraste /na rozdiel od čistého ria-denia Č/B kontrastu u pôvodného radu FTVP Tesla - Color s elektrón-kami a len s diskrétnymi tranzistormi/, a vlastným potenciometrom sýtosti, ktorým možno sýtost nastaviť od nuly do maximálnej, pri bežnom signále až prehnane vysokej hodnoty.

Pretože v tomto IO je viacero elektronických potenciometrov, vy-svetlíme si najprv ich princíp. Jednoduchý elektronický potencio-meter získame z troch tranzistorov: "vrchný" pár T2, T3, z ktorého je zmenou js napäcia na báze jeden tranzistor /T2/ riadený a má v kolektorovom obvode zaťažovací odpor / $R_L$ / a spoločný "emitorový" tranzistor /T1/, do ktorého bázy je privádzaný signál, viď obr./8/.



Prúd  $T_1$ , obsahujúci signálnu zložku, sa delí medzi  $T_2$  a  $T_3$  v závislosti na tom, aký rozdiel regulačného napäťa je na ich bázach -- pri prakticky rovnakých parametroch obidvoch tranzistorov a rovnakom  $U_{BE}$  poteče každým tranzistorom polovica prúdu  $i_{T_1}$ . Pri zvýšení  $U_{BE}$  pre riadený tranzistor  $T_2$  sa zvýši  $i_{T_2}$  a o rovnakú hodnotu sa zníži  $i_{T_3}$ , pretože ich spoločný emitorový tranzistor  $T_1$  je zdrojom stáleho prúdu a môžeme ho z hľadiska zápornej spätej väzby považovať za veľký spoločný emitorový odpór. Keďže poteče prúd cez  $T_2$ , bude vznikať i väčšie signálne napätie na  $R_L$ . Súčasne však klesne i jis napätie na kolektore  $T_2$ , čo v integrovaných obvodoch, kde sa žiada jis spojenie jednotlivých stupňov a blokov, je nevítané. Preto sa pripája k tejto trojici ešte druhá podobná trojica, u ktorej je však stále bázové predpäťie u tranzistora, pripojeného kolекторom na  $R_L / T_5 /$  a naopak rovnaké zmeny regulačného napäťa prichádzajú na tranzistor, pripojený priamo na +zdroj /T6/. Spoločný emitorový tranzistor /T4/ má nastavený rovnaký pracovný bod ako signálový tranzistor  $T_1$ . Pri rovnosti  $U_{BE}$  na riadených a neriadených tranzistoroch tečie polovica celkového prúdu tohto zapojenia šiestich tranzistorov cez  $R_L$  a vytvára na ňom určitý pokles jis napäťa. Ak sa regulačné napätie zmení, napr. do plusu, zvýši sa  $I_{T_2}$ , ale súčasne sa zníži  $I_{T_5}$ , pretože spolu s  $T_2$  dostal rovnako zvýšené  $U_{BE}$  i  $T_6$ , takže muselo dôjsť k poklesu prúdu  $T_5$  vplyvom spoločného prúdového zdroja v ich emitorovom obvode. Jis prúd cez  $R_L$ , ani prúd, odoberaný z +zdroja priamo, sa nezmenia a teda sa nezmene ani jis pokles napäťa na  $R_L$ .

V IO TCA 660 je napr. takýto potenciometer použitý pre reguláciu signálu B-Y potenciometrom kontrastu: signálový tranzistor TR 6 dostáva B-Y signál do bázy a jeho prúd sa delí medzi tranzistory TR 4 a TR 7. Paralelne k tejto trojici sú tranzistory TR 9, TR 8 a TR 11; TR 4 a TR 8 sú zapojené na zatažovací odpór R 10. Pri zvýšení kladného napäťa na báze TR 2 sa zvýši podiel signálového prúdu, dodávaného tranzistorom TR 6 do TR 4, preto sa zvýši amplitúda signálu B-Y, tj. sýtost, Č/B kontrast, teda amplitúda signálu Y sa zvýší zvýšením prúdu TR 41, ktorý je pripojený na zatažovací odpór pre signál Y, R 55. V tomto prípade vzniká posuv jis úrovne, čo však obvod klúčovania úrovne čiernej vyrovná.

Podobne pracuje potenciometer sýtosti, pripojený cez vstup 6 IO a TR 1 na tranzistory TR 3 a TR 16. Zatažovacím odporom je R9,

z ktorého cez emitorový sledovač TR 10 prichádza /B-Y/ signál na výstup č.7. R 10 s TR 4 a TR 8 je pre tento potenciometer zdrojom emitorového prúdu páru TR 3, TR 5. TR 14 má nastavené také jas napäťia na svojich elektródach, že "kopíruje" činnosť vetvy R 10, avšak bez signálu. /Báza má predpätie ako TR 6 a TR 9, preto prúd  $I_{TR\ 14} = I_{TR\ 4} + I_{TR\ 8}$ . Pri zvýšovaní kontrastu stúpa prúd cez TR 3 a teda i signálové napätie, vytvárané na R 9, ale jas napätie sa nemení, pretože klesá obdobne prúd cez TR 12. Týmto potenciometrom, tj. riadením prúdu TR 3 od nuly do maxima môžeme nastaviť nulový výstupný signál B-Y cez nejakú strednú hodnotu až do presytenia. Súčasne rovnako ovládame R-Y signál, a síce zmenou podielu prúdu so signálnou zložkou z celkového prúdu tečúceho cez R 48. Zdrojom signálového prúdu je tu pre riadenie sýtosti R 47, tranzistorom so signálnym prúdom prechádzajúcim cez zaťažovací odpor je TR 34. Ostatné ľahko vyčítame zo schémy zapojenia. Tranzistoru T 1 na našom obrázku odpovedá TR 33, T 2 = TR 35 atď.

Nebudeme podrobne preberať činnosť tranzistorov, slúžiacich pre zabezpečenie potrebných jas napäť a prúdov pre elektronické potenciometre, ani pre ostatné tranzistory, použité v obvodoch riadenia Č/B kontrastu, jasu, klúčovania úrovne čiernej a zatemňovania Y signálu pri spätných behoch. Počnúc /na schéme hore/ od TR 20 a R 27 môžeme ľahko "vystopovať" prakticky všetky tranzistory, ktoré zrejme nemajú inú úlohu, než zabezpečenie stabilných pracovných režimov pre "signálové a regulačné" tranzistory /včítane potrebných posunov jas. úrovní, aby neboli potrebné žiadne väzbové kondenzátory/.

V-stupné rozdielové signály R-Y a B-Y sú privádzané na body 8 a 9 cez oddelovacie kondenzátory v kladnej polarite, teda cestou k výstupom musia zmeniť polaritu, keďže pre RGB zosilňovač TBA/TDA 2530 potrebujeme signály -/R-Y/ a - /B-Y/.

Preberieme si, ako ku zmene polarity dochádza: kladné okamžité napätie signálu na báze TR 6 vyvolá kladný vzostup prúdu v celej vetve a na R 9 sa polarita napäťia obráti. /Fáza kolektorového napäťia sa obracia pri budení do bázy, a na ostatné tranzistory medzi TR 6 a R 9 je privádzaný signál do emitorov/. Emitorový sledovač TR 10 privádzza tento signál bez zmeny na výstup 7.

N-aopak, signál Y nemá meniť polaritu, vzhľadom k farbovým signálom ho považujeme za kladný, +Y, biela je kladná proti čiernej;

Signál Y prichádza na bázu TR 42 zo vstupu 16 a na R 55 mení polaritu. Obrátená polarita zostáva i na báze TR 48, ale na kolektorovom odpore R 63 sa opäť obracia, a keďže TR 49 i TR 53 sú emitorové sledovače, zostáva až po výstup č.1 bez zmeny, teda máme tam opäť signál +Y. /Z hľadiska Č/B bolo zvykom však taký signál so synchron. impulzami v zápornej polarite označovať ako "-Y", preto je tak uvedený i na schémach FTVP Color Univerzál a Color 110/

### Regulácia jasu

V sérii so signálovým tranzistorom TR 41 pre Č/B kontrast je TR 40. Jego emitorový prúd sa rozdeľuje na kolektorový prúd TR 41 a bázový prúd TR 46. Je napätie pre reguláciu jasu prichádza na prívod 14 IO, odtiaľ cez TR 36 a TR 37 na TR 38, kde zmení polaritu, pretože zvýšenie  $I_{TR\ 38}$  znamená zníženie napäťia na báze TR 40 zvýšením spádu napäťia na R 51. Prúd TR 41 je daný nastavením kontrastu, ako aj prúdom TR 42. Sú teda pre TR 40 zdrojmi prúdu, tj. akoby veľkými odpormi so zdrojom napäťia na spodnom konci. Zato bázový obvod TR 46, včítane sériových diód D 2, D 3 a R 60 s R 61 i bázovým obvodom TR 48 je bežným, nie príliš vysokým odporom a preto sa zníženie prúdu TR 40 prenesie do tejto vetvy, čo znamená nižší prúd TR 48 a zvýšenie napäťia na bázach TR 49 a TR 53. Je napätie na výstupe 1 sa zvýši a pretože ide o signál +Y, /bielej odpovedá max. kladné napätie/znamená to zvýšenie jasu.

### Zatemňovanie počas spätných behov u signálu Y

Na vstup 3 IO prichádzajú v našom prípade zatemňovacie impulzy so zápornou polaritou, pri čom dioda 6-D 4 na impulznej doštičke dekodéra zabezpečuje, že počas činných behov neprekročí kladné napätie v bode 3 TCA 660 hodnotu asi 0,6 V, pri prekročení ktorej by mohla reagovať dióda D 5 paralelne pripojená k úseku báza-emitor tranzistora TR 60, a tak spôsobiť narušovanie signálu Y počas činného behu. Zatemňovanie sa môže prevádzkať aj impulzami s opačnou /kladnou/ polaritou, čo zavádzá "umelú" zatemňovaciú úroveň asi +4,2 V na výstupe 3 počas zatemňovacích impulzov - toto tu nie je použité. Pretože je báza TR 60 pripojená na kostru, záporný spätnobehový impulz, príslušne upravený na impulznej doštičke dekodéra, o amplitúde asi 2 V, priviedie tento tranzistor do silne otvoreného stavu a na R 77, tj. na báze TR 59 klesne napätie blízko k nule. TR 59 sa uzavrie a na emitorovom odpore R 76 vznikne zá-

porný impulz napäťia, ktorý sa cez TR 58 prenesie s rovnakou polaritou na bázu TR 53 a ďalej na výstup.

### Klúčovanie úrovne čiernej

Na prívod 2 IO MCA 660 prichádza kladný impulz H, oneskorený proti zatemňovacím impulzom a zúžený na približne  $3 \mu\text{s}$ , aby jasový signál Y v dobe tohto klúčovacieho impulzu bol práve na zadnej časti riadkového zatemňovacieho impulzu, za synchronizačným impulzom. Klúčovanie úrovne čiernej zabezpečuje, že pre určité nastavenie jasu, bez ohľadu na nastavenie kontrastu a amplitúdu videosignálu zostáva pre čierne časti obrazu rovnaké napätie na výstupe č.1 tohto IO. Pri jeho napätií regulácie jasu nastavenom na +5,7 V na prívode 14 je úroveň čiernej na výstupe 1 pre jasový signál Y nominálne +4,3 V.

Medzi vývody č.15 a 14 je pripojený kondenzátor 4-C 37 / $4,7 \mu\text{F}$  podľa upravenej schémy FTVP 4413 A/. Na bod 14 privádzané regulačné napätie je tiež filtrované kondenzátorom  $10 \mu\text{F}$  proti zemi. Klúčovací impulz z bodu 2 musí mať napätie medzi +1 V až 12 V/ otvorí tranzistor TR 56 a tak uzavrie TR 54, ktorý otvorí TR 52. Na jeho emitorovom odpore R 68 sa objaví kladné napätie, nezávislé na amplitúde klúč. impulzu na vstupe 2. Dióda D 4 chráni proti príliš veľkému zápornému nápnätiu, ktoré s ohľadom na nutnosť fázového posunutia klúčovacieho impulzu proti riadkovým spätnobežovým impulzom pomocou derivačného obvodu obyčajne nasleduje po kladnom klúčovacom impulze /napr. v TVP Univerzál, nie však u FTVP 4413 A/.

Impulzy do bodu 2 sú privádzané z odporu 6-R 9 cez kondenzátor 6-C4 na impulznej doštičke dekodéra. Z emitora TR 52 prichádzajú v kladnej polarite na bázy TR 50 a TR 51. Sú dostatočne veľké, aby vždy otvorili tranzistor TR 51, alebo TR 50. Ktorým tranzistorom skutočne poteče prúd, závisí na rozdieli napätií medzi emitorom TR 49 /R 65/ a vývodom 15. Ak je  $U_{R 65}$  vyššie než  $U_{15}$ , otvorí sa TR 50 a kondenzátor C 37 v bode 15 sa dobíja prúdom TR 49, V opačnom prípade sa prúdom cez TR 51 kondenzátor vybíja. Tieto zmeny prebiehajú v dobe, kedy výstupné napätie jasového signálu dostáva zatemňovaci úroveň cca. +3 V, nemajú teda vplyv na výstupné napätie. /TR 53 je zavretý záporným zatemňovacím impulzom na báze/. Vybíjaním alebo dobíjaním C 37 prúdovými impulzami počas klúčovania sa napokon vyrovnané napätie na R 65 a v bode 15.

Z bodu 15 prichádza napätie na bázu TR 45; zo zapojenia diferenčného zosilňovača TR 37, 38, 39, 43, 45 je zrejmé, že toto napätie určuje prúd tranzistora TR 38, ktorý je pri rovnakom napäti na bázach TR 37 a TR 45 rovný polovici pevne nastaveného prúdu TR 39. Napätie na báze TR 37 záleží na nastavermí jasu. Pri +5,7 V v bode 14 bude na báze TR 37 i TR 45 +5,-V, takisto na báze TR 53, avšak tu iba počas vysielania "čiernej" úrovne, tj. takého okamžitého obrazového signálu, kde má byť prenášaná čierna. /Po dobu spätných behov je TR 53 zavretý, pretože sa otvorí TR 58/. Na výstupe 1 je potom pri "čiernej" +4,3 V a pri spätných behoch asi 3,3 V.

Kedž zvýšime jas, teda i napätie na báze TR 37, potečie cez TR 37 a TR 38 vyšší prúd, čo spôsobí zníženie  $U_B$  TR 40, TR 46 a TR 48, ale zvýšenie  $U_B$  TR 49 i TR 53. Zvýsi sa výstupné js napätie v bode 1, čo odpovedá vyššiemu jasu. Klúčovacími impulzami sa dobije C 37 na vyššie napätie, aby odpovedalo napätiu na R 65. To by opäť spôsobilo zníženie prúdu TR 38 atď., takže by účinnosť riadenia jasu bola príliš malá. Báza TR 36 je však spojená cez R 49 a delič R 58/59 s bázou TR 39, takže je súčasne umožnený vyšší prúd cez obe vetvy diferenčného zosilňovača TR 37, TR 45 atď. Riadenie jasu teda riadi úroveň čiernej.

Kedž sa pri zmene -Y signálu, prenášaného cez kondenzátor na vstup 16, zmení okamžité napätie odpovedajúce riadkovým zátemňovacím impulzom v tomto signále, nepr. zvýsi z pôvodnej absolútnej úrovne, nebola by "čierna" dostatočne tmavá na obrazovke, napätie v bode 1 by pri "čiernych" miestach v obraze bolo napr. 5,-V namiesto 4,3 V, ktoré sme si nastavili riadením jasu. Na R 65 by bolo potom 5,7 V. To sa prenesie klúčovaním na bod 15, zvýsi sa prúd TR 45 a TR 43. Prúd cez TR 39 sa nemení, preto klesne prúd TR 38, zvýsi sa  $U_B$  TR 40, 46, 48, klesne  $U_B$  TR 49 a teda i napätie na R 65 a na výstupе. Toto zostane o niekoľko milivoltov vyššie než pôvodne, čo je nutné pre udržiavanie korekčného rozdielu napäti na bázach TR 37 a TR 45. Pri hraničných zmenách úrovne čiernej v signále na vstupe 16 sú zmeny obnovenej úrovne čiernej menšie než 20 mV.

Riadením kontrastu sa tiež mení úroveň čiernej, pretože meníme zosilnenie striedavého video-signálu. Pri vyššom kontraste sa prúd pri negatívnych vrcholkoch videosignálu, t.j. synchronizačných impulzoch a zátemňovacích impulzoch stáva ešte viac záporným. Vyšším kontrastom zvyšujeme naopak stredný prúd tranzistora TR 41, takže sa aj úroveň okamžitého prúdu pri "čiernej" zvýsi.

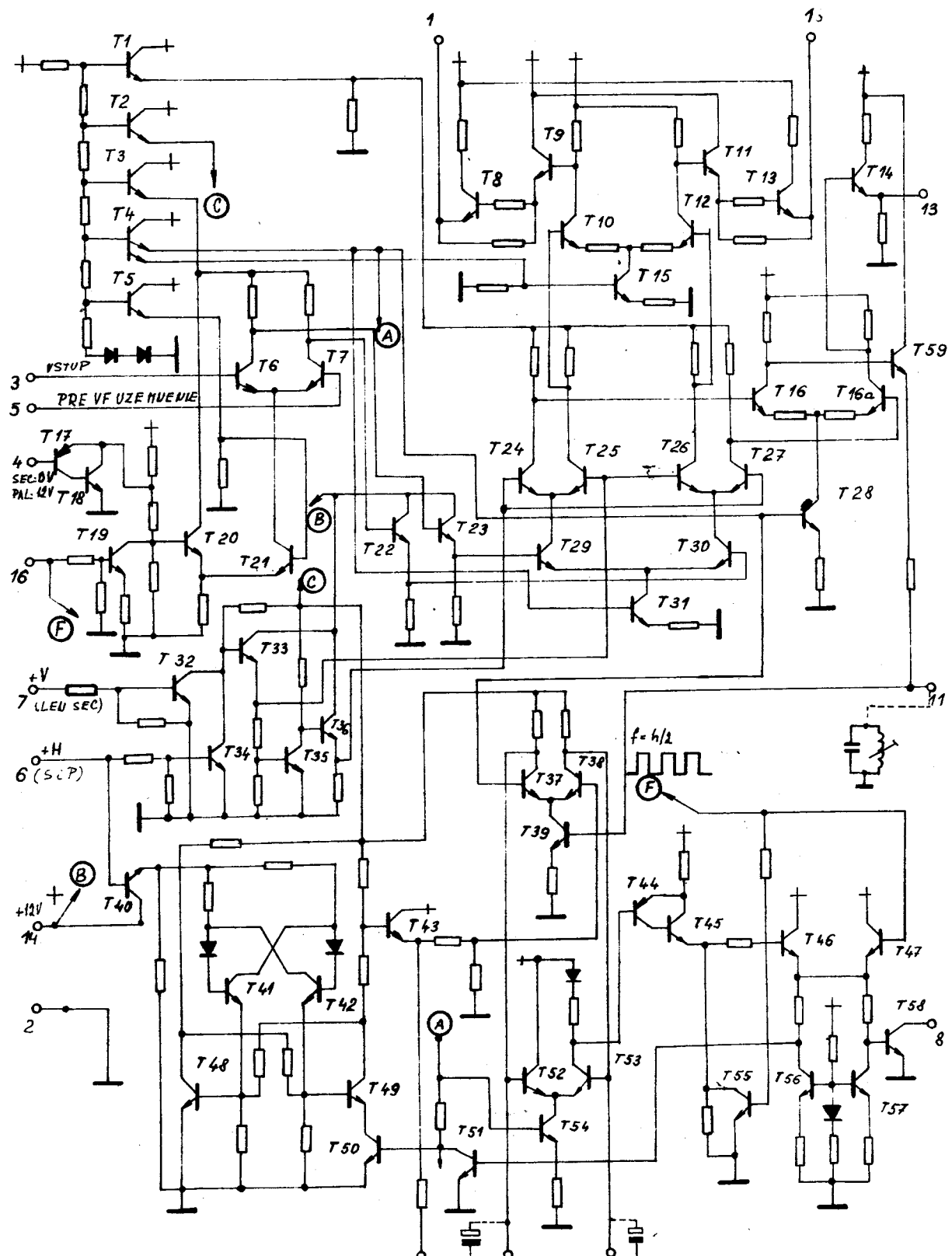
Toto sa čiastočne navzájom vyrovnáva, nie však úplne, takže i s kontrastom dochádza k posuvu úrovne pre čiernu. Tento sa podobne ako pri zmenách spôsobených vstupným Y signálom vyrovnáva už uvedeným mechanizmom. Hoci v našom zapojení nepoužívame kladné zatemňovacie impulzy v bode 3, ktoré podľa katalógu dávajú zatemnenie na uroveň čiernej o nominálnej hodnote 4,3 V, preberieme si i tento mechanizmus:

Kladné impulzy v bode 3 /nad +2 V, do +12 V/ sú diódou D 5 pri emitoru TR 60 zvädzané na zem, takže  $U_{BE}$  tohto tranzistora neprekročí -0,8 V a tranzistor nie je ohrozený vysokým napäťom v závernom smere. U TR 63 vyvolajú vysoký prúd a tým zatvorenie TR 64.

Bez zatemňovacích impulzov sú zavreté TR 58 a TR 57, teda otvorené TR 59 a TR 64. /TR 59 a TR 64 dostávajú  $U_B$  od emitora TR 68, kde je pevné napätie. Ak sú odpory R 77 a R 84 rovnaké ako R 89, cez ktorý sa napájajú 3 bázy, je zrejmé, že sú TR 58 a TR 67 skutočne zavreté/. Otvorený TR 64 znižuje napätie od emitora TR 65 cez R 86 tak, že TR 57 je zavretý. Otvorený TR 59 zatvára TR 58. Činnosť TR 53 bez zatemňovacích impulzov na prívode 3 nie je tranzistorom TR 57 ani TR 58 ovplyvňovaná.

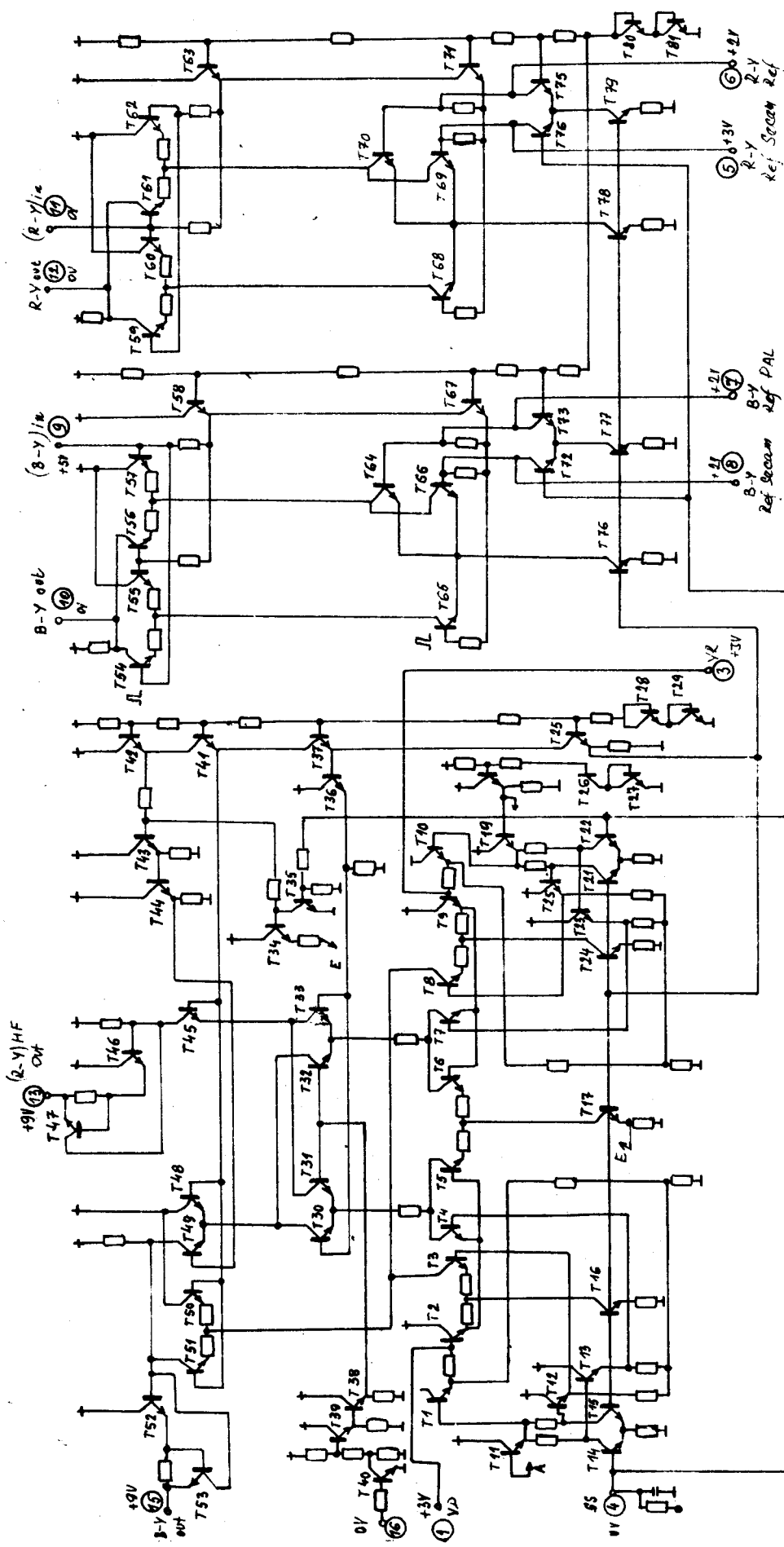
Pri kladných impulzoch v bode 3 sa cez TR 63 zavrie TR 64 - na bázu TR 57 príde napätie  $U_{14}$  minus  $U_{BE}$ , napr. pri "nominálnom"  $U_{14}=5,7$  V tam bude 5 V, čo odpovedá nastavenej úrovni čiernej. Cez diódy D 6, D 7 príde záporný impulz i na TR 59 /TR 63 stiahne svojím prúdom napätie aj za R 77/, TR 58 sa otvorí a stiahne  $U_B$  TR 53 tak, že sa tento zavrie. TR 53 prestane dodávať prúd do bodu 1 a napätie tam bude nastavené jedine tranzistorom TR 57, pri čom bude rovné nastavenej zatemňovacej úrovni 4,3 V, ako sme hore povedali.

Pri záporných impulzoch je otvorený TR 60, TR 59 sa zavrie, TR 58 otvorí a stiahne  $U_B$  TR 53 tak, že tento prestane úplne viest. Preto sa umožní, aby viedol TR 57, napriek nižšiemu  $U_B$  než v bode 15 a na R 65. Prúd TR 57, nižší než v prípade kladných zatemňovacích impulzov, pretože nie je zavretý T 64, dá na výstupe napätie nižšie než úroveň čiernej /asi o 1 V, ako vpredu uvedené/.

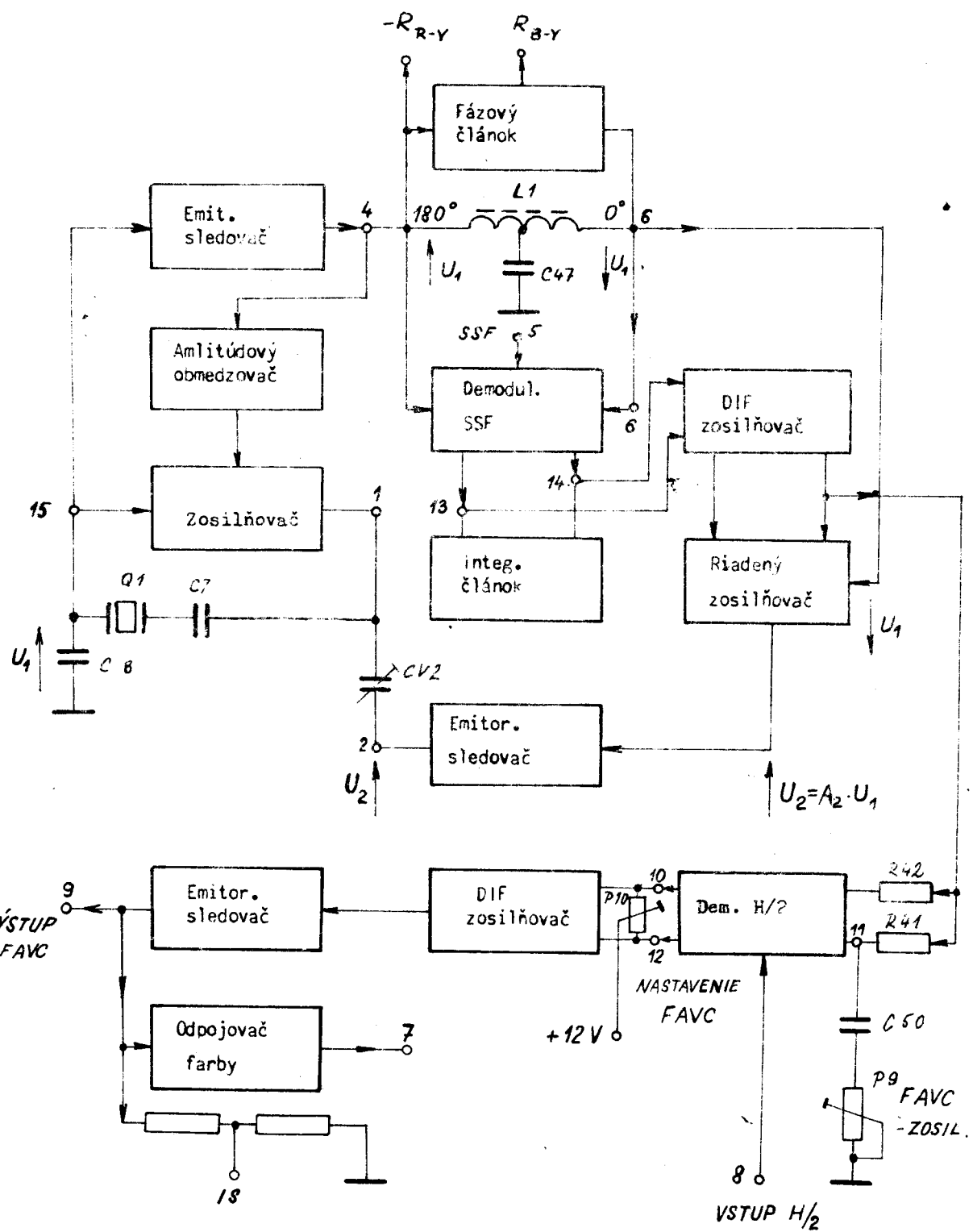


Výstup prepnacích  
impulzov  $f = h/2$

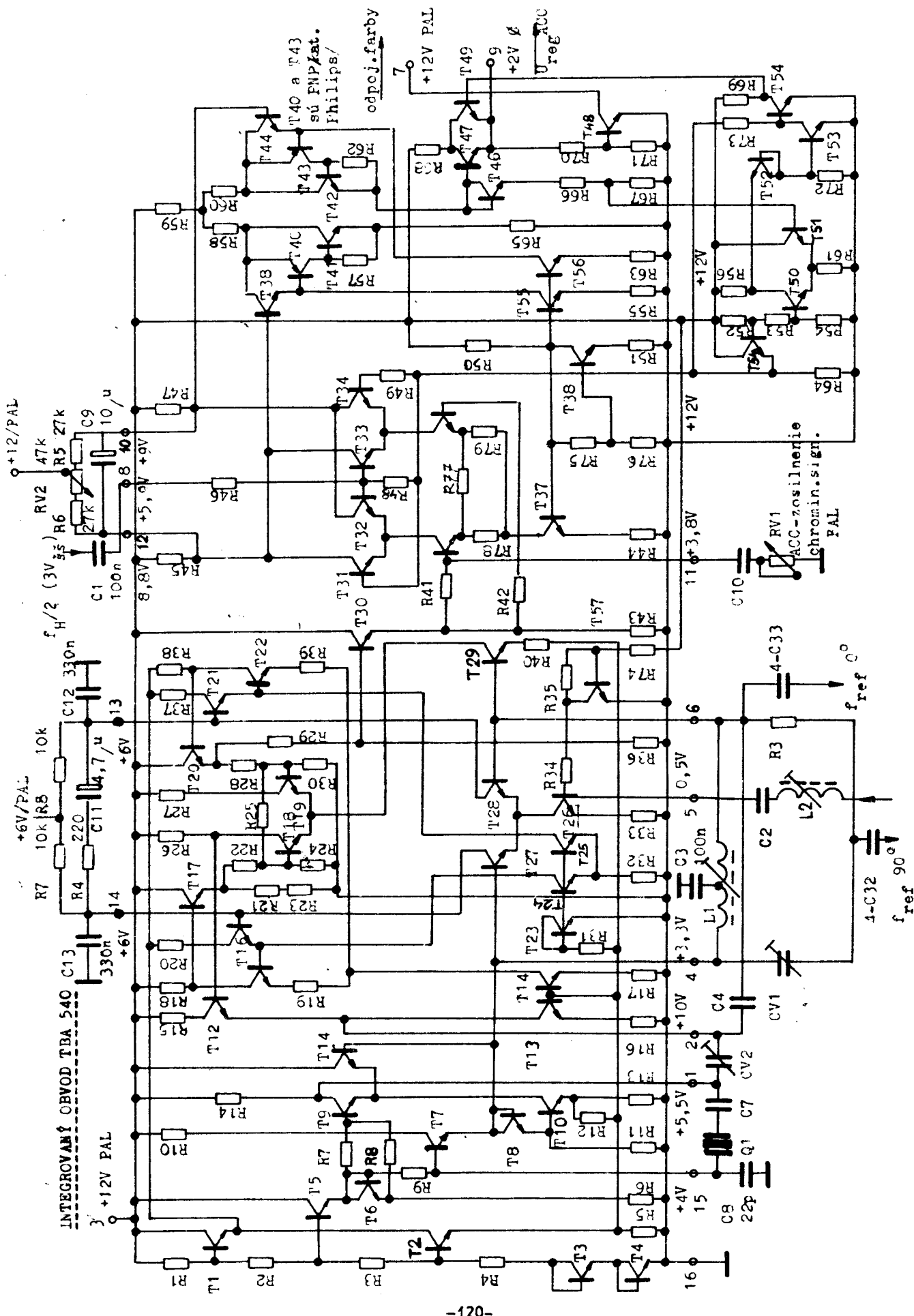
Vnútorné zapojenie 10 TCA 640



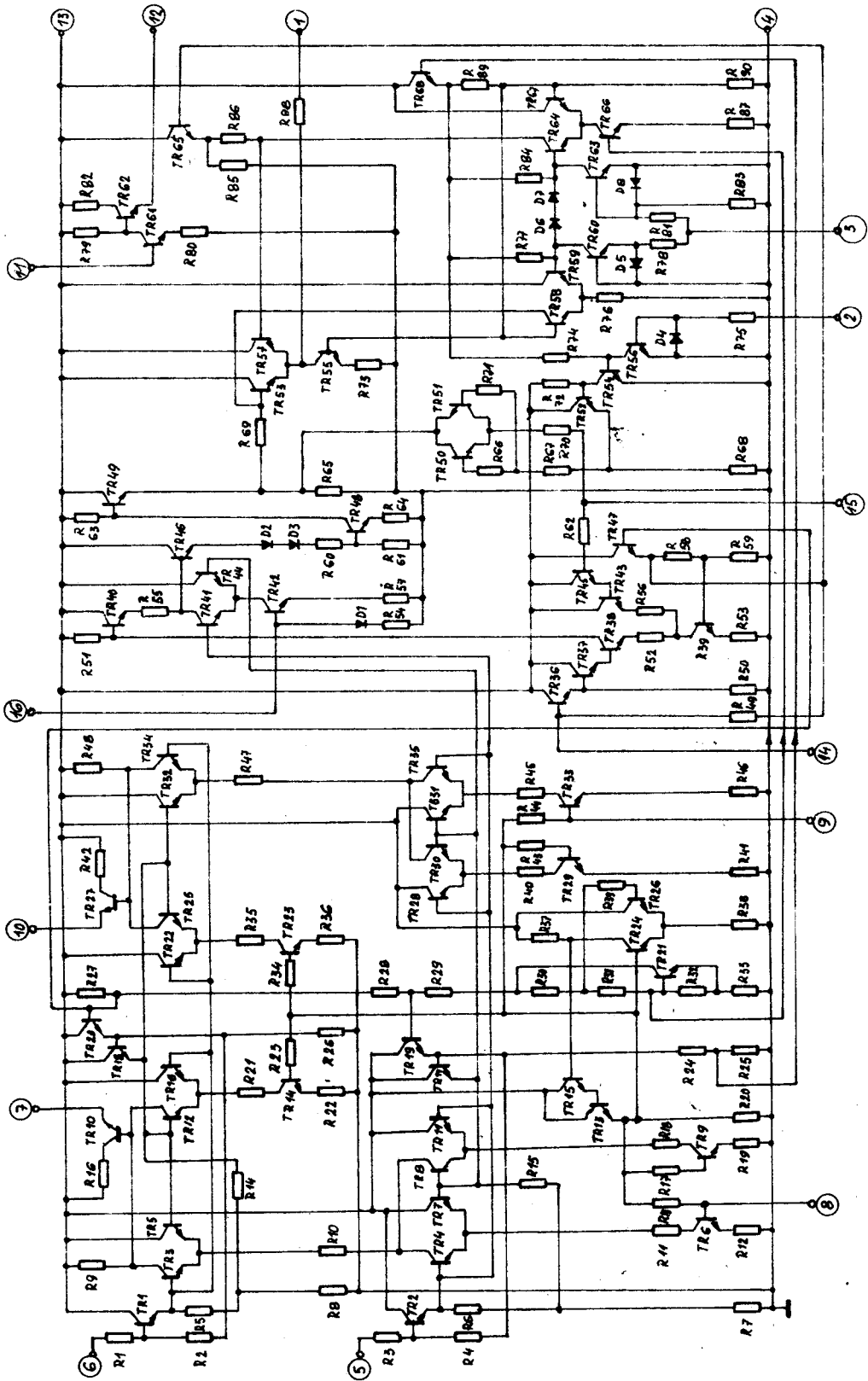
Vnútorné zapojenie integrovaného vývodu TCA 65C



BLOKOVÁ SCHÉMA 10 TCA 540.



Vnútorné zapojenie IO TCA 660

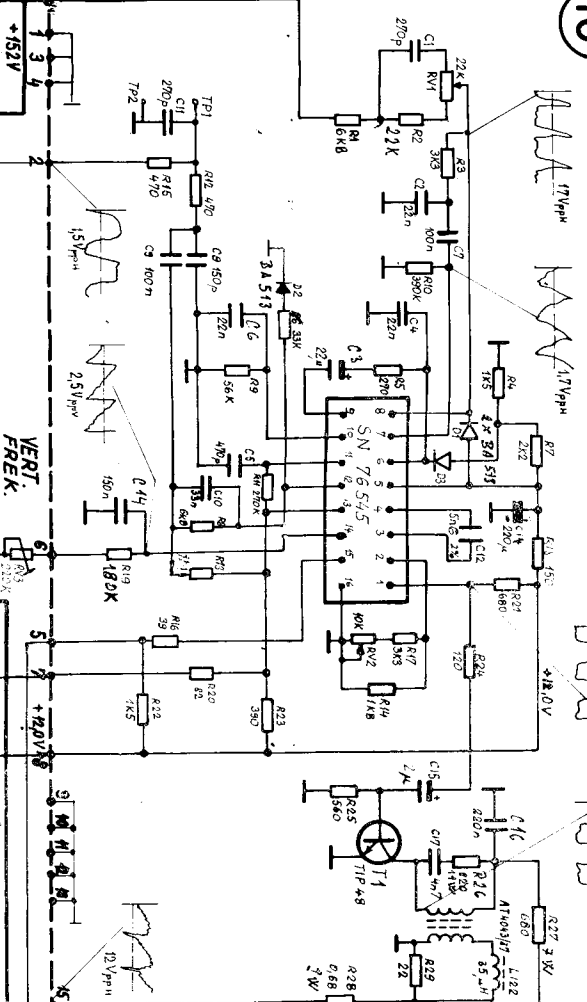


Na poznámky:



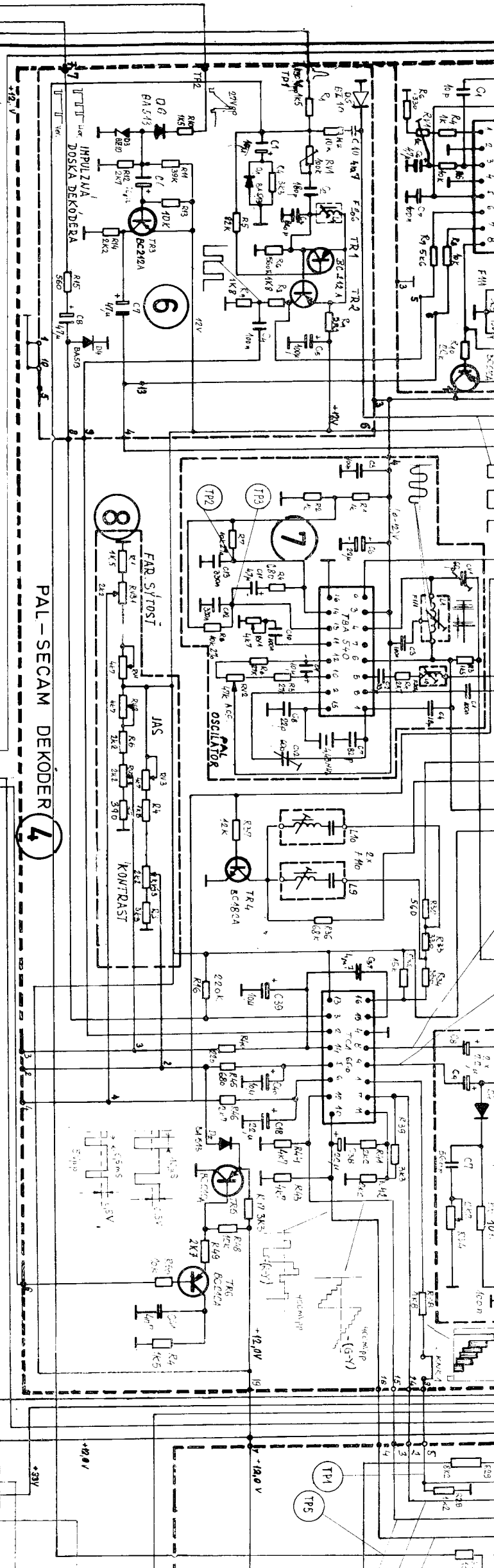
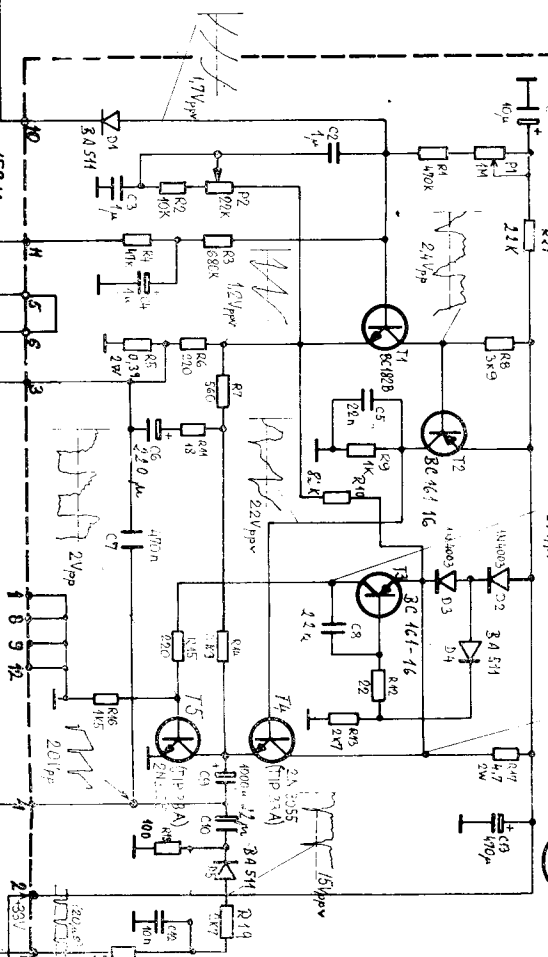
Vydal : OTS **TESLA ORAVA**

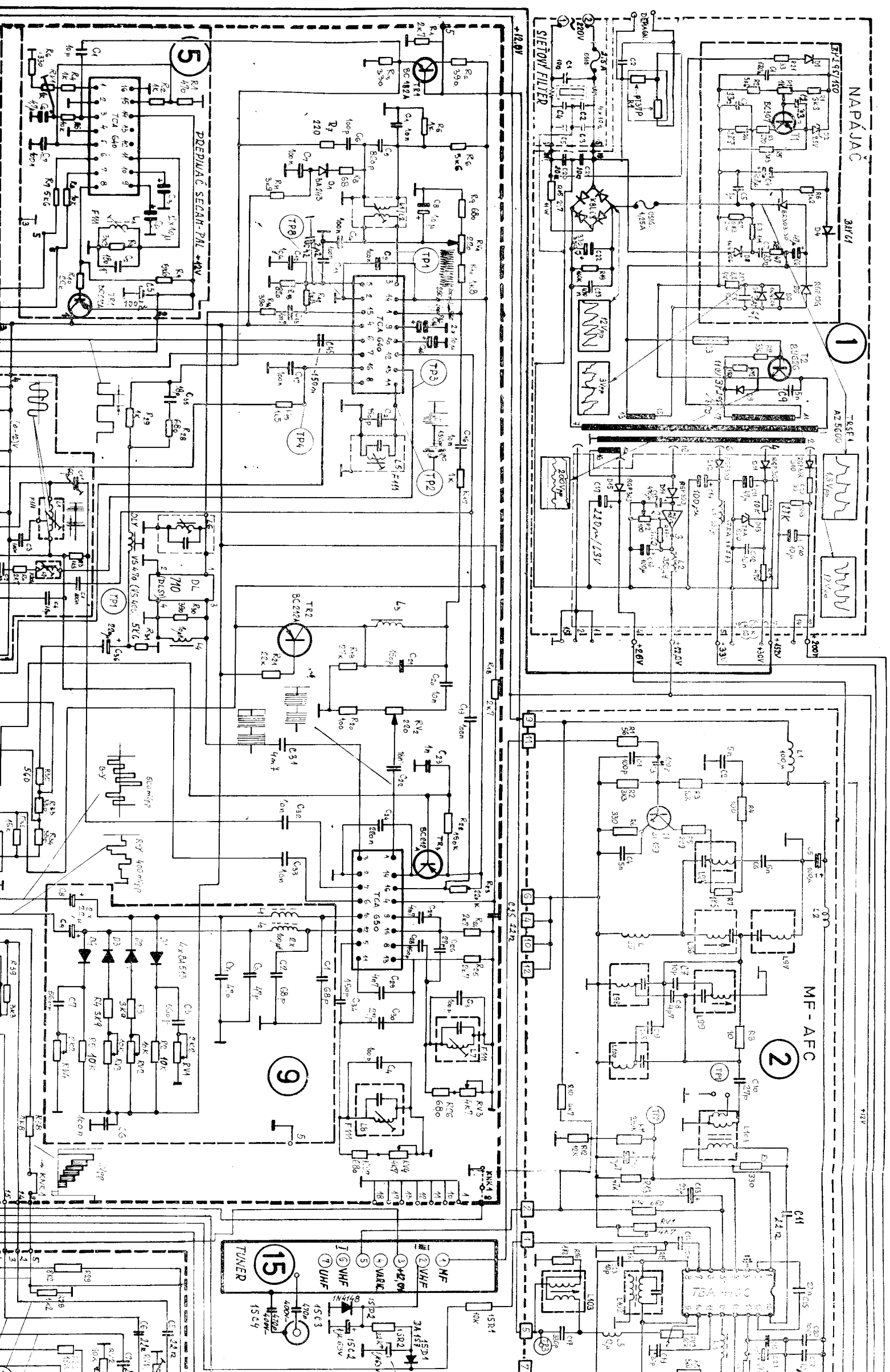
**28912**

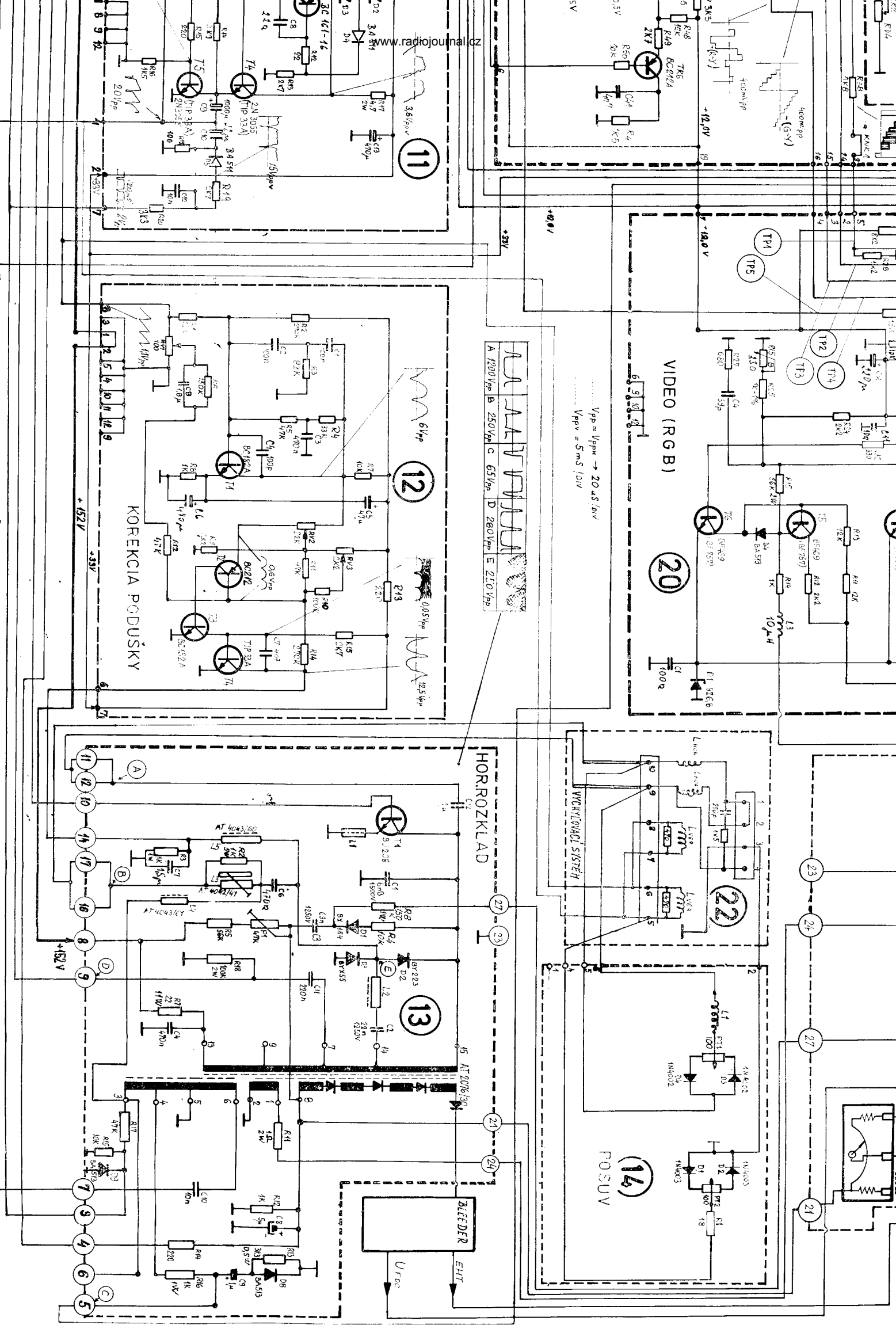


**VERTIKÁLNÝ MODUL (11)**

(11)



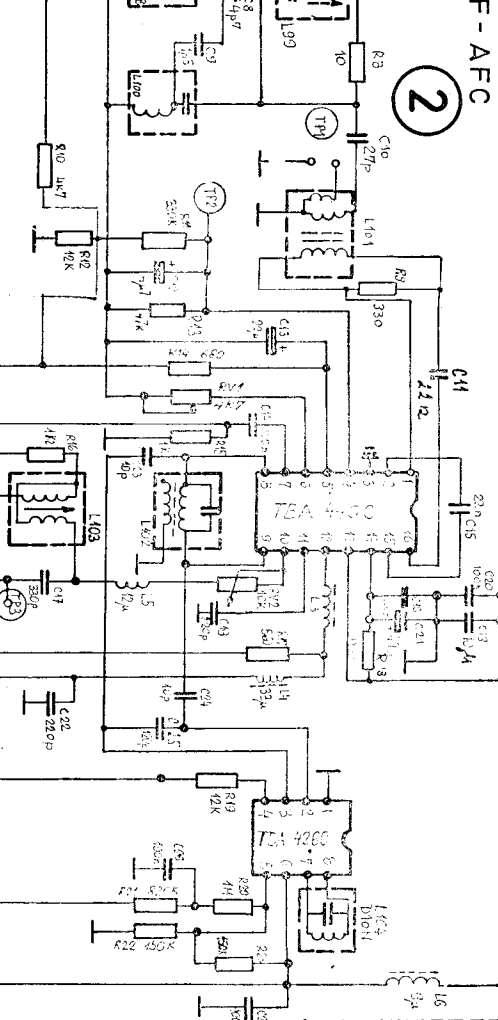




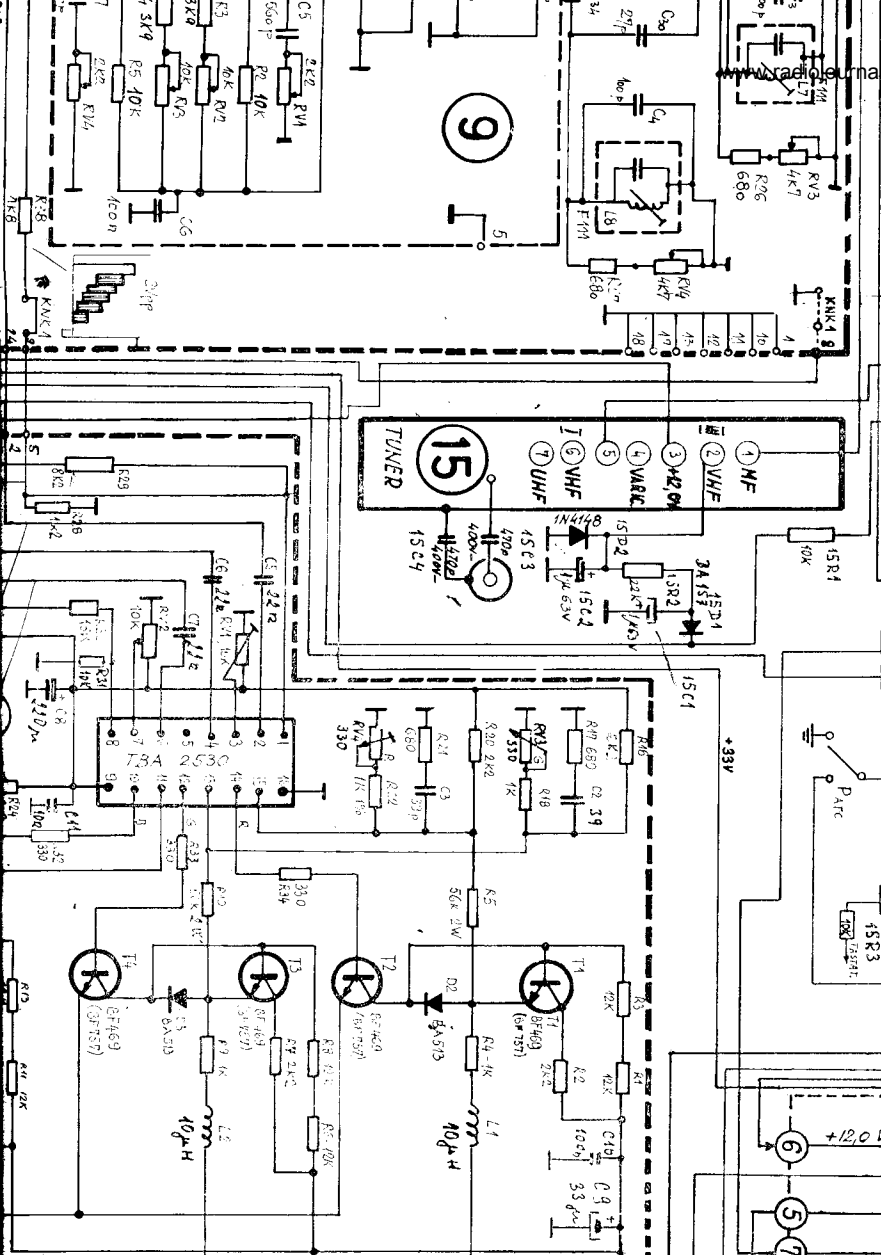
+12V

F - AFC

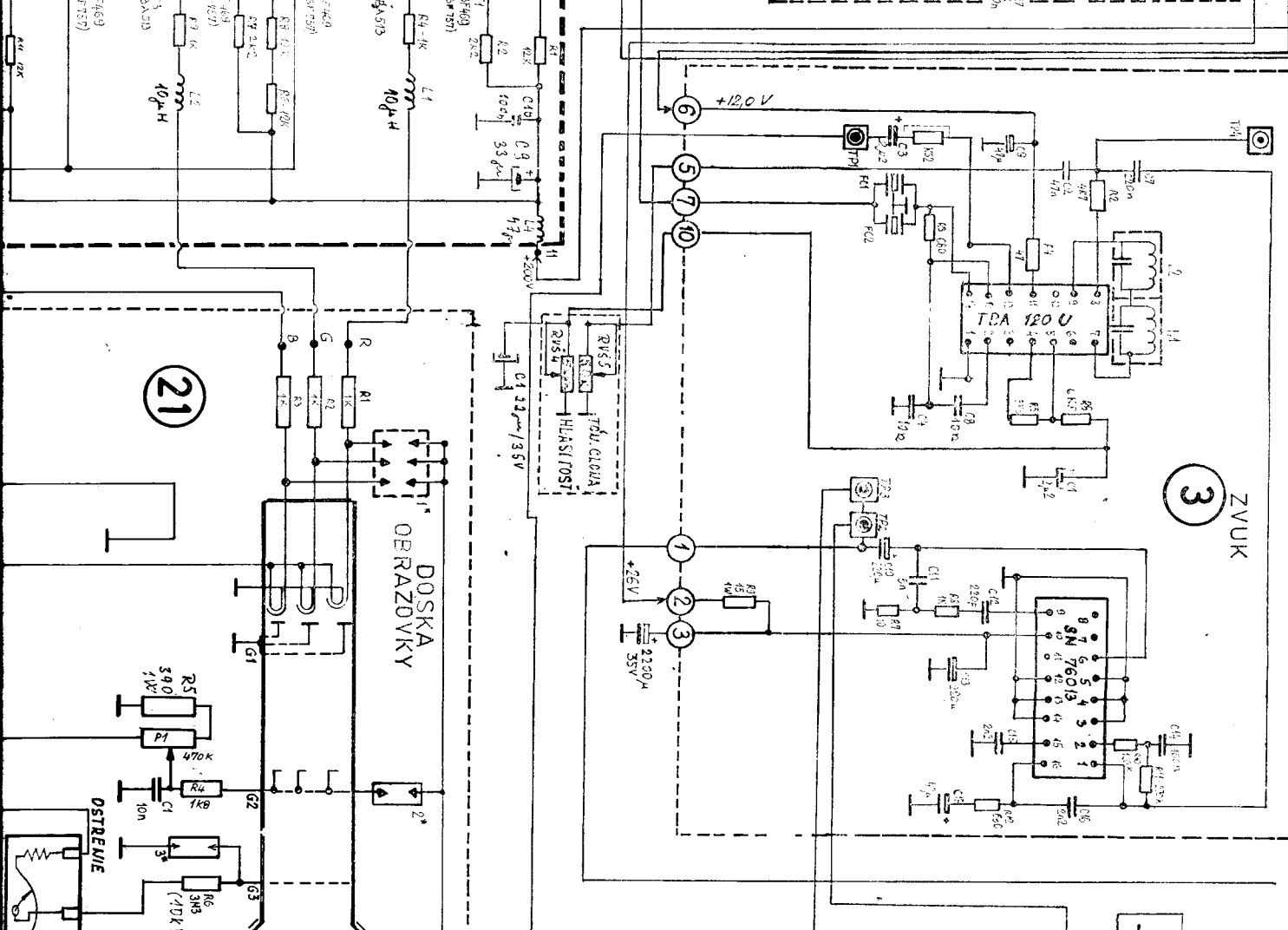
2



9

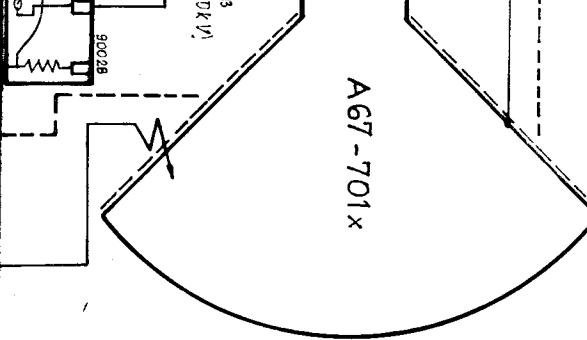


15



ZVUK

3



A 67 - 701x

